



VODOHOSPODÁRSKA BILANCIA KVALITY PODZEMNEJ VODY SR V ROKU 2022

SLOVENSKÝ HYDROMETEOROLOGICKÝ ÚSTAV
BRATISLAVA 2023



**VODOHOSPODÁRSKA BILANCIA
KVALITY PODZEMNEJ VODY SR V ROKU 2022**

**SLOVENSKÝ HYDROMETEOROLOGICKÝ ÚSTAV
BRATISLAVA 2023**

OBSAH

1. ÚVOD	5
2. SPÔSOB BILANČNÉHO HODNOTENIA KVALITY PODZEMNÝCH VÔD	6
3. HODNOTENIE BILANČNÉHO STAVU KVALITY PODZEMNÝCH VÔD V JEDNOTLIVÝCH HYDROGEOLOGICKÝCH RAJÓNOCH	8
4. CELKOVÉ HODNOTENIE BILANČNÉHO STAVU KVALITY PODZEMNÝCH VÔD	9
4.1 HODNOTENIE BILANČNÉHO STAVU KVALITY PODZEMNÝCH VÔD V POROVNANÍ S ROKOM 2021	9
4.2 HODNOTENIE KVALITY PODZEMNÝCH VÔD V ROKU 2022	13
4.3 VYPÚŠŤANIE ODPADOVEJ VODY DO PODZEMNEJ VODY	22
5. ZÁVER	25
6. TABUĽKOVÁ PRÍLOHA	26
7. MAPOVÁ PRÍLOHA	61
8. AKTUALIZÁCIA HODNOTENIA VHB KVALITY PODZEMNEJ VODY	65
8.1 NÁVRH AKTUALIZÁCIE HODNOTENIA VHB KVALITY PZV	66

ZOZNAM OBRÁZKOV

OBR. 1	POROVNANIE BILANČNÝCH STAVOV V ROKU 2021 A 2022 PRE NH_4^+	9
OBR. 2	POROVNANIE BILANČNÝCH STAVOV V ROKU 2021 A 2022 PRE NO_3^-	9
OBR. 3	POROVNANIE BILANČNÝCH STAVOV V ROKU 2021 A 2022 PRE CHSK_{Mn}	9
OBR. 4	POROVNANIE BILANČNÝCH STAVOV V ROKU 2021 A 2022 PRE VODIVOSŤ	10
OBR. 5	POROVNANIE BILANČNÝCH STAVOV V ROKU 2021 A 2022 PRE Cl^-	10
OBR. 6	POROVNANIE BILANČNÝCH STAVOV V ROKU 2021 A 2022 PRE SO_4^{2-}	10
OBR. 7	POROVNANIE BILANČNÝCH STAVOV V ROKU 2021 A 2022 PRE TOC	10
OBR. 8	POROVNANIE BILANČNÝCH STAVOV V ROKU 2021 A 2022 PRE AS	11
OBR. 9	PASÍVNY A NAPÄTÝ BILANČNÝ STAV PRE VODIVOSŤ	14
OBR. 10	PASÍVNY A NAPÄTÝ BILANČNÝ STAV PRE NH_4^+	15
OBR. 11	PASÍVNY A NAPÄTÝ BILANČNÝ STAV PRE Cl^-	16
OBR. 12	PASÍVNY A NAPÄTÝ BILANČNÝ STAV PRE NO_3^-	17
OBR. 13	PASÍVNY A NAPÄTÝ BILANČNÝ STAV PRE CHSK_{Mn}	18
OBR. 14	PASÍVNY A NAPÄTÝ BILANČNÝ STAV PRE SO_4^{2-}	19
OBR. 15	PASÍVNY A NAPÄTÝ BILANČNÝ STAV PRE TOC	20
OBR. 16	PASÍVNY A NAPÄTÝ BILANČNÝ STAV PRE AS	21

ZOZNAM MÁP

BILANČNÝ STAV KVALITY PODZEMNÝCH VÔD NA SLOVENSKU V ROKU 2020	65
BILANČNÝ STAV KVALITY PODZEMNÝCH VÔD NA SLOVENSKU V ROKU 2021	66
ZMENA BILANČNÉHO STAVU KVALITY PODZEMNÝCH VÔD NA SLOVENSKU V ROKU 2021 V POROVNANÍ S ROKOM 2020	67
POZOROVACIE OBJEKTY KVALITY PODZEMNÝCH VÔD V HYDROGEOLOGICKÝCH RAJÓNOCH A KVARTÉRNÝCH ÚTVAROK NA SLOVENSKU V ROKU 2021	91
POZOROVACIE OBJEKTY KVALITY PODZEMNÝCH VÔD V HYDROGEOLOGICKÝCH RAJÓNOCH A PREDKVARTÉRNÝCH ÚTVAROK NA SLOVENSKU V ROKU 2021	92

1. ÚVOD

Potreba spracovania vodohospodárskej bilancie kvality pre podzemné vody vyplýva zo súčasne platnej legislatívy Slovenskej republiky a Európskej únie:

- Zákon č. 364/2004 Z.z. v znení neskorších predpisov o vodách a o zmene zákona Národnej rady SR č. 372/1990 Zb. o priestupkoch v znení neskorších predpisov („vodný zákon“),
- Vyhláška Ministerstva pôdohospodárstva, životného prostredia a regionálneho rozvoja SR č 418/2010 Z. z. o vykonaní niektorých ustanovení vodného zákona
- Smernica 2000/60/ES Európskeho parlamentu a rady.

Na základe uvedenej legislatívy sa rozhodlo, že od roku 2005 SHMÚ bude každoročne publikovať bilančné spracovanie údajov kvality podzemných vôd v správe: „Kvalitatívna vodohospodárska bilancia podzemných vôd SR“.

V roku 2004 bol pripravený „Metodický návrh spracovania Kvalitatívnej vodohospodárskej bilancie kvality podzemnej vody za uplynulý rok“, vychádzajúci z požiadaviek VHB. Návrh vychádzal z dovtedajších skúseností z bilančného hodnotenia kvality povrchových vôd a bol spracovaný v súlade s kvantitatívnym hodnotením podzemných vôd v hydrogeologických rajónoch. Do roku 2003 boli v správe VHB, v časti Hodnotenie kvality podzemných vôd SR, použité výsledky zo správy Kvalita podzemných vôd na Slovensku.

Vodohospodárska bilancia kvality podzemnej vody (ďalej „VHB kvality PzV“) za rok 2021 bola spracovaná v zmysle Vyhlášky MPŽPaRR SR č. 418/2010 Z.z. o vykonaní niektorých ustanovení vodného zákona. V zmysle tejto vyhlášky § 19 odseku 6 d) obsahuje VHB kvality PzV za uplynulý rok kvalitatívne hodnotenie podzemnej vody za uplynulý rok a zmeny v porovnaní s predchádzajúcim hodnotením.

Cieľom spracovania VHB kvality PzV je:

- zabezpečiť požiadavky zákona a s ním súvisiacich predpisov, týkajúcich sa vodohospodárskej bilancie,
- zabezpečiť spracovanie informácií, ktoré budú potrebné pre podávanie správ Európskej komisii ohľadne plnenia smerníc Európskej Únie,
- zabezpečiť spracovanie údajov vo forme, v ktorej ich bude možné efektívne využívať orgánmi štátnej vodnej správy pri ich rozhodovacej činnosti.

VHB kvality PzV v roku 2022 obsahuje zhodnotenie stavu kvality podzemných vôd SR v rámci 141 hydrogeologických rajónov a porovnanie s hodnotením za rok 2021. Bilančné hodnotenie bolo spracované pre 756 pozorovacích objektov na Slovensku v 8 ukazovateľoch kvality podzemnej vody. Od roku 2021 bol výber ukazovateľov, v ktorých sa hodnotí bilančný stav, zmenený a rozšírený. Rozšíril sa o ukazovatele, ktoré spôsobujú zlý chemický stav alebo predstavujú riziko pre útvary podzemných vôd.

Pri spracovaní vodohospodárskej bilancie kvality podzemnej vody za rok 2022 sa vychádzalo z hodnotenia kvality podzemných vôd formou porovnania s medznými, resp. najvyššími medznými hodnotami definovanými Vyhláškou Ministerstva zdravotníctva SR č. 91/2023 Z.z., ktorou sa ustanovujú ukazovatele a limitné hodnoty kvality pitnej vody a kvality teplej vody, postup pri monitorovaní pitnej vody, manažment rizík systému zásobovania pitnou vodou a manažment rizík domových rozvodných systémov (tab. 2.1).

2. SPÔSOB BILANČNÉHO HODNOTENIA KVALITY PODZEMNÝCH VÔD

Pri kvalitatívnom bilancovaní sa vychádza z hodnotenia kvality podzemných vôd podľa Vyhlášky MZ SR č. 91/2023 Z.z., ktorou sa ustanovujú ukazovatele a limitné hodnoty kvality pitnej vody a kvality teplej vody, postup pri monitorovaní pitnej vody, manažment rizík systému zásobovania pitnou vodou a manažment rizík domových rozvodných systémov

Výber ukazovateľov, v ktorých sa vykonáva bilančné hodnotenie, bol od roku 2021 zmenený a rozšírený o ukazovatele, ktoré spôsobujú zlý chemický stav alebo predstavujú riziko pre útvary podzemných vôd. Bilančné hodnotenie sa vykonáva v 8 ukazovateľoch kvality vody:

NH_4^+ , NO_3^- , CHSK_{Mn} , vodivosť, Cl^- , SO_4^{2-} , TOC, As

Bilančný stav (BS) je vyjadrený ako pomer hodnoty prípustného znečistenia ($C_{\text{príp.}}$ – limitná hodnota, tab. 1) k hodnote skutočného znečistenia ($C_{\text{skut.}}$ – nameraná hodnota) vyjadreného ako charakteristická hodnota ukazovateľa kvality vody.

$$\text{BS} = C_{\text{príp.}} / C_{\text{skut.}}$$

Bilančný stav je hodnotený 3 stupňami: A – priaznivý $\text{BS} \geq 1.1$
B – napätý $0.9 < \text{BS} < 1.1$
C – pasívny $0.9 \geq \text{BS}$

Výsledný bilančný stav v rajóne je daný objektom s ukazovateľom s najnepriaznivejším vypočítaným pomerom (najnižším pomerom).

Tab. 2.1: Limitné hodnoty pre pozorované ukazovatele uvádzané vo Vyhláške MZ SR č. 91/2023 Z.z.

Ukazovateľ	Jednotka	Limit uvádzaný vo Vyhláške MZ SR č. 247/2017 Z.z.	Druh limitu
Amónne ióny	NH_4^+	mg.l ⁻¹	MH
Dusičnany	NO_3^-	mg.l ⁻¹	NMH
Chemická spotreba O ₂ manganistanom	CHSK_{Mn}	mg.l ⁻¹	MH
Vodivosť	EK	mS/m	MH
Chloridy	Cl^-	mg.l ⁻¹	MH
Sírany	SO_4^{2-}	mg.l ⁻¹	MH
Celkový organický uhlík	TOC	mg.l ⁻¹	MH
Arzén	As	µg.l ⁻¹	NMH

Vysvetlivky k tabuľke 1:

- **medzná hodnota (MH):** limit ukazovateľa kvality pitnej vody, ktorého prekročením stráca pitná voda vyhovujúcu kvalitu v ukazovateli s prekročeným limitom.
- **najvyššia medzná hodnota (NMH):** limit zdravotne významného ukazovateľa kvality pitnej vody, ktorého prekročenie vylučuje použitie vody ako pitnej vody.

Podkladom na hodnotenie roku 2022 bolo 756 bilančne hodnotených pozorovacích objektov štátnej hydrologickej siete monitorovania kvality podzemných vôd. Z toho odber vzoriek v 630 objektoch na území Slovenska mimo Žitného ostrova bol uskutočnený 1-krát v jarnom alebo 2-krát v jarnom a jesennom období. Na území Žitného ostrova sa okrem 53 jedňourovňových vrtov sleduje aj 28 viacúrovňových piezometrických vrtov, v ktorých sa pozorujú 2 až 3 úrovne (tab. 2.2) s frekvenciou odberov 2 a 4 krát ročne. Každá úroveň je hodnotená samostatne (73 úrovní), to

znamená, že v roku 2022 bolo na Žitnom ostrove celkovo hodnotených 126 odberových miest vrátane úrovní.

Tab. 2.2: Počet úrovní v piezometrických vrtoch na území Žitného ostrova

počet objektov	počet úrovní
17 objektov	3 úrovne
11 objektov	2 úrovne
53 objektov	1 úroveň

Chemické analýzy vybraných ukazovateľov vykonávali akreditované geoanalytické laboratóriá Štátneho geologického ústavu Dionýza Štúra (ŠGÚDŠ) v Spišskej Novej Vsi. Spracovaných bolo 1384 analýz. Z nameraných hodnôt bol vypočítaný ročný priemer, ktorý sa použil pre výpočet bilančného stavu. Ak hodnota niektorého ukazovateľa nedosiahla limit kvantifikácie (LOQ) použitej analytickej metódy (tab. 2.3), počítalo sa s polovičnou hodnotou LOQ.

Tab. 2.3: Prehľad použitých analytických metód ŠGÚDŠ s limitom kvantifikácie v roku 2022

Názov ukazovateľa	Skratka	Jednotka	Metóda stanovenia	Norma	LOQ
Dusičnany	NO ₃ ⁻	mg/l	iónová chromatografia	STN EN ISO 10304-1	1
Amónne ióny	NH ₄ ⁺	mg/l	spektrofotometria	STN ISO 7150-1	0.01
Chemická spotreba O ₂ manganistanom	CHSK _{Mn}	mg/l	volumetria	STN EN ISO 8467	0.5
Vodivosť	EK	mS/m	elektrometria	STN EN 27888	-
Chloridy	Cl ⁻	mg.l ⁻¹	iónová chromatografia	STN EN ISO 10304-1	1
Sírany	SO ₄ ²⁻	mg.l ⁻¹	iónová chromatografia	STN EN ISO 10304-1	2
Celkový organický uhlík	TOC	mg.l ⁻¹	vysokoteplotná oxidácia	STN EN 1484	0.5
Arzén	As	µg.l ⁻¹	ICP-MS	STN EN ISO 17294-2	0.5

3. HODNOTENIE BILANČNÉHO STAVU KVALITY PODZEMNÝCH VÔD V JEDNOTLIVÝCH HYDROGEOLOGICKÝCH RAJÓNOCH

Prehľad výsledkov kvalitatívnej bilancie za rok 2022 v porovnaní s rokom 2021 v hydrogeologických rajónoch je uvedený v bilančných tabuľkách v tabuľkovej prílohe.

V bilančných tabuľkách za jednotlivé hydrogeologické rajóny sú uvedené čísla objektov a lokality štátnej hydrologickej siete monitorovania kvality podzemných vôd, ktoré sa v príslušnom rajóne nachádzajú, ako aj hodnotenie bilančného stavu (A – priaznivý, B – napätý, C - pasívny) v rokoch 2021 a 2022 vo všetkých vybraných ukazovateľoch (NH_4^+ , NO_3^- , CHSK_{Mn} , vodivosť, Cl⁻, SO_4^{2-} , TOC, As). V stĺpci „bil. stav“ je uvedený najnepriaznivejší (najnižší) vypočítaný pomer a stĺpec „ukazovateľ“ predstavuje najnepriaznivejší ukazovateľ, ktorý určuje pasívny alebo napätý bilančný stav rajónu. V prípade, že v niektorom objekte nebola odobratá vzorka podzemnej vody, príslušný riadok v bilančnej tabuľke nie je (v roku 2022 došlo k výraznému rozšíreniu monitorovacej siete, v nových objektoch je uvedený iba riadok s bilančným stavom za rok 2022).

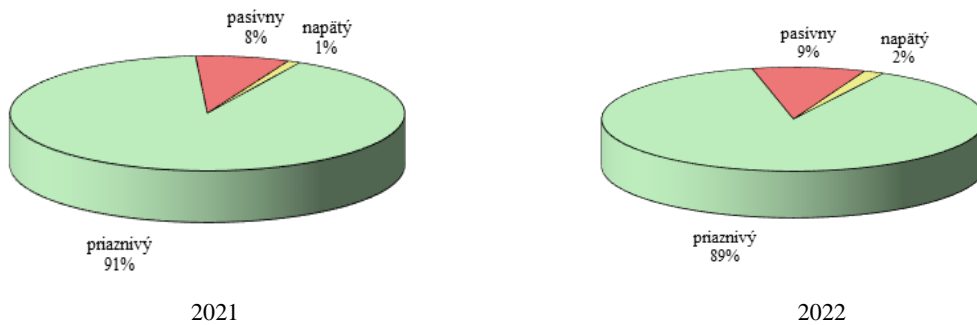
Ak sa v hydrogeologickom rajóne nenachádza žiaden objekt štátnej hydrologickej siete monitorovania kvality podzemných vôd, bilančná tabuľka nie je uvedená.

4. CELKOVÉ HODNOTENIE BILANČNÉHO STAVU KVALITY PODZEMNÝCH VÔD

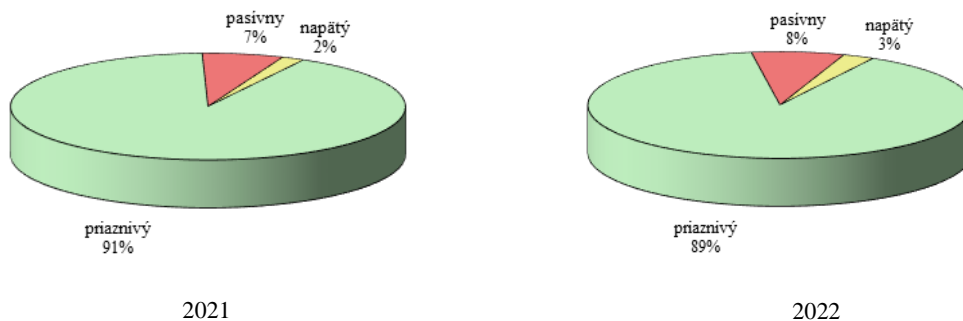
4.1 Hodnotenie bilančného stavu kvality podzemných vôd v porovnaní s rokom 2021

Celkovo bolo v roku 2022 v rámci 125 hodnotených rajónov 251 objektov štátnej hydrologickej siete monitorovania kvality podzemných vôd s pasívnou bilanciou (201) alebo napätou bilanciou (50), v roku 2021 to bolo v rámci 122 hodnotených rajónov 143 objektov, z toho 107 s pasívnou a 36 s napätou bilanciou. Porovnanie percentuálneho podielu jednotlivých ukazovateľov v oboch rokoch je uvedený na obrázkoch 1-6:

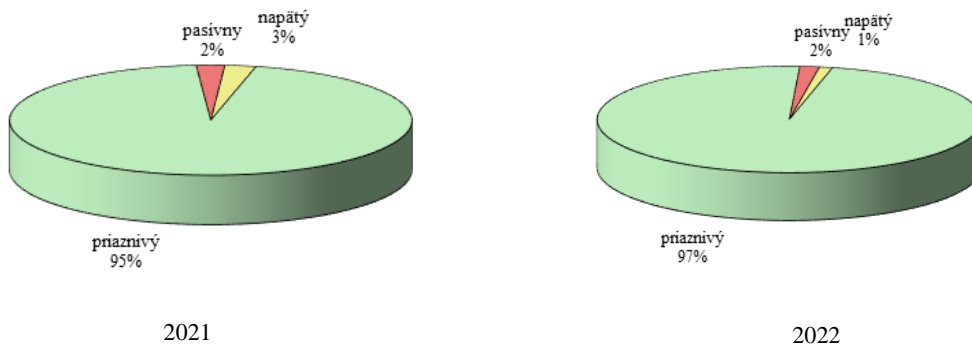
Obr. 1: Porovnanie bilančných stavov v roku 2021 a 2022 pre NH_4^+ :



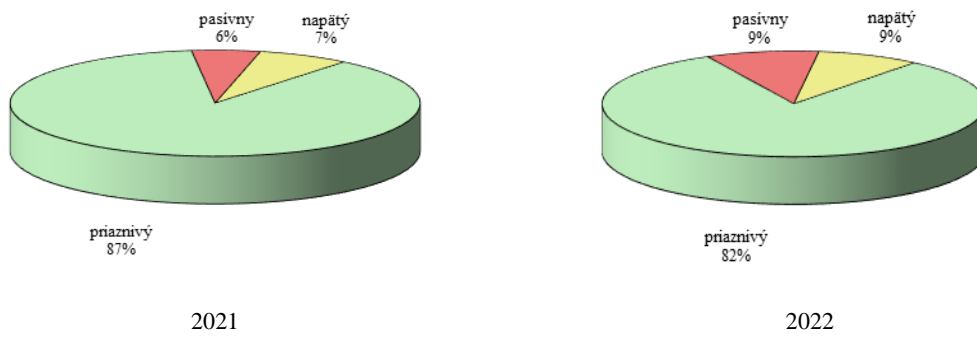
Obr. 2: Porovnanie bilančných stavov v roku 2021 a 2022 pre NO_3^- :



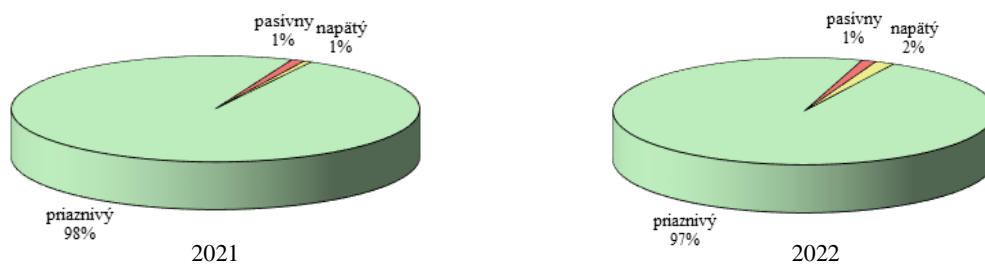
Obr. 3: Porovnanie bilančných stavov v roku 2021 a 2022 pre CHSK_{Mn} :



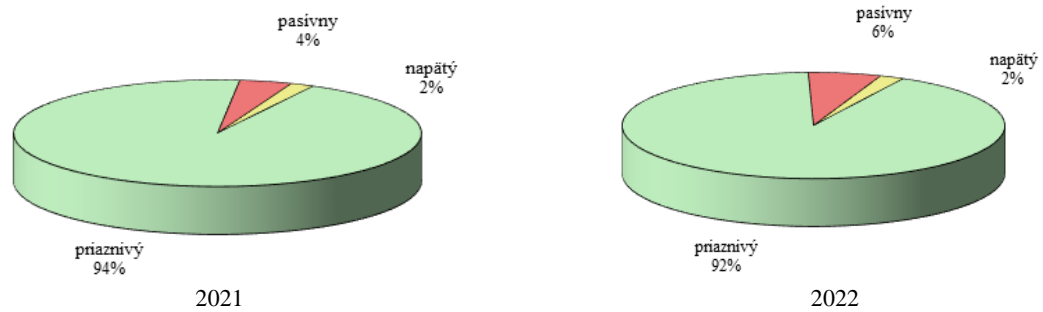
Obr. 4: Porovnanie bilančných stavov v roku 2021 a 2022 pre vodivosť:



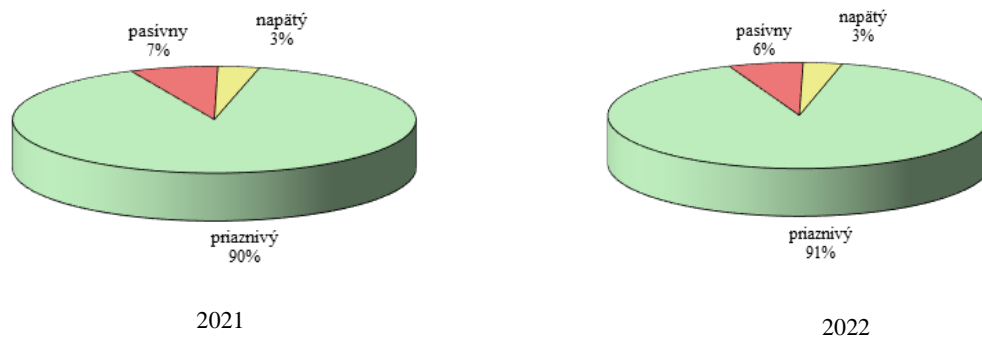
Obr. 5: Porovnanie bilančných stavov v roku 2021 a 2022 pre Cl⁻:



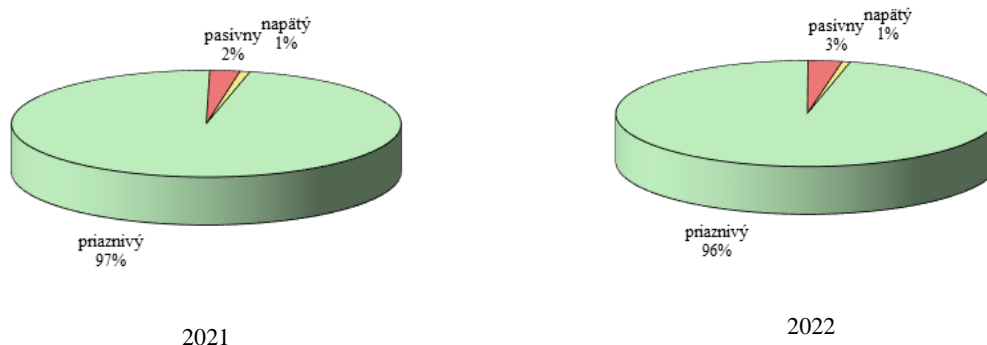
Obr. 6: Porovnanie bilančných stavov v roku 2021 a 2022 pre SO₄²⁻:



Obr. 7: Porovnanie bilančných stavov v roku 2021 a 2022 pre TOC:



Obr. 8: Porovnanie bilančných stavov v roku 2021 a 2022 pre As:



Z uvedených porovnaní bilančných stavov v rokoch 2021 a 2022 konštatujeme percentuálne zvýšenie priaznivého bilančného stavu pre ukazovatele $CHSK_{Mn}$ a TOC. Naopak pri ukazovateľoch NH_4^+ , NO_3^- , vodivosť, Cl^- , SO_4^{2-} a As nastalo zníženie priaznivého bilančného stavu spojené so zvýšením napätého a pasívneho bilančného stavu. Od roku 2022 došlo k rozšíreniu monitorovacej siete, do monitorovania bolo zaradených cca 150 nových sond a prameňov, čo môže byť príčinou výraznejších zmien v zastúpení jednotlivých bilančných stavov v porovnaní s rokom 2021.

K zmenám bilančného stavu v roku 2022 porovnaním s rokom 2021 došlo v 51 pozorovacích objektoch: v 30 objektoch sa zlepšil bilančný stav a v 21 objektoch sa bilančný stav zhoršil. Podrobnejšie sú údaje o všetkých zmenách bilančných stavov spracované v tab. 4.1.

Tab. 4.1: Miesta odberov so zmenou bilančného stavu kvality podzemných vôd v roku 2022 v porovnaní s rokom 2021

rajón	č. objektu	lokalita	2021	2022	zmena spôsobená ukazovateľmi
QN 007	3290	STUPAVA	B - napätý	A - priaznivý	NO_3^-
QN 007	6990	SOLOSICA	C - pasívny	B - napätý	NO_3^-
PQ 028	42690	RAKOVA - ZAPAD	B - napätý	C - pasívny	$CHSK_{Mn}$, TOC
PQ 028	242790	PODVYSOKA	C - pasívny	B - napätý	$CHSK_{Mn}$, TOC
Q-P 033	245590	MARTIN - PRIEKOPA	A - priaznivý	B - napätý	vodivosť
Q-P 033	610690	DUBOVE	C - pasívny	A - priaznivý	TOC
QN 037	19590	PUCHOV	A - priaznivý	B - napätý	NO_3^-
QN 037	217890	DOLNE KOCKOVCE	C - pasívny	A - priaznivý	NO_3^-
Q-M 038	16090	VELKE BIEROVCE	C - pasívny	B - napätý	NO_3^-
Q 048	215290	NOVE MESTO NAD VAHOM	B - napätý	C - pasívny	NH_4^+
Q 048	220890	SULEKOVO	C - pasívny	B - napätý	vodivosť, NO_3^-
Q 048	214490	MORAVANY	A - priaznivý	B - napätý	TOC
Q 051	270390	SPRINCLOV MAJER	B - napätý	C - pasívny	$CHSK_{Mn}$, TOC
Q 051	273190	BA - VRAKUNA	B - napätý	A - priaznivý	vodivosť
Q 051	712590	BA - PETRZALKA	B - napätý	C - pasívny	vodivosť, SO_4^{2-}
Q 052	264290	OKOC - ASZOD	B - napätý	A - priaznivý	TOC
Q 052	733695	VRAKUN	C - pasívny	A - priaznivý	NH_4^+
N 058	22690	BAJC	A - priaznivý	C - pasívny	As
Q 060	59490	HRONSKE KOSIHY	B - napätý	C - pasívny	As

rajón	č. objektu	lokalita	2021	2022	zmena spôsobená ukazovateľmi
MP 066	26690	HRADISTE -SEVER	C - pasívny	A - priaznivý	NH ₄ ⁺
QN 067	226490	NITRIANSKE SUCANY	A - priaznivý	B - napätý	vodivosť
NQ 071	114099	VELKE DRZKOVCE	A - priaznivý	B - napätý	NO ₃ ⁻
Q 074	12790	MOSTOVA	B - napätý	A - priaznivý	TOC
Q 074	12890	KRALOV BROD	B - napätý	A - priaznivý	vodivosť, TOC
Q 074	38690	HURBANOVO-MALY VEK	A - priaznivý	C - pasívny	NO ₃ ⁻
Q 074	211990	GALANTA	C - pasívny	B - napätý	vodivosť
Q 074	224490	VRBOVA N/V - VELKY KINDES	B - napätý	A - priaznivý	vodivosť
MG 077	130999	MOSTENICA - KYSLA	A - priaznivý	C - pasívny	SO ₄ ²⁻
MG 078	620490	BANSKA BYSTRICA-SALKOVA	C - pasívny	A - priaznivý	As
Q 080	77990	RUDNO NAD HRONOM	C - pasívny	A - priaznivý	TOC
NV 084	75390	ZVOLEN	B - napätý	A - priaznivý	vodivosť
NQ 090	85590	VELKE DRAVCE - FIL.PUSTA	B - napätý	A - priaznivý	TOC
Q 091	81490	SELESTANY - SLOVENSKE DARMOTY	C - pasívny	B - napätý	NO ₃ ⁻ , NH ₄ ⁺
Q 091	84390	VELKA NAD IPLOM	A - priaznivý	B - napätý	NH ₄ ⁺
Q 091	85090	HOLISA	A - priaznivý	B - napätý	NH ₄ ⁺
Q 091	281190	KOSIHY NAD IPLOM	A - priaznivý	B - napätý	vodivosť
V 094	620690	HONTIANSKE TESARE	B - napätý	A - priaznivý	TOC
Q-M 097	113890	VYSNE CABINY - KRASNY BROD	B - napätý	A - priaznivý	vodivosť
VN 100	169599	PORUBKA - MOCIDLA	C - pasívny	A - priaznivý	TOC
NQ 101	124090	JOVSA	A - priaznivý	B - napätý	NH ₄ ⁺
QN 104	120990	BOTANY-KOLONIA	A - priaznivý	B - napätý	NH ₄ ⁺
Q 108	123190	MICHALOVCE - MEDOV	C - pasívny	A - priaznivý	NO ₃ ⁻
Q 108	318290	NACINA VES	B - napätý	A - priaznivý	CHSK _{Mn}
VN 111	177799	HERMANOVCE N/T	A - priaznivý	C - pasívny	TOC
VN 111	229299	LUCINA	B - napätý	A - priaznivý	TOC
N 112	184899	CAKLOV	B - napätý	A - priaznivý	NO ₃ ⁻
Q 114	337090	BORSA	C - pasívny	A - priaznivý	NO ₃ ⁻
G 127	94090	JELSAVA	A - priaznivý	C - pasívny	vodivosť
Q 132	97290	ZIAR	C - pasívny	B - napätý	vodivosť, NH ₄ ⁺ , SO ₄ ²⁻
Q 132	292190	LENARTOVCE	C - pasívny	A - priaznivý	CHSK _{Mn}
PQ 141	137690	HNIEZDNE	B - napätý	C - pasívny	vodivosť

Z uvedeného hodnotenia zmien bilančných stavov sú zaujímavé nasledovné výraznejšie zmeny:

* pozorovacie objekty so zmenou pasívneho bilančného (C) stavu na priaznivý (A)

rajón	č. objektu	lokalita	2021	2022	zmena spôsobená ukazovateľmi
Q-P 033	610690	DUBOVE	C - pasívny	A - priaznivý	TOC
QN 037	217890	DOLNE KOCKOVCE	C - pasívny	A - priaznivý	NO ₃ ⁻
Q 052	733695	VRAKUN	C - pasívny	A - priaznivý	NH ₄ ⁺
MP 066	26690	HRADISTE -SEVER	C - pasívny	A - priaznivý	NH ₄ ⁺

MG 078	620490	BANSKA BYSTRICA-SALKOVA	C - pasívny	A - priaznivý	As
Q 080	77990	RUDNO NAD HRONOM	C - pasívny	A - priaznivý	TOC
VN 100	169599	PORUBKA - MOCIDLA	C - pasívny	A - priaznivý	TOC
Q 108	123190	MICHALOVCE - MEDOV	C - pasívny	A - priaznivý	NO ₃ ⁻
Q 114	337090	BORSA	C - pasívny	A - priaznivý	NO ₃ ⁻
Q 132	292190	LENARTOVCE	C - pasívny	A - priaznivý	CHSK _{Mn}

* pozorovacie objekty so zmenou priaznivého bilančného stavu (A) na pasívny (C)

rajón	č. objektu	lokalita	2021	2022	zmena spôsobená ukazovateľmi
N 058	22690	BAJC	A - priaznivý	C - pasívny	As
Q 074	38690	HURBANOVO-MALÝ VEK	A - priaznivý	C - pasívny	NO ₃ ⁻
MG 077	130999	MOSTENICA - KYSLA	A - priaznivý	C - pasívny	SO ₄ ²⁻
VN 111	177799	HERMANOVCE N/T	A - priaznivý	C - pasívny	TOC
G 127	94090	JELSAVA	A - priaznivý	C - pasívny	vodivosť

Zmeny uvedené v tabuľke č. 4.1 sú graficky znázornené na mape „Zmena bilančného stavu kvality podzemných vôd na Slovensku v roku 2022 v porovnaní s rokom 2021“, ktorá je uvedená v mapovej prílohe. Modrou farbou je znázornené zlepšenie bilančného stavu, ružovou farbou zhoršenie bilančného stavu a sivou farbou sú znázornené rajóny bez zmeny bilančného stavu v porovnaní s predchádzajúcim rokom. Farebné rozlíšenie názvu rajónu súvisí s jeho bilančným stavom v aktuálnom roku: zelená farba – priaznivý bilančný stav, oranžová farba – napätý bilančný stav, červená farba – pasívny bilančný stav.

Bilančný stav kvality podzemných vôd v roku 2022 ostáva nezmenený v porovnaní s rokom 2021 v 103 rajónoch. Tento nezmenený bilančný stav bol pozorovaný ako priaznivý v 51 rajónoch, napätý v 1 rajóne a pasívny v 51 hydrogeologických rajónoch.

4.2 Hodnotenie kvality podzemných vôd v roku 2022

V rámci VHB kvality PzV za rok 2022 bolo spracovaných 141 hydrogeologických rajónov. Z toho hodnotených bolo 124 rajónov, v 17 rajónoch zatiaľ nebola monitorovaná kvalita podzemných vôd. V 20 rajónoch sa nachádza 1 objekt, v 25 rajónoch sa nachádzajú 2 objekty a v 79 rajónoch sa nachádza 3 a viac objektov štátnej hydrologickej siete monitorovania kvality podzemných vôd.

Bilančné hodnotenie sa od roku 2021 vyhodnocuje v týchto ukazovateľoch kvality vody: NH₄⁺, NO₃⁻, CHSK_{Mn}, vodivosť, Cl⁻, SO₄²⁻, TOC, As

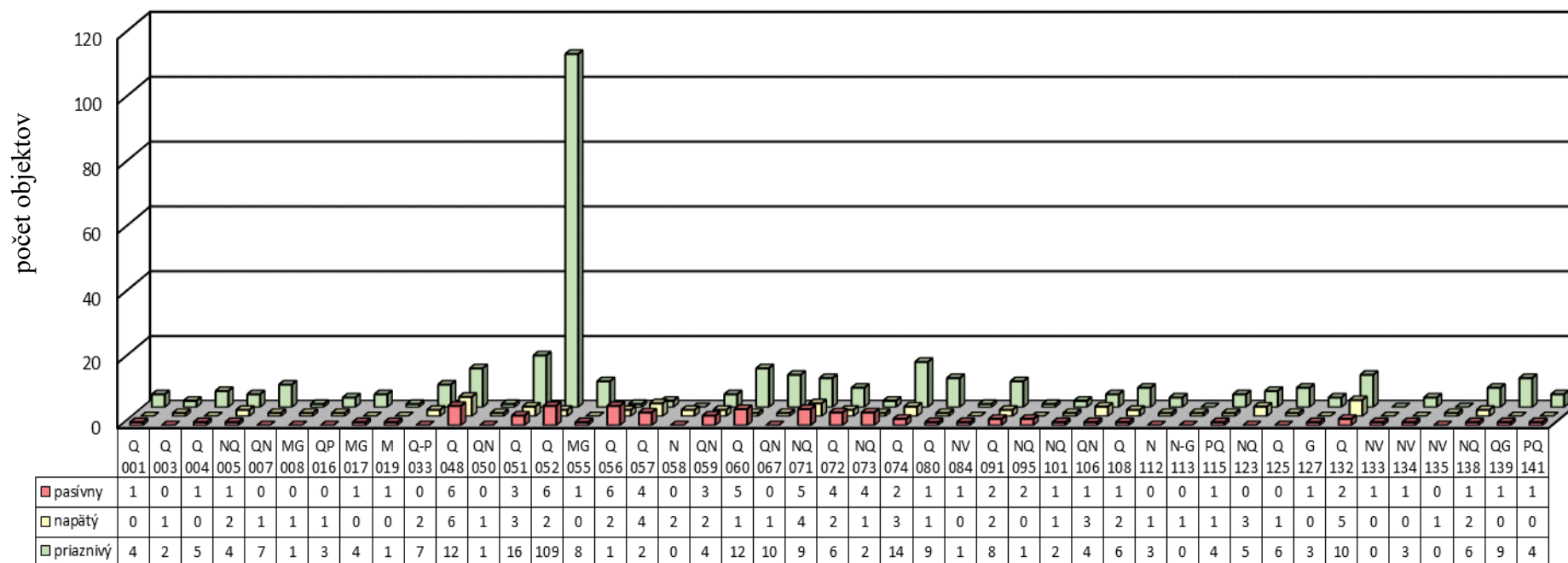
V hodnotenom období 2022 z celkového počtu 141 hydrogeologických rajónov Slovenska bol na základe bilančného spracovania hodnotený bilančný stav ako priaznivý v 58 rajónoch, napätý v 4 rajónoch a pasívny v 62 rajónoch. Bilančne nebolo vyhodnotených 17 rajónov.

V mapovej prílohe sa nachádza mapa bilančného stavu kvality podzemných vôd na Slovensku v roku 2021 a mapa bilančného stavu kvality podzemných vôd na Slovensku v roku 2022, kde sú farebne rozlíšené rajóny s bilančným stavom priaznivým (zelená farba), napätým (žltá farba) a pasívnym (červená farba) a rajóny, ktoré neboli hodnotené (biela farba).

Na obrázkoch 9-16 sa nachádzajú grafy znázorňujúce počty objektov v rajónoch s nepriaznivým (t.j. pasívnym a napätým) bilančným stavom pre jednotlivé ukazovatele. Pod označením hydrogeologického rajónu sa nachádza počet objektov, v ktorých bilančný stav sledovaného ukazovateľa v roku 2022 bol pasívny, napätý a priaznivý.

Obr. 9:

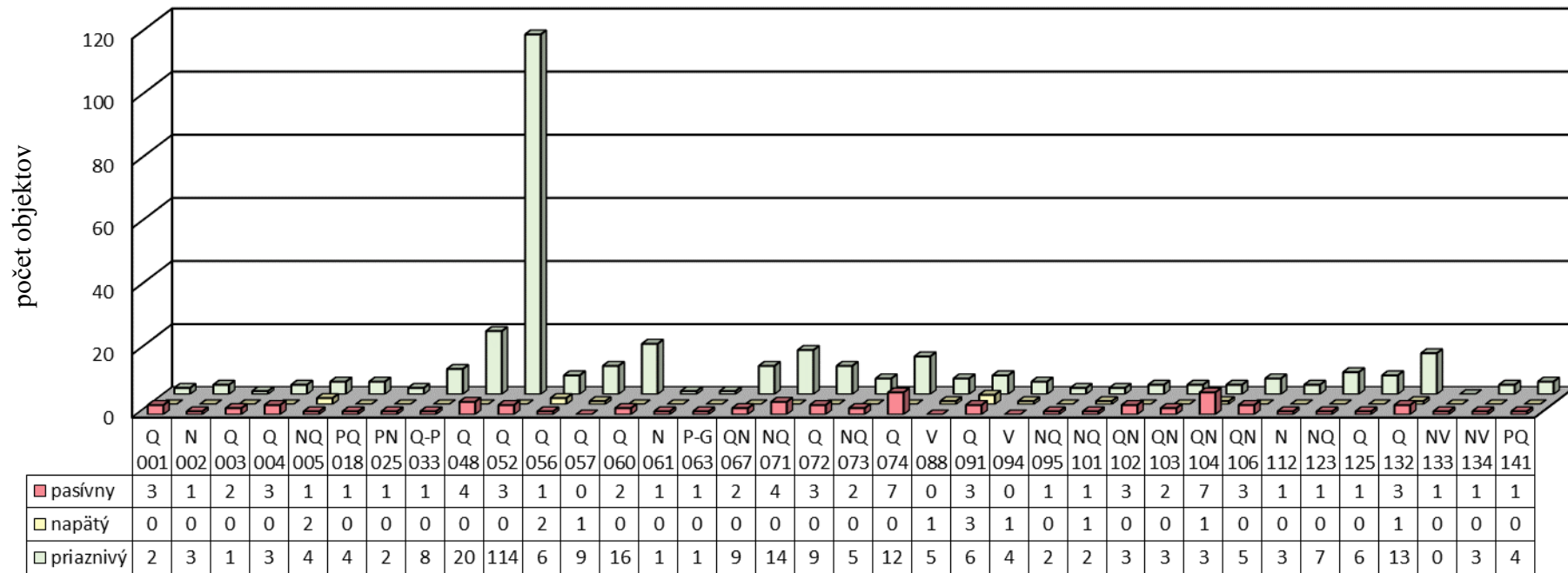
Pasívny a napätý bilančný stav pre vodivosť



HG rajón

Obr. 10:

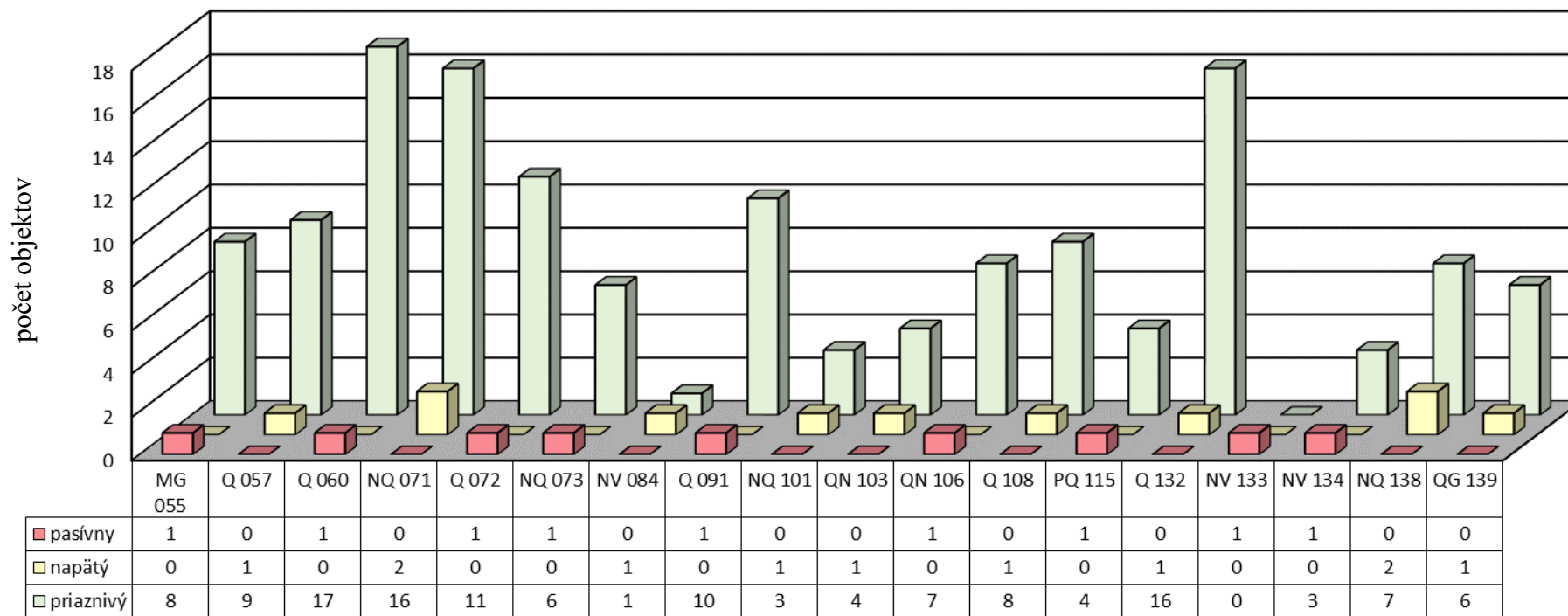
Pasívny a napätý bilančný stav pre NH₄⁺



HG rajón

Obr. 11:

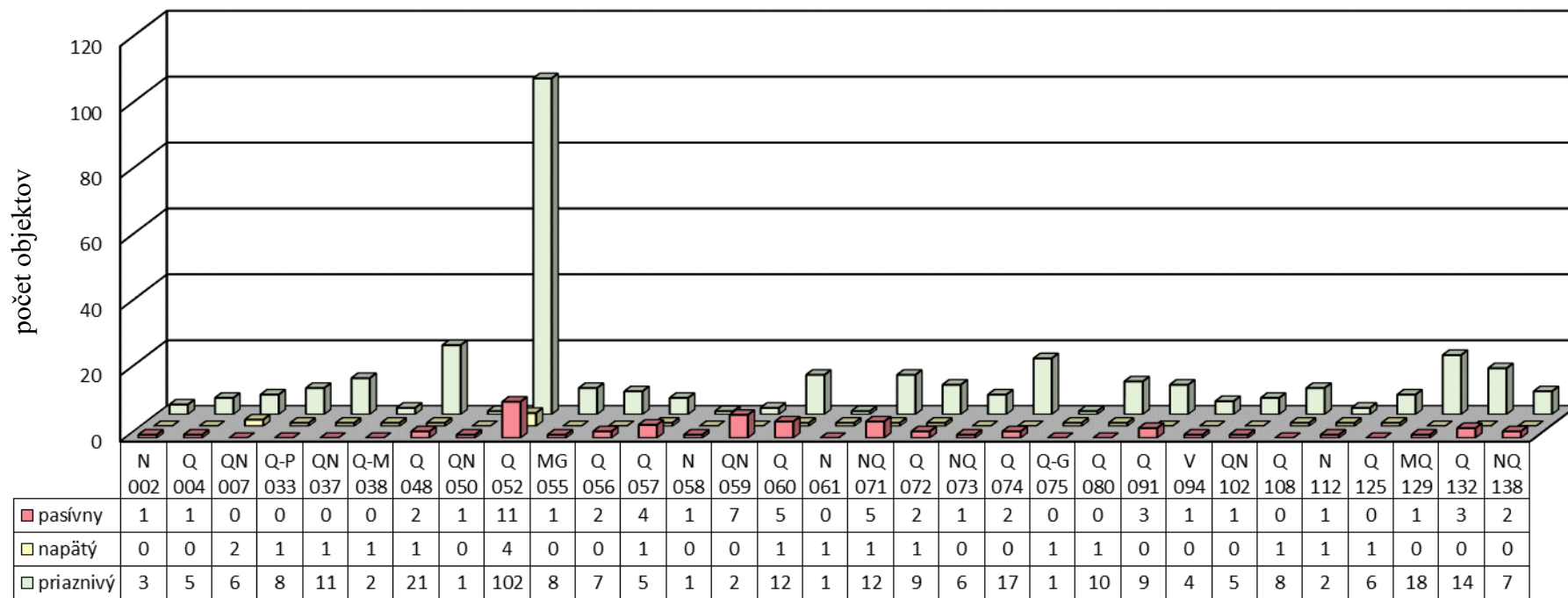
Pasívny a napätý bilančný stav pre CI



HG rajón

Obr. 12:

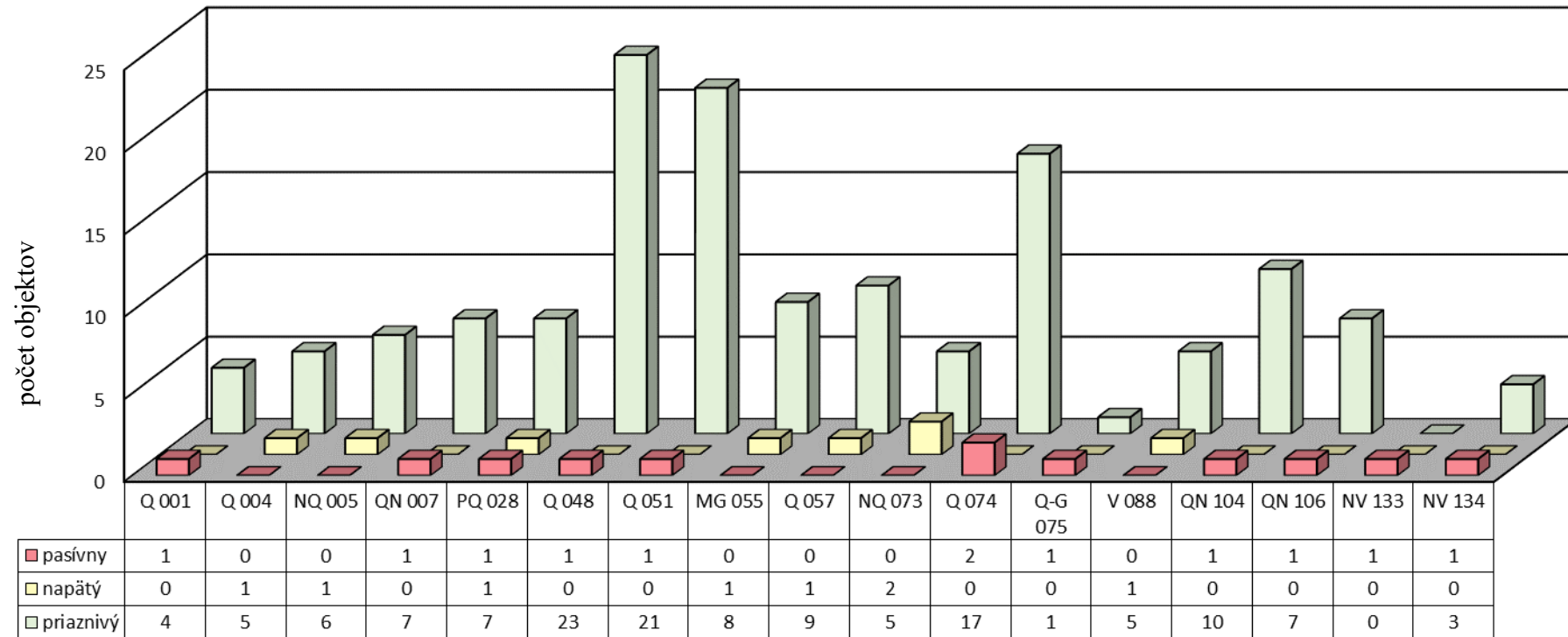
Pasívny a napätý bilančný stav pre NO₃⁻



HG rajón

Obr. 13:

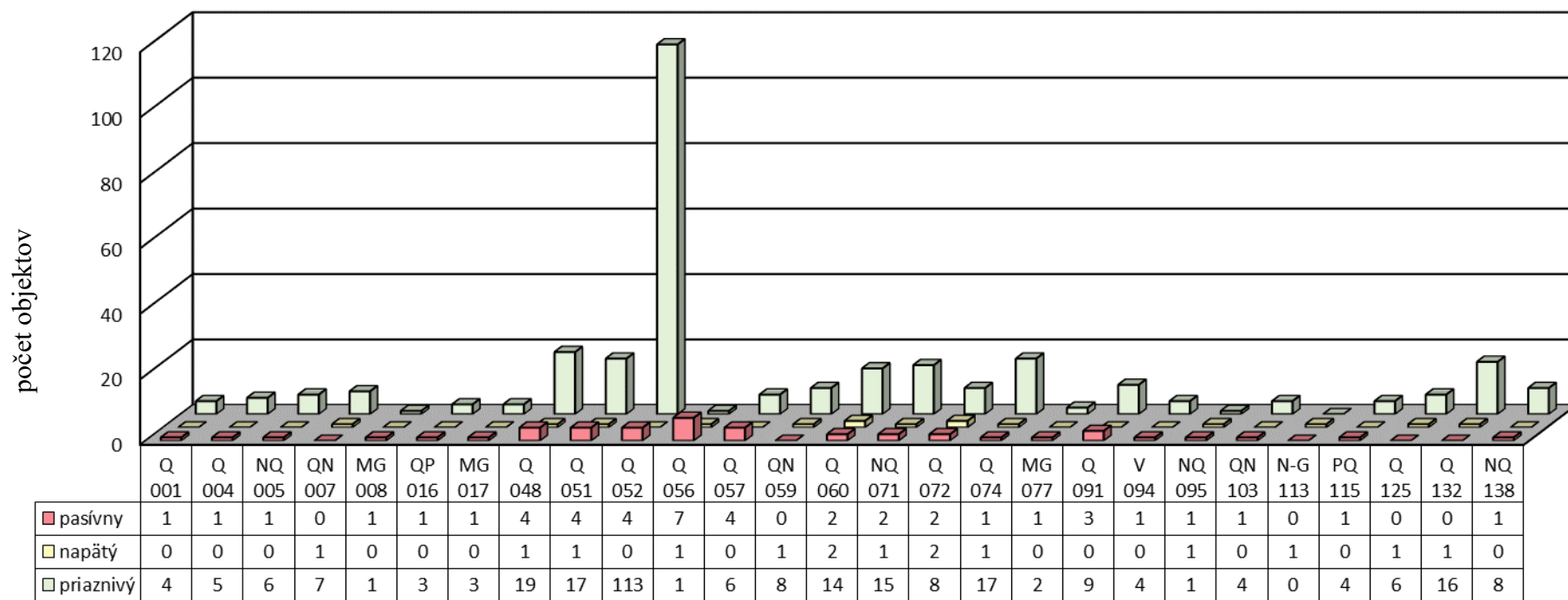
Pasívny a napätý bilančný stav pre CHSK_{Mn}



HG rajón

Obr. 14:

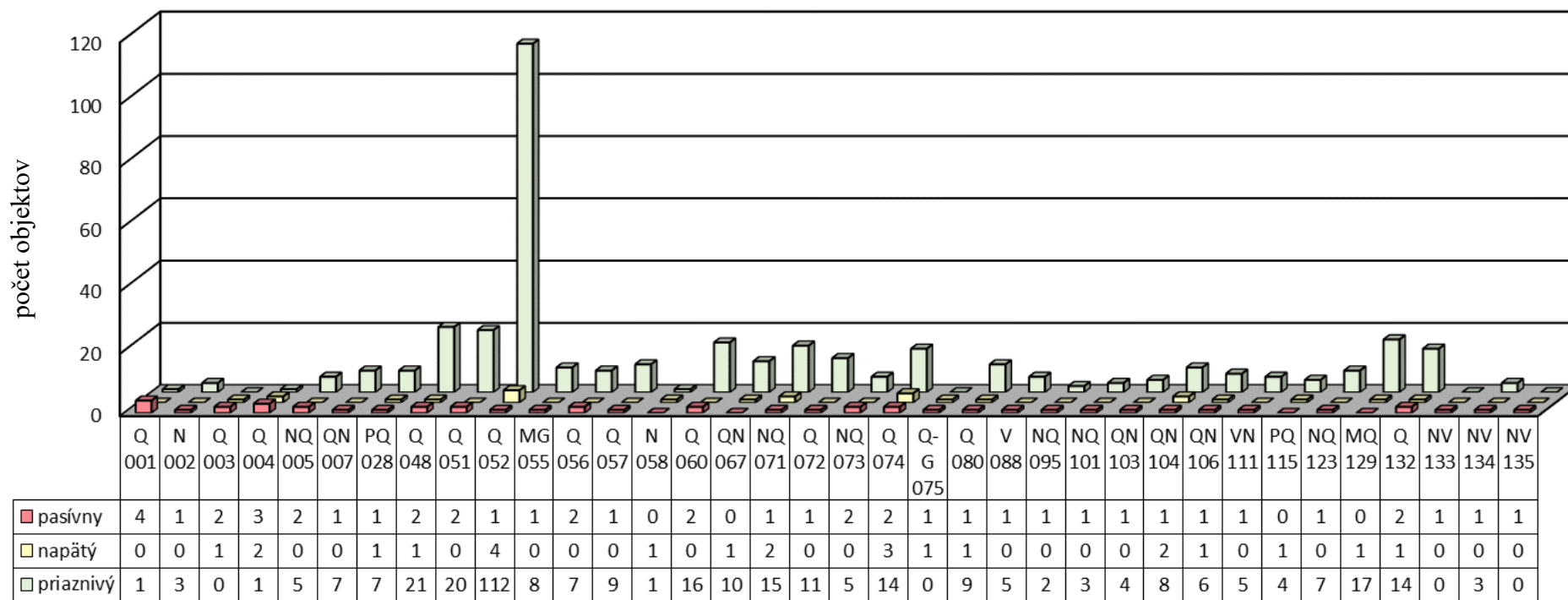
Pasívny a napätý bilančný stav pre SO₄²⁻



HG rajón

Obr. 15:

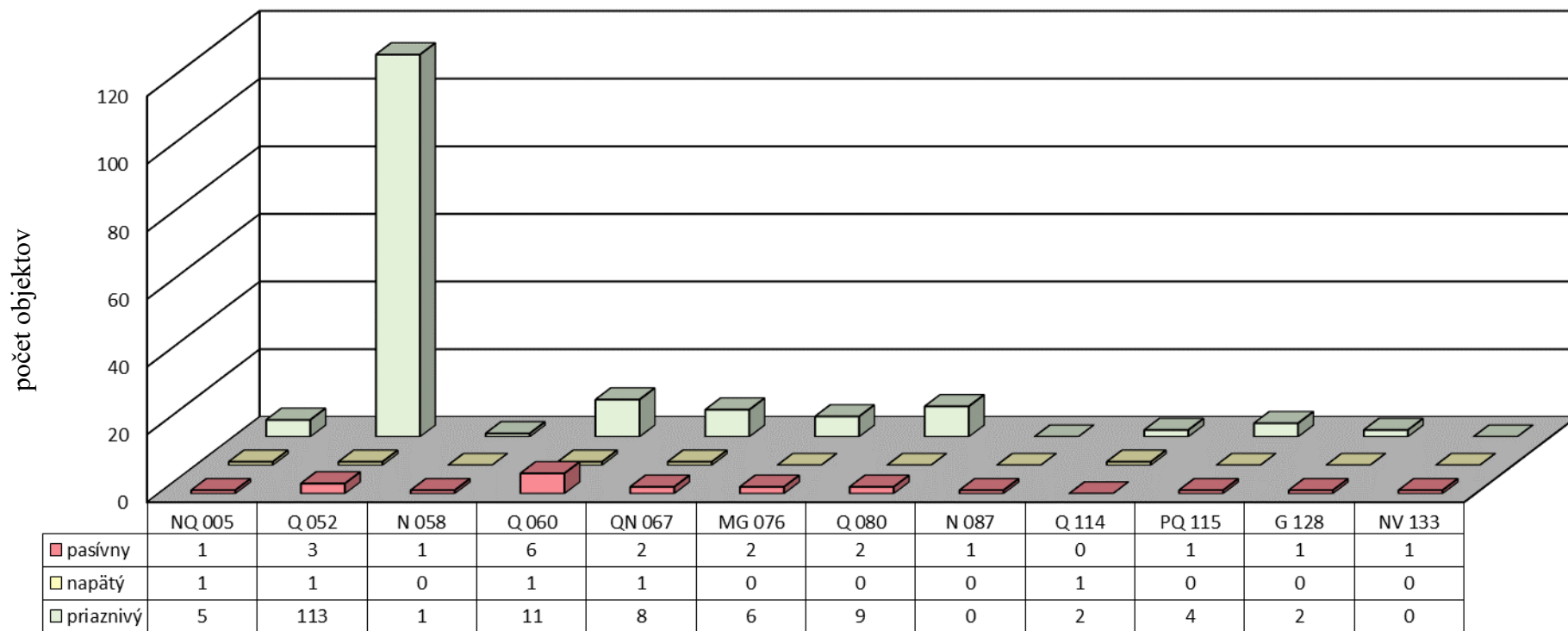
Pasívny a napätý bilančný stav pre TOC



HG rajón

Obr. 16:

Pasívny a napätý bilančný stav pre As



HG rajón

4.3 Vypúšťanie odpadovej vody do podzemnej vody

Na základe nahlasovaných údajov podľa vodného zákona v znení neskorších predpisov podľa § 6 (6) ten, kto vypúšťa odpadové vody alebo osobitné vody do povrchových vôd alebo podzemných vôd v množstve nad 10 000 m³ ročne alebo nad 1 000 m³ mesačne z domácnosti a ten, kto produkuje a vypúšťa odpadové vody, osobitné vody alebo geotermálne vody do povrchových vôd alebo podzemných vôd na základe povolenia podľa § 21 ods. 1 písm. c), je povinný oznamovať údaje o týchto vypúšťaných vodách a údaje určené v povolení podľa § 21 ods. 2 písm. d) raz ročne poverenej osobe, ktorá ich poskytne správcovi vodohospodársky významných vodných tokov. Tieto údaje boli získané zo súhrnej evidencie o vodách spracovávanej na SHMÚ (ďalej SEoV). Údaje o vypúšťaní nedisponujú lokalizáciou (súradnicovým systémom), preto nie je možné ich lokalizovať mapovo.

V roku 2022 bolo nahlásených 67 vypúšťaní odpadovej vody do podzemnej vody. V porovnaní s predchádzajúcim rokom 9 prevádzok pribudlo, 2 prevádzky z roku 2021 v roku 2022 nenahlásilo vypúšťanie odpadových vôd do podzemných vôd. Jednotlivé prevádzky, ktoré vypúšťajú odpadovú vodu do podzemnej vody, sú zaznamenané v tabuľke 4.3. Sumárne bolo v roku 2022 vypustených 24.49 l.s⁻¹ odpadovej vody do podzemnej vody, oproti roku 2021 to predstavuje nárast o 3,18 l.s⁻¹. Percentuálny podiel vypúšťanej odpadovej vody k odberom predstavuje v hodnotenom roku 0,22 %, čo je zanedbateľné %.

Tab. 4.3: Zoznam prevádzok a množstvo vypúšťania odpadovej vody do podzemnej vody

Názov prevádzky	Mesto prevádzky	Množstvo vypúšťanej OV rok 2021 (l. s ⁻¹)	Množstvo vypúšťanej OV rok 2022 (l. s ⁻¹)
Astronomický ústav SAV	Vysoké Tatry	-	0,0052
Danucem Slovensko a.s.	Turňa nad Bodvou	0,0896	0,0154
Obec Pukanec	Pukanec	0,0224	0,0187
Obec Zborov nad Bystricou	Zborov nad Bystricou	0,0027	0,0000
Obec Veľká Čalomija	Veľká Čalomija	0,0281	0,0293
Mesto Spišská Belá	Spišská Belá	-	0,0000
Obec Dargov	Dargov	0,0290	0,0257
Obec Dargov	Dargov	0,0272	0,0283
Radovan SIMO	Považský Chlmec	0,0015	0,0014
Anna Uhrinová	Kláštor pod Znievom	0,0155	0,0159
G a T spol. s.r.o.	Martin	2,9750	1,5044
Ministerstvo obrany SR, Agentúra správy majetku	Sklené	0,2570	0,2630
TRANSPETROL, a. s.	Šahy	0,0104	0,0050
Shell Slovakia s.r.o.	Tomášovce	0,0268	0,0272
Železnice Slovenskej republiky	Žilina	0,0002	0,0030
ILKA s.r.o.	Veľký Grob	-	4,7199
Tatry mountain resorts, a.s.	Liptovský Mikuláš	0,0000	0,0130
Tatry mountain resorts, a.s.	Rovná Hola	0,0000	0,0233
GLOBUS spol. s r.o.	Zvolen	0,0201	0,0204
Slovenská banská s.r.o.	Hodruša - Hámre	0,0560	0,0616
Slovenská banská s.r.o.	Hodruša - Hámre	0,0172	0,0209
BRA-VUR, a.s.	Vrútky	5,3425	5,7046
Slovenské magnezitové závody, akciová spoločnosť, Jelšava	Jelšava	0,1383	0,0612
Detská psychiatrická liečebňa n.o. Hraň	Hraň	0,0788	0,0589
YIT SLOVAKIA, a.s.	Bratislava	-	0,0000
F.A.P.	Sebechleby	0,0018	0,0019
Slovenské elektrárne a.s.	Jaslovské Bohunice	0,0095	0,0081
Slovenské elektrárne a.s.	Jaslovské Bohunice	0,0000	0,0000

Názov prevádzky	Mesto prevádzky	Množstvo vypúšťanej OV rok 2021 (l. s ⁻¹)	Množstvo vypúšťanej OV rok 2022 (l. s ⁻¹)
Slovenské elektrárne a.s.	Jaslovské Bohunice	0,0000	0,0000
Slovenské elektrárne a.s.	Jaslovské Bohunice	0,0111	0,0000
Slovenské elektrárne a.s.	Jaslovské Bohunice	0,0000	0,0000
Slovenské elektrárne a.s.	Jaslovské Bohunice	0,0000	0,0000
Slovenská elektrizačná prenosová sústava, a.s.	Stupava	0,0048	0,0052
EUROTALC, s.r.o.	Gemerská Poloma	-	0,0014
Potôčky SK, s.r.o.	Dolná Krupá	0,6697	0,4426
Národná diaľničná spoločnosť a.s.	Voznica	0,0080	0,0162
Badinotti Slovakia, s.r.o	Brzotín	0,7142	0,7193
LB MINERALS SK,s.r.o	Drienovec	0,0015	0,0011
Vocatio spol. s r. o.	Čičov	-	0,0265
Nafta a.s.	Lozorno	0,0055	0,0059
Towercom, a.s.	Zlatá Baňa	0,0029	0,0034
Towercom, a.s.	Kremnica	0,0017	0,0020
Towercom, a.s.	Šumiac	0,0002	0,0003
Towercom, a.s.	Rímovská Sobota	0,0000	-
STATON, s.r.o.	Turany	0,5010	0,5434
METRANS /Danubia/, a.s.	Haniska pri Košiciach	0,0016	0,0016
ŽIARCE, a.s.	Pavčina Lehota	0,0046	0,0039
OLAS, s.r.o.	Považský Chlmec	0,0000	-
SOMPRA, s.r.o.	Nová Bystrica	-	0,0105
GAMOTA, a.s.	Malé Straciny	0,0165	0,0168
PolyStar, s.r.o.	Nové Zámky	0,0655	0,1368
EUROVIA - Kameňolomy s.r.o.	Krupina	-	0,0038
VSK MINERAL s.r.o.	Horná Štubňa	0,0006	0,0010
BULK TRANSSHIPMENT SLOVAKIA a.s.	Čierna nad Tisou	0,0052	0,0064
BULK TRANSSHIPMENT SLOVAKIA a.s.	Čierna nad Tisou	0,0132	0,0145
CHYŽBET SK, s.r.o.	Turany	0,8869	0,9578
AKAtech Imobilien s.r.o.	Hlohovec	7,6158	7,2918
TIMAJ s. r. o.	Bojnice	0,0176	0,0186
FED-oil, s.r.o.	Spišský Štvrtok	0,0046	0,0046
LK Consulting SK s. r. o.	Prievidza	0,0160	0,0127
FARMA FÉNIX, s.r.o.	Ludrová	0,0087	0,0123
PREFA invest,a.s.	Sučany	1,4715	1,2555
TSR Slovakia, s.r.o.	Bytča	0,0088	0,0071
CITY STONE DESIGN S.R.O.	Geča	0,0103	0,0104
PREDNA HORA s.r.o.	Revúca	-	0,2509
Röchling Automotive Slovakia s. r. o.	Kočovce	0,0684	0,0475
VOMS SK, s. r. o.	Rajecké Teplice	0,0059	0,0061
VOMS SK, s. r. o.	Námestovo	0,0048	0,0048
BURSA - GUM s. r. o.	Liptovská Teplá	0,0073	0,0073
Sumárne vypúšťanie		21,3039	24,4862

Vývoj počtu a množstva vypúšťania odpadových vôd do podzemných vôd za posledných 10 rokov je zaznamenaný v tab. 4.4. Najvyšší počet prevádzok (67), ktoré vypúšťajú odpadovú vodu do podzemnej vody je v roku 2022. V tomto roku je najväčšie aj množstvo vypúšťanej odpadovej vody do podzemnej vody (24,49 l.s⁻¹). Najmenej prevádzok, ktoré vypúšťali odpadovú vodu do podzemnej vody bolo v roku 2013 (5 prevádzok). Najmenej vypustenej odpadovej vody (7,10 l.s⁻¹) bolo v roku 2013. Percentuálny podiel vypúšťania k odberom sa pohybuje od 0,068 % - 0,230 %, čo je zanedbateľné percento z hľadiska množstva vypúšťania odpadových vôd (tab. č.4.4).

Tab. 4.4 Vývoj počtu a množstva vypúšťania do PzV za obdobie 2013 – 2022

Hodnotený rok	2013	2014	2015	2016	2017	2018	2019	2020	2021	2022
Počet vypúšťaní	5	9	22	25	36	39	53	56	60	67
Vypúšťanie do PzV/l.s⁻¹	7,10	15,68	12,48	22,83	16,87	21,92	20,46	24,38	21,30	24,49
Podiel vypúšťania k odberom/%	0,068	0,154	0,121	0,223	0,159	0,204	0,190	0,230	0,200	0,220

Z hľadiska nahlasovaných ukazovateľov odpadových vôd podľa vodného zákona do SeOV tieto ukazovatele nevstupujú do hodnotenia bilančného stavu kvality podzemných vôd. Z hľadiska bilancie kvality pzv sú tieto vypúšťania do podzemných vôd zanedbateľné.

5. ZÁVER

V roku 2022 sa kvalita podzemných vôd hodnotila v 756 pozorovacích objektoch podľa Vyhlášky MZ SR č. 91/2023 Z.z., ktorou sa ustanovujú ukazovatele a limitné hodnoty kvality pitnej vody a kvality teplej vody, postup pri monitorovaní pitnej vody, manažment rizík systému zásobovania pitnou vodou a manažment rizík domových rozvodných systémov. Bilančný stav podzemných vôd za roky 2022 a 2021 bol vypočítaný pre ukazovatele NH_4^+ , NO_3^- , CHSK_{Mn} , vodivosť, Cl^- , SO_4^{2-} , TOC, As.

V hodnotenom období 2022 z celkového počtu 141 hydrogeologických rajónov Slovenska bol na základe bilančného spracovania hodnotený bilančný stav ako priaznivý v 58 rajónoch, napätý v 4 rajónoch a pasívny v 62 rajónoch. Bilančne nebolo vyhodnotených 17 rajónov, v ktorých v roku 2022 nebola monitorovaná kvalita podzemných vôd. Ukazovatele spôsobujúce napätý alebo pasívny bilančný stav objektu sú zoradené podľa počtu objektov, v ktorých ho spôsobujú, v nasledovnom poradí: vodivosť v 99 objektoch, NH_4^+ v 79 objektoch, NO_3^- v 78 objektoch, TOC v 52 objektoch, SO_4^{2-} v 50 objektoch, As v 25 objektoch, CHSK_{Mn} v 13 objektoch a Cl^- v 9 objektoch.

6. TABULKOVÁ PRÍLOHA

Q – 001 Kwartér Moravy po Brodsképlocha: 106.7 km²

č. objektu	lokality	rok	vodivost'	CHSK _{Mn}	Cl ⁻	NH ₄ ⁺	NO ₃ ⁻	SO ₄ ²⁻	TOC	As	bil.stav	ukazovateľ
690	GBELY-ADAMOV	2022	0,36 C	1,17 A	3,07 A	0,17 C	100 A	0,16 C	0,6 C	8,88 A	C	vodivost', NH ₄ ⁺ , SO ₄ ²⁻ , TOC
1090	KUTY-BRODSKE	2022	1,58 A	1,87 A	4,78 A	0,48 C	14,49 A	3,22 A	0,88 C	40 A	C	NH ₄ ⁺ , TOC
200290	HOLIC	2021	1,01 B	4,8 A	2,04 A	0,23 C	100 A	1,44 A	1,5 A	40 A	C	NH ₄ ⁺
		2022	1,17 A	2,72 A	2,77 A	0,24 C	100 A	1,88 A	1,3 A	40 A	C	NH ₄ ⁺
200790	GBELY	2022	2,03 A	1,93 A	30,86 A	4,76 A	2,25 A	4,85 A	0,88 C	17,39 A	C	TOC
700590	BRODSKE	2021	0,74 C	0,22 C	1,87 A	2 A	5,84 A	0,72 C	0,08 C	5,26 A	C	vodivost', CHSK _{Mn} , SO ₄ ²⁻ , TOC
		2022	1,4 A	0,59 C	6,42 A	2,85 A	3,57 A	1,87 A	0,3 C	12,5 A	C	CHSK _{Mn} , TOC

N – 002 Neogén Chvojnickej pahorkatinyplocha: 367.3 km²

č. objektu	lokality	rok	vodivost'	CHSK _{Mn}	Cl ⁻	NH ₄ ⁺	NO ₃ ⁻	SO ₄ ²⁻	TOC	As	bil.stav	ukazovateľ
399	RADOSOVCE	2021	1,23 A	3,33 A	3,73 A	100 A	1,88 A	1,83 A	1,87 A	40 A	A	
		2022	1,1 A	12 A	3,18 A	5,55 A	1,51 A	1,71 A	2,5 A	40 A	A	
599	SKALICA	2021	1,36 A	12 A	7 A	100 A	0,33 C	2,52 A	3,75 A	40 A	C	NO ₃ ⁻
		2022	1,25 A	12 A	5,44 A	7,14 A	0,34 C	1,98 A	2,3 A	40 A	C	NO ₃ ⁻
8390	GBELY	2022	1,61 A	6 A	21,55 A	0,83 C	19,23 A	3,34 A	2,3 A	40 A	C	NH ₄ ⁺
200490	TRNOVEC - PRIETRZKA	2022	1,81 A	1,25 A	1,78 A	1,72 A	26,31 A	10,77 A	0,83 C	40 A	C	TOC

Q – 003 Kwartér Myjavyplocha: 49.8 km²

č. objektu	lokality	rok	vodivost'	CHSK _{Mn}	Cl ⁻	NH ₄ ⁺	NO ₃ ⁻	SO ₄ ²⁻	TOC	As	bil.stav	ukazovateľ
8090	DOJC	2022	1,18 A	1,66 A	5,29 A	0,21 C	100 A	1,43 A	0,9 B	40 A	C	NH ₄ ⁺
8190	SENICA N/MYJAVOU	2021	1,05 B	1,39 A	4,44 A	0,26 C	50,76 A	2,1 A	0,96 B	26,66 A	C	NH ₄ ⁺
		2022	0,96 B	2,06 A	3,8 A	0,22 C	100 A	1,73 A	0,89 C	15,38 A	C	NH ₄ ⁺ , TOC
201290	STEFANOV	2022	1,25 A	1,5 A	5,15 A	1,29 A	100 A	4,02 A	0,86 C	2,38 A	C	TOC

Q – 004 Kwartér Moravy od Brodského po Vysokú pri Moraveplocha: 160.2 km²

č. objektu	lokality	rok	vodivost'	CHSK _{Mn}	Cl ⁻	NH ₄ ⁺	NO ₃ ⁻	SO ₄ ²⁻	TOC	As	bil.stav	ukazovateľ
2490	SUCHOHRAD	2022	1,11 A	2,4 A	3,28 A	4,76 A	0,84 C	1,6 A	1,07 B	10,52 A	C	NO ₃ ⁻
8990	MORAVSKY SVATY	2022	1,59 A	1,09 B	8,34 A	1,26 A	100 A	2,9 A	0,65 C	6,06 A	C	TOC
201690	MORAVSKY SVATY JAN - SEKULE	2021	2,09 A	1,42 A	10,68 A	1,17 A	100 A	5,05 A	0,98 B	40 A	B	TOC
		2022	1,89 A	1,46 A	9,2 A	1,16 A	100 A	3,38 A	1,07 B	40 A	B	TOC
209090	ZAHORSKA VES	2021	0,51 C	1,5 A	0,86 C	1,29 A	100 A	0,34 C	0,74 C	6,66 A	C	vodivost', Cl ⁻ , SO ₄ ²⁻ , TOC
		2022	0,62 C	1,57 A	1,18 A	0,81 C	100 A	0,55 C	0,8 C	23,52 A	C	vodivost', NH ₄ ⁺ , SO ₄ ²⁻ , TOC
209590	GAJARY	2021	1,56 A	1,81 A	6,34 A	0,59 C	100 A	2,31 A	1,09 B	40 A	C	NH ₄ ⁺
		2022	1,81 A	2,5 A	9,04 A	0,65 C	100 A	3,86 A	1,17 A	40 A	C	NH ₄ ⁺
500190	KUTY	2021	2,45 A	0,93 B	13,88 A	0,27 C	100 A	37,87 A	0,9 B	40 A	C	NH ₄ ⁺
		2022	2,49 A	1,87 A	12,13 A	0,2 C	21,73 A	44,64 A	0,83 C	40 A	C	NH ₄ ⁺ , TOC

NQ – 005 Neogén centrálnej časti Borskej nížinyplocha: 431.0 km²

č. objektu	lokality	rok	vodivost'	CHSK _{Mn}	Cl ⁻	NH ₄ ⁺	NO ₃ ⁻	SO ₄ ²⁻	TOC	As	bil.stav	ukazovateľ
1390	BORSKY MIKULAS	2022	0,44 C	1,07 B	11,79 A	0,14 C	15,62 A	0,16 C	0,44 C	2,43 A	C	vodivost', NH ₄ ⁺ , SO ₄ ²⁻ , TOC
2290	MALACKY	2022	1,04 B	3,33 A	5,77 A	1,02 B	26,31 A	2,87 A	1,36 A	0,89 C	C	As
2690	MALACKY-	2022	1,05 B	1,15 A	1,49 A	0,9 B	25 A	7,48 A	0,85 C	2,12 A	C	TOC
2790	MALACKY KOZANEK	2021	2,65 A	12 A	6,61 A	3,33 A	100 A	4,64 A	7,5 A	1,09 B	B	As
		2022	3,42 A	12 A	44,64 A	5,55 A	100 A	5,21 A	7,5 A	0,91 B	B	As
7490	BILKOVE HUMENCE	2021	2,64 A	2,72 A	160,25 A	25 A	100 A	12,56 A	2,5 A	40 A	A	

č. objektu	lokalita	rok	vodivosť	CHSK _{Mn}	Cl ⁻	NH ₄ ⁺	NO ₃ ⁻	SO ₄ ²⁻	TOC	As	bil.stav	ukazovateľ
		2022	2,72 A	1,76 A	59,52 A	50 A	14,28 A	12,07 A	3,75 A	40 A	A	
10899	LAKSARSKA NOVA	2022	3,04 A	1,66 A	36,76 A	7,14 A	3,62 A	7,53 A	1,15 A	40 A	A	
202190	GAJARY	2022	1,5 A	3,75 A	4,99 A	12,5 A	1,96 A	1,58 A	1,36 A	20 A	A	

QN – 006 Kvartér a neogén SV časti Borskej nížiny

plocha: 134.3 km²

č. objektu	lokalita	rok	vodivosť	CHSK _{Mn}	Cl ⁻	NH ₄ ⁺	NO ₃ ⁻	SO ₄ ²⁻	TOC	As	bil.stav	ukazovateľ
7099	PLAVECKY PETER	2021	6,29 A	2,5 A	100,8 A	6,25 A	12,1 A	6 A	1,66 A	40 A	A	
		2022	5,89 A	1,3 A	113,63 A	5 A	11,11 A	6,96 A	1,57 A	40 A	A	
207390	PLAVECKY MIKULAS	2021	1,37 A	2,4 A	8,02 A	12,5 A	11,09 A	3,98 A	1,2 A	13,33 A	A	
		2022	1,45 A	4,44 A	4 A	11,11 A	8,26 A	2,93 A	1,36 A	40 A	A	

QN – 007 Kvartér a neogén J a JV časti Borskej nížiny

plocha: 386.0 km²

č. objektu	lokalita	rok	vodivosť	CHSK _{Mn}	Cl ⁻	NH ₄ ⁺	NO ₃ ⁻	SO ₄ ²⁻	TOC	As	bil.stav	ukazovateľ
3090	ZOHOR	2022	0,97 B	0,82 C	1,76 A	2,43 A	2,72 A	1,17 A	0,51 C	1,43 A	C	CHSK _{Mn} , TOC
3190	DEVINSKE JAZERO	2021	2,24 A	2,6 A	10,06 A	5,26 A	6,37 A	5,64 A	1,71 A	4,54 A	A	
		2022	1,97 A	3 A	9,05 A	14,28 A	2,19 A	3,92 A	1,57 A	40 A	A	
3290	STUPAVA	2021	1,2 A	4,28 A	5,3 A	10 A	1,02 B	1,81 A	1,81 A	2,77 A	B	NO ₃ ⁻
		2022	1,15 A	4,28 A	4,92 A	16,66 A	1,12 A	1,89 A	1,76 A	3,03 A	A	
6890	DEVINSKA NOVA VES	2022	2,29 A	5,71 A	1,88 A	1,96 A	100 A	44,24 A	2,14 A	40 A	A	
6990	SOLOSNICA	2021	1,52 A	3,75 A	17,3 A	20 A	0,85 C	4,46 A	4,28 A	40 A	C	NO ₃ ⁻
		2022	1,52 A	12 A	14,04 A	7,69 A	1,07 B	5,33 A	4,61 A	40 A	B	NO ₃ ⁻
206790	PERNEK	2021	3,62 A	7,05 A	70,52 A	25 A	4,21 A	4,78 A	4,28 A	40 A	A	
		2022	4,52 A	12 A	104,16 A	7,69 A	7,35 A	4,99 A	4,28 A	40 A	A	
209390	LAB	2022	2,34 A	12 A	22,52 A	4,76 A	1,03 B	2,18 A	2,3 A	40 A	B	NO ₃ ⁻
209490	VYSOKA PRI MORAVE	2021	1,22 A	5,71 A	4,11 A	11,11 A	4,11 A	1 B	2,4 A	40 A	B	SO ₄ ²⁻
		2022	1,16 A	6 A	3,93 A	8,33 A	2,87 A	1 B	2,4 A	40 A	B	SO ₄ ²⁻

MG – 008 Kryštalínikum a mezozium JZ časti Malých Karpát

plocha: 123.9 km²

č. objektu	lokalita	rok	vodivosť	CHSK _{Mn}	Cl ⁻	NH ₄ ⁺	NO ₃ ⁻	SO ₄ ²⁻	TOC	As	bil.stav	ukazovateľ
14399	BORINKA-PROPADLE	2021	2,57 A	7,5 A	208,33 A	12,5 A	4,28 A	3,03 A	4,8 A	25 A	A	
		2022	2,69 A	3,75 A	227,27 A	16,66 A	5 A	3,25 A	3,33 A	16,66 A	A	
554199	PERNEK	2021	0,89 C	3,58 A	42,19 A	2,46 A	100 A	0,35 C	14,11 A	40 A	C	vodivosť, SO ₄ ²⁻
		2022	1,09 B	12 A	44,64 A	2,08 A	100 A	0,35 C	15 A	40 A	C	SO ₄ ²⁻

QG – 009 Kryštalínikum Západných Tatier a kvartér východnej časti Liptovskej kotliny

plocha: 454.3 km²

č. objektu	lokalita	rok	vodivosť	CHSK _{Mn}	Cl ⁻	NH ₄ ⁺	NO ₃ ⁻	SO ₄ ²⁻	TOC	As	bil.stav	ukazovateľ
34690	VAVRISOVO	2021	7,71 A	12 A	43,66 A	25 A	1,96 A	24,23 A	4,61 A	40 A	A	
		2022	8,75 A	12 A	46,72 A	10 A	3,89 A	23,8 A	4,28 A	40 A	A	
554290	PRIBYLINA K-42	2022	3,53 A			6,25 A	100 A				A	
611199	HRDOVO	2021	24,08 A	12 A	500 A	16,66 A	32,46 A	40,84 A	7,5 A	10 A	A	
		2022	23,54 A	12 A	500 A	50 A	38,46 A	54,34 A	6 A	12,5 A	A	
611990	VAVRISOVO	2021	5,8 A	3,52 A	47,52 A	11,11 A	2,07 A	15,52 A	2,4 A	40 A	A	
		2022	5,68 A	6,31 A	43,47 A	5,26 A	2,25 A	18,86 A	3,15 A	40 A	A	

M – 010 Mezozium chočského príkrovu SV svahov Nízkyh Tatier a Kozích chrbtov

plocha: 229.8 km²

č. objektu	lokality	rok	vodivosť	CHSK _{Mn}	Cl ⁻	NH ₄ ⁺	NO ₃ ⁻	SO ₄ ²⁻	TOC	As	bil.stav	ukazovateľ
31099	SVARIN	2021	4,32 A	5,1 A	303,95 A	19,04 A	11,45 A	14,47 A	2,66 A	32 A	A	
		2022	4,49 A	4,28 A	227,27 A	8,33 A	10,86 A	15,72 A	2,14 A	40 A	A	
35299	LIPT. JAN - PRI STANIS. JAS. 1	2021	3,68 A	9,6 A	294,11 A	14,81 A	10,21 A	21,97 A	3,87 A	25,8 A	A	
		2022	3,62 A	6 A	500 A	25 A	10,86 A	22,12 A	3,75 A	40 A	A	

MG – 011 Paleozoikum a mezozoikum-melafýrová séria SV svahov N. Tatier a kozích chrbtov

plocha: 162.2 km²

č. objektu	lokality	rok	vodivosť	CHSK _{Mn}	Cl ⁻	NH ₄ ⁺	NO ₃ ⁻	SO ₄ ²⁻	TOC	As	bil.stav	ukazovateľ
32999	VYSNA SUNAVA, ZEMSKA C. 1	2021	2,45 A	12 A	77,82 A	25 A	12,99 A	5,86 A	4,28 A	40 A	A	
		2022	2,41 A	12 A	65,78 A	7,14 A	13,15 A	6,2 A	3,33 A	40 A	A	

MG – 012 Mezozoikum série Veľkého Boku – západná a stredná časť a príslušné kryštalinikum SV svahov Nízkych Tatier

plocha: 116.2 km²

č. objektu	lokality	rok	vodivosť	CHSK _{Mn}	Cl ⁻	NH ₄ ⁺	NO ₃ ⁻	SO ₄ ²⁻	TOC	As	bil.stav	ukazovateľ
31499	MALUZINA	2021	7,41 A	12 A	500 A	40 A	15,18 A	26,89 A	7,5 A	40 A	A	
		2022	7,5 A	12 A	500 A	25 A	16,12 A	27,17 A	10 A	40 A	A	
32899	VYSNA BOCA	2021	10,63 A	12 A	400 A	40 A	19,45 A	44,32 A	17,14 A	4,59 A	A	
		2022	1,46 A	12 A	500 A	25 A	22,72 A	48,07 A	4,28 A	6,25 A	A	

MG – 013 Mezozoikum série Veľkého Boku – V časť a príslušné kryštalinikum SV svahov Nízkych Tatier

plocha: 97.1 km²

č. objektu	lokality	rok	vodivosť	CHSK _{Mn}	Cl ⁻	NH ₄ ⁺	NO ₃ ⁻	SO ₄ ²⁻	TOC	As	bil.stav	ukazovateľ
30199	LIPT. TEPLICKA	2022	6,87 A	12 A	500 A	28,57 A	11,76 A	34,01 A	17,14 A	40 A	A	
30299	LIPT. TEPLICKA	2022	7,05 A	12 A	500 A	11,76 A	12,65 A	35,97 A	30 A	40 A	A	
30399	LIPT. TEPLICKA	2021	4,13 A	12 A	500 A	36,36 A	9,37 A	32,78 A	7,5 A	40 A	A	
		2022	4,18 A	12 A	500 A	4,54 A	10,2 A	32,46 A	7,5 A	40 A	A	
30699	LIPT. TEPLICKA-TEPLICA	2022	4,29 A	12 A	500 A	100 A	15,15 A	35,71 A	60 A	40 A	A	
212399	VIKARTOVCE	2022	4,68 A			14,28 A	14,49 A				A	

MG – 014 Mezozoikum a príslušné kryštalinikum Západných Tatier v povodí Oravy

plocha: 86.3 km²

č. objektu	lokality	rok	vodivosť	CHSK _{Mn}	Cl ⁻	NH ₄ ⁺	NO ₃ ⁻	SO ₄ ²⁻	TOC	As	bil.stav	ukazovateľ
523190	ZUBEREC	2021	9,5 A	9,6 A	253,16 A	11,11 A	9,97 A	26,86 A	7,05 A	12,12 A	A	
		2022	12,91 A	12 A	500 A	100 A	13,51 A	34,24 A	6 A	11,11 A	A	

M – 015 Mezozoikum východnej časti Chočských vrchov

plocha: 94.6 km²

QP – 016 Paleogén a kvartér západnej a strednej časti Liptovskej kotliny

plocha: 346.6 km²

č. objektu	lokality	rok	vodivosť	CHSK _{Mn}	Cl ⁻	NH ₄ ⁺	NO ₃ ⁻	SO ₄ ²⁻	TOC	As	bil.stav	ukazovateľ
37499	PROSIEK - PROSIEC. DOL.	2021	3,45 A	3 A	500 A	50 A	8,46 A	17,98 A	2,72 A	40 A	A	
		2022	3,31 A	6 A	500 A	50 A	9,61 A	19,37 A	2,72 A	40 A	A	
40999	LAZISKO	2021	3,66 A	2,5 A	500 A	25 A	6,75 A	21,36 A	1,87 A	40 A	A	
		2022	3,64 A	3,33 A	500 A	100 A	7,81 A	24,27 A	1,87 A	40 A	A	
248690	LIPT. MIKULAS-PALUDZKA	2021	1,73 A	7,05 A	6,29 A	33,33 A	2 A	7,63 A	2,72 A	10,52 A	A	
		2022	1,81 A	6,31 A	8,25 A	7,69 A	3,13 A	10,5 A	2,6 A	12,5 A	A	

č. objektu	lokality	rok	vodivost'	CHSK _{Mn}	Cl ⁻	NH ₄ ⁺	NO ₃ ⁻	SO ₄ ²⁻	TOC	As	bil.stav	ukazovateľ
760690	VLACHY-VLASKY	2022	0,93 B	3,33 A	30,48 A	100 A	2,1 A	0,75 C	1,66 A	7,69 A	C	SO ₄ ²⁻

MG – 017 Mezozoikum a kryštalinikum SZ svahov Nízkyh Tatier

plocha: 294.1 km²

č. objektu	lokality	rok	vodivost'	CHSK _{Mn}	Cl ⁻	NH ₄ ⁺	NO ₃ ⁻	SO ₄ ²⁻	TOC	As	bil.stav	ukazovateľ
40299	DEMANOVSKA DOLINA - ZADNA	2021	27,23 A	12 A	500 A	16 A	18,93 A	50,27 A	8 A	12,9 A	A	
		2022	28,8 A	12 A	500 A	16,66 A	27,77 A	1250 A	4,28 A	12,5 A	A	
40699	LIPT. LUZNA-U	2022	3,1 A	12 A	59,52 A	12,5 A	8,4 A	3,74 A	12 A	40 A	A	
41499	PART. LUPCA	2021	0,61 C	9,6 A	72,78 A	22,22 A	12,21 A	0,21 C	3,42 A	25,8 A	C	vodivost', SO ₄ ²⁻
		2022	0,56 C	12 A	65,78 A	6,66 A	13,15 A	0,19 C	3,33 A	40 A	C	vodivost', SO ₄ ²⁻
43599	LUDROVA - MOCIDLA	2021	1,97 A	12 A	175,13 A	13,79 A	8,43 A	4,85 A	5,71 A	10,81 A	A	
		2022	1,91 A	12 A	192,3 A	16,66 A	9,8 A	4,67 A	6 A	11,11 A	A	
213599	PORAC	2022	1,95 A			25 A	1,2 A				A	

PQ – 018 Paleogén Oravskej vrchoviny. Skorušiny a časti Oravskej Magury

plocha: 591.0 km²

č. objektu	lokality	rok	vodivost'	CHSK _{Mn}	Cl ⁻	NH ₄ ⁺	NO ₃ ⁻	SO ₄ ²⁻	TOC	As	bil.stav	ukazovateľ
43190	LIESEK	2021	1,1 A	3 A	1,89 A	25 A	2,84 A	3,79 A	2,3 A	12,5 A	A	
		2022	1,95 A	12 A	5,84 A	12,5 A	9,8 A	4,57 A	3,75 A	16,66 A	A	
43490	PODBIEL	2021	1,89 A	2 A	12,62 A	25 A	1,37 A	9,17 A	1,87 A	18,18 A	A	
		2022	1,84 A	4,28 A	8,46 A	8,33 A	1,62 A	10,14 A	2 A	26,66 A	A	
242990	VELICNA	2021	1,69 A	1,3 A	6,58 A	25 A	1,8 A	5,97 A	2,14 A	26,66 A	A	
		2022	1,45 A	6,31 A	5,05 A	11,11 A	2,71 A	5,88 A	2,22 A	40 A	A	
243590	PARNICA	2021	1,37 A	2,72 A	8,51 A	25 A	1,34 A	12,01 A	2,14 A	40 A	A	
		2022	1,39 A	5 A	6,82 A	16,66 A	1,52 A	11,82 A	2,22 A	40 A	A	
521190	ORAV.BIELY POTOK P-11	2021	3,72 A	12 A	500 A	0,54 C	100 A	10,33 A	10 A	40 A	C	NH ₄ ⁺
		2022	3,65 A	12 A	500 A	0,58 C	100 A	10,2 A	10 A	40 A	C	NH ₄ ⁺

M – 019 Mezozoikum západnej časti Chočských vrchov

plocha: 142.4 km²

č. objektu	lokality	rok	vodivost'	CHSK _{Mn}	Cl ⁻	NH ₄ ⁺	NO ₃ ⁻	SO ₄ ²⁻	TOC	As	bil.stav	ukazovateľ
41799	LUCKY	2021	3,49 A	12 A	354,6 A	20 A	6,05 A	12,78 A	6,31 A	40 A	A	
		2022	3,49 A	12 A	500 A	100 A	6,41 A	13,44 A	6 A	40 A	A	
42999	VALAS.DUBOVA	2022	0,62 C			22,22 A	6,02 A				C	vodivost'

M – 020 Mezozoikum S časti Veľkej Fatry

plocha: 184.4 km²

č. objektu	lokality	rok	vodivost'	CHSK _{Mn}	Cl ⁻	NH ₄ ⁺	NO ₃ ⁻	SO ₄ ²⁻	TOC	As	bil.stav	ukazovateľ
39599	LUBOCHNA-SALATIN C.4	2022	3,1 A	3,75 A	500 A	100 A	8,33 A	20 A	2,5 A	40 A	A	

G – 021 Kryštalinikum Veľkej Fatry

plocha: 64.3 km²

M – 022 Mezozoikum Veľkej Fatry v oblasti medzi Smrekovicou a Ploskou

plocha: 154.0 km²

č. objektu	lokality	rok	vodivost'	CHSK _{Mn}	Cl ⁻	NH ₄ ⁺	NO ₃ ⁻	SO ₄ ²⁻	TOC	As	bil.stav	ukazovateľ
67599	NECPALY - LASCE	2021	2,52 A	9,6 A	500 A	57,14 A	9,74 A	5,32 A	3,87 A	40 A	A	
		2022	2,52 A	12 A	500 A	16,66 A	10,2 A	5,78 A	3,75 A	40 A	A	

M – 023 Mezozoikum chočského príkrovu JZ časti Veľkej Fatryplocha: 228.3 km²

č. objektu	lokality	rok	vodivosť	CHSK _{Mn}	Cl ⁻	NH ₄ ⁺	NO ₃ ⁻	SO ₄ ²⁻	TOC	As	bil.stav	ukazovateľ
61399	CREMOSNE-VYVER Z	2022	2,31 A	2,14 A	7,57 A	16,66 A	8,62 A	25,77 A	1,87 A	40 A	A	
61899	RAKSA-CIBULOVA	2022	2,54 A	12 A	500 A	20 A	10,75 A	11,87 A	5,45 A	40 A	A	
65499	BLATNICA	2022	3,24 A	12 A	500 A	5,55 A	8,19 A	11,33 A	3,33 A	40 A	A	
65699	BLATNICA	2022	3,19 A	4 A	500 A	5,88 A	8,92 A	21,09 A	1,93 A	40 A	A	
66299	BLATNICA	2022	3,14 A	8 A	500 A	6,66 A	10,1 A	19,92 A	2,72 A	40 A	A	
66399	BLATNICA	2022	3,47 A	1,93 A	500 A	7,69 A	7,75 A	27,62 A	1,36 A	40 A	A	
66699	BLATNICA-DOLNE VETERNE	2022	4,61 A	12 A	500 A	25 A	13,51 A	29,76 A	4,28 A	40 A	A	
67499	BLATNICA	2021	3,22 A	4,36 A	500 A	36,36 A	8,4 A	21,45 A	2,92 A	40 A	A	
		2022	3,18 A	3,33 A	500 A	12,5 A	9,43 A	25,25 A	2,5 A	40 A	A	
132599	HARMANEC - ZALAMANA 1	2021	3,44 A	4,61 A	500 A	17,39 A	11,14 A	39,74 A	2,55 A	40 A	A	
		2022	3,4 A	6 A	500 A	100 A	8,92 A	47,16 A	2,3 A	40 A	A	

M – 024 Mezozoikum Veľkej Fatry a Nízkyh Tatier medzi Ploskou a v okolí Donovalovplocha: 203.1 km²

č. objektu	lokality	rok	vodivosť	CHSK _{Mn}	Cl ⁻	NH ₄ ⁺	NO ₃ ⁻	SO ₄ ²⁻	TOC	As	bil.stav	ukazovateľ
38299	L.REVUCE	2021	2,95 A	5,71 A	500 A	26,66 A	10,25 A	10,24 A	3,52 A	40 A	A	
		2022	3,14 A	12 A	500 A	25 A	11,62 A	14,97 A	2,72 A	40 A	A	
127999	MOTYCKY,pr.GEN.CUNDERLIKA	2021	2,47 A	12 A	60,82 A	14,28 A	11,96 A	4,36 A	6,66 A	40 A	A	
		2022	2,42 A	12 A	58,13 A	100 A	11,9 A	4,42 A	6 A	40 A	A	

PN – 025 Paleogén povodia Bielej Oravy a neogén Oravskej kotlinyplocha: 800.9 km²

č. objektu	lokality	rok	vodivosť	CHSK _{Mn}	Cl ⁻	NH ₄ ⁺	NO ₃ ⁻	SO ₄ ²⁻	TOC	As	bil.stav	ukazovateľ
45299	NAMESTOVO- pr.JEDLICNIK	2021	3,6 A	12 A	166,66 A	25 A	7,59 A	8,22 A	4,28 A	40 A	A	
		2022	3,39 A	12 A	166,66 A	25 A	7,93 A	8,5 A	6 A	40 A	A	
45799	HLADOVKA	2021	3,16 A	12 A	30,48 A	25 A	1,93 A	23,36 A	10 A	40 A	A	
		2022	3,11 A	5 A	33,33 A	100 A	2,09 A	26,88 A	5 A	40 A	A	
514490	BOBROV	2021	3,32 A	4,28 A	500 A	0,05 C	100 A	56,3 A	3,33 A	3,22 A	C	NH ₄ ⁺
		2022	3,44 A	12 A	500 A	0,06 C	100 A	208,33 A	3,33 A	5,55 A	C	NH ₄ ⁺

MP – 026 Mezozoikum bradlového pásma a paleogén v povodí Varínkyplocha: 169.2 km²

č. objektu	lokality	rok	vodivosť	CHSK _{Mn}	Cl ⁻	NH ₄ ⁺	NO ₃ ⁻	SO ₄ ²⁻	TOC	As	bil.stav	ukazovateľ
34790	ZLIEN	2021	2,36 A	3,75 A	500 A	50 A	6,26 A	24,5 A	2,3 A	40 A	A	
		2022	1,97 A	12 A	58,13 A	4,16 A	6,25 A	11,9 A	3,75 A	40 A	A	

MG – 027 Mezozoikum a kryštalinikum Krivánskej Fatryplocha: 244.5 km²

č. objektu	lokality	rok	vodivosť	CHSK _{Mn}	Cl ⁻	NH ₄ ⁺	NO ₃ ⁻	SO ₄ ²⁻	TOC	As	bil.stav	ukazovateľ
68099	BELA - PRI VARINE	2021	3,99 A	8,27 A	500 A	16 A	16,57 A	8,7 A	5 A	6,34 A	A	
		2022	5,7 A	4,28 A	500 A	50 A	19,23 A	39,68 A	3,33 A	10 A	A	

PQ – 028 Paleogén a kvartér povodia Kysuceplocha: 994.4 km²

č. objektu	lokality	rok	vodivosť	CHSK _{Mn}	Cl ⁻	NH ₄ ⁺	NO ₃ ⁻	SO ₄ ²⁻	TOC	As	bil.stav	ukazovateľ
41190	BRODNO	2021	1,34 A	7,05 A	3,29 A	40 A	1,63 A	8,97 A	5,45 A	40 A	A	
		2022	1,31 A	12 A	2,47 A	16,66 A	1,77 A	9,12 A	5,45 A	40 A	A	

č. objektu	lokalita	rok	vodivosť	CHSK _{Mn}	Cl ⁻	NH ₄ ⁺	NO ₃ ⁻	SO ₄ ²⁻	TOC	As	bil.stav	ukazovateľ
41690	DUNAJOV	2021	2,52 A	2,3 A	27,17 A	14,28 A	38,61 A	23,25 A	1,93 A	40 A	A	
		2022	3,39 A	2,6 A	166,66 A	8,33 A	25,64 A	60,24 A	1,57 A	40 A	A	
42090	KRASNO NAD KYSUCOU	2021	2,37 A	7,05 A	18,24 A	28,57 A	23,58 A	12,65 A	2,6 A	40 A	A	
		2022	2,54 A	12 A	13,88 A	10 A	16,94 A	11,96 A	3,33 A	40 A	A	
42190	CADCA	2021	1,45 A	5,71 A	1,69 A	25 A	3,66 A	6,93 A	4,61 A	21,05 A	A	
		2022	1,32 A	8 A	2,06 A	12,5 A	3,8 A	7,4 A	4 A	40 A	A	
42390	CIERNE	2021	3,28 A	2,3 A	19,3 A	7,69 A	100 A	12,28 A	1,93 A	40 A	A	
		2022	3,45 A	2,72 A	16,02 A	4,34 A	52,63 A	11,84 A	1,62 A	40 A	A	
42690	RAKOVA - ZAPAD	2021	2,19 A	1,17 A	8,75 A	1,61 A	100 A	5,78 A	0,92 B	2,19 A	B	TOC
		2022	2,38 A	0,71 C	21,92 A	2,63 A	100 A	9,19 A	0,6 C	4,25 A	C	CHSK _{Mn} , TOC
73599	N.BYSTRICA-ZA MEDVEDIM	2022	4,9 A	12 A	500 A	50 A	23,8 A	14,36 A	5 A	40 A	A	
241490	KYSUCKE NOVE MESTO	2021	1,76 A	6,31 A	49,6 A	25 A	4,97 A	6,39 A	3,33 A	40 A	A	
		2022	1,62 A	12 A	25,64 A	7,69 A	3,47 A	10,41 A	3,52 A	40 A	A	
242790	PODVYSOKA	2021	3,13 A	0,93 B	500 A	25 A	49,01 A	20,83 A	0,81 C	20 A	C	TOC
		2022	3,01 A	1,07 B	500 A	5,55 A	45,45 A	19,53 A	0,93 B	40 A	B	CHSK _{Mn} , TOC

QP – 029 Paleogén a kvartér časti Žilinskej kotliny a V okraja Súľovských vrchov

plocha: 227.7 km²

č. objektu	lokalita	rok	vodivosť	CHSK _{Mn}	Cl ⁻	NH ₄ ⁺	NO ₃ ⁻	SO ₄ ²⁻	TOC	As	bil.stav	ukazovateľ
31690	ZILINA	2021	1,49 A	12 A	4,73 A	20 A	1,72 A	4,96 A	5 A	10 A	A	
		2022	1,52 A	12 A	5,19 A	8,33 A	1,76 A	5,63 A	4,28 A	12,5 A	A	
32190	MOJS	2021	1,99 A	12 A	33,99 A	50 A	2,36 A	9,52 A	3,75 A	11,11 A	A	
		2022	2,02 A	12 A	27,47 A	6,25 A	5,68 A	9,25 A	3 A	13,33 A	A	
32990	KRASNANY	2021	1,49 A	7,05 A	7,48 A	18,18 A	2,07 A	14,88 A	3,15 A	26,66 A	A	
		2022	1,6 A	12 A	11,99 A	2,12 A	2,65 A	14,32 A	2,85 A	23,52 A	A	
231990	TEPLICKA NAD VAHOM	2021	1,41 A	12 A	6,45 A	33,33 A	2,14 A	8,15 A	4 A	40 A	A	
		2022	1,41 A	5,71 A	7,54 A	10,52 A	2,2 A	8,21 A	4,61 A	40 A	A	

MG – 030 Kryštalinikum a mezozoikum SZ svahov Lúčanskej Fatry

plocha: 78.2 km²

č. objektu	lokalita	rok	vodivosť	CHSK _{Mn}	Cl ⁻	NH ₄ ⁺	NO ₃ ⁻	SO ₄ ²⁻	TOC	As	bil.stav	ukazovateľ
75199	STRANAVY	2022	2,98 A			40 A	4,69 A				A	
79599	KUNERAD	2021	15,14 A	7,05 A	500 A	21,05 A	6,3 A	22,83 A	4,61 A	40 A	A	
		2022	14,57 A	7,05 A	500 A	5,55 A	7,81 A	23,47 A	6 A	40 A	A	
551590	MARTIN-MART.HOLE K-15	2022	31,13 A			10 A	43,47 A				A	

MG – 031 Kryštalinikum a mezozoikum SV časti Lúčanskej Fatry

plocha: 84.6 km²

M – 032 Mezozoikum J časti Lúčanskej Fatry

plocha: 212.5 km²

č. objektu	lokalita	rok	vodivosť	CHSK _{Mn}	Cl ⁻	NH ₄ ⁺	NO ₃ ⁻	SO ₄ ²⁻	TOC	As	bil.stav	ukazovateľ
63099	VRICKO	2022	1,92 A			16,66 A	43,47 A				A	
64299	KLASTOR POD ZNIEVOM	2021	2,57 A	1,79 A	108,22 A	9,09 A	10,01 A	15,47 A	2,6 A	40 A	A	
		2022	2,79 A	3,75 A	500 A	25 A	10,2 A	16,89 A	2,5 A	40 A	A	
77799	RAJECKA LESNA	2021	2,82 A	12 A	500 A	23,52 A	15,71 A	5,37 A	5 A	40 A	A	
		2022	3,1 A	12 A	500 A	16,66 A	100 A	8,01 A	10 A	40 A	A	
77999	KAMENNA PORUBA - HORNÝ	2021	2,78 A	12 A	500 A	22,22 A	11,11 A	13,07 A	3,87 A	40 A	A	
		2022	2,62 A	12 A	500 A	25 A	11,11 A	13,66 A	10 A	40 A	A	
105299	KLACNO	2022	3,03 A			9,09 A	11,23 A				A	

Q-P – 033 Paleogén, neogén a kvartér Turčianskej kotlinyplocha: 437.7 km²

č. objektu	lokality	rok	vodivosť	CHSK _{Mn}	Cl ⁻	NH ₄ ⁺	NO ₃ ⁻	SO ₄ ²⁻	TOC	As	bil.stav	ukazovateľ
45890	KOSTANY	2021	2,37 A	8 A	88,96 A	25 A	2,71 A	7,38 A	2,85 A	40 A	A	
		2022	2,52 A	7,05 A	83,33 A	7,14 A	8,06 A	6,87 A	4,28 A	40 A	A	
46390	KLASTOR POD ZNIEVOM	2021	2,21 A	12 A	85,91 A	25 A	4,69 A	15,52 A	4 A	40 A	A	
		2022	2,38 A	6,31 A	96,15 A	11,11 A	4,9 A	14,88 A	3,75 A	40 A	A	
46690	IVANCINA	2021	1,69 A	7,05 A	6,87 A	66,66 A	0,96 B	10,98 A	2,85 A	40 A	B	NO ₃ ⁻
		2022	1,46 A	5,71 A	4,29 A	7,69 A	0,96 B	10,35 A	3,15 A	40 A	B	NO ₃ ⁻
46790	BLAZOVCE	2021	1,78 A	5,21 A	16,89 A	50 A	6,19 A	8,66 A	2,72 A	40 A	A	
		2022	2,02 A	6,31 A	17,06 A	7,14 A	6,28 A	7,98 A	2,72 A	40 A	A	
61499	JAZERNICA	2021	1,74 A	2,67 A	18,24 A	12,5 A	1,2 A	192,3 A	1,57 A	40 A	A	
		2022	1,71 A	4,28 A	17,12 A	12,5 A	1,71 A	9,92 A	2 A	40 A	A	
245590	MARTIN - PRIEKOPA	2021	1,29 A	7,05 A	2,34 A	25 A	2,48 A	6,32 A	3,33 A	26,66 A	A	
		2022	1,04 B	4,61 A	1,32 A	16,66 A	2,19 A	6,09 A	3 A	40 A	B	vodivosť
246090	PRIBOVCE- BENICE	2021	1,94 A	3,42 A	45,08 A	16,66 A	1,76 A	4,88 A	4,61 A	26,66 A	A	
		2022	1,86 A	12 A	46,72 A	9,09 A	2,16 A	4,84 A	4,28 A	40 A	A	
246290	LEZIACHOV	2021	1,36 A	12 A	9,7 A	0,21 C	0,65 C	8,56 A	3 A	5,88 A	C	NH ₄ ⁺ , NO ₃ ⁻
		2022	1,07 B	2,3 A	27,77 A	0,04 C	1,21 A	14,16 A	2,22 A	1,68 A	C	NH ₄ ⁺
610690	DUBOVE	2021	2,86 A	1,71 A	30,52 A	3,22 A	100 A	13,73 A	0,54 C	9,09 A	C	TOC
		2022	2,82 A	2 A	30,67 A	1,92 A	100 A	11,46 A	1,17 A	8,69 A	A	

MP – 034 Paleogén a mezozoikum bradlového pásma Súľovských vrchov a Podmanínskej pahorkatinyplocha: 228.0 km²

č. objektu	lokality	rok	vodivosť	CHSK _{Mn}	Cl ⁻	NH ₄ ⁺	NO ₃ ⁻	SO ₄ ²⁻	TOC	As	bil.stav	ukazovateľ
80999	POVAZSKA TEPLA	2021	2,36 A	12 A	65,1 A	50 A	14,79 A	12,37 A	7,5 A	12,5 A	A	
		2022	2,3 A	12 A	65,78 A	50 A	20,83 A	11,68 A	60 A	12,5 A	A	
81199	KOSTOLEC-OSTRENEC 2	2022	2,34 A	12 A	119,04 A	100 A	14,7 A	14,2 A	7,5 A	40 A	A	
84099	JABLONOVE	2022	1,96 A			5,55 A	20 A				A	

M – 035 Mezozoikum S časti Strážovských vrchovplocha: 257.3 km²

č. objektu	lokality	rok	vodivosť	CHSK _{Mn}	Cl ⁻	NH ₄ ⁺	NO ₃ ⁻	SO ₄ ²⁻	TOC	As	bil.stav	ukazovateľ
77299	FACKOV-RAZTOKY C.1	2022	2,91 A	12 A	500 A	25 A	9,25 A	23,8 A	4,28 A	40 A	A	
81899	DOM.LEHOTA-MLYN NA BARIN.	2021	2,83 A	7,5 A	373,13 A	18,18 A	8,61 A	22,37 A	5,21 A	40 A	A	
		2022	2,84 A	12 A	500 A	25 A	9,8 A	28,08 A	4,28 A	40 A	A	
88199	PRUZINA-BYKY	2021	3,09 A	7,74 A	500 A	18,18 A	7,07 A	24,44 A	2,66 A	40 A	A	
		2022	3,15 A	3,75 A	500 A	8,33 A	6,75 A	33,78 A	3 A	40 A	A	
89099	MOJTIN-UHLISKA C.1	2021	2,15 A	12 A	44,64 A	16,66 A	4,38 A	17 A	3,87 A	40 A	A	
		2022	2,23 A	12 A	50 A	12,5 A	5 A	19,84 A	7,5 A	40 A	A	

M – 036 Mezozoikum SZ časti Strážovských vrchovplocha: 167.6 km²**QN – 037 Kvartér a neogén Ilavskej kotliny**plocha: 137.5 km²

č. objektu	lokality	rok	vodivosť	CHSK _{Mn}	Cl ⁻	NH ₄ ⁺	NO ₃ ⁻	SO ₄ ²⁻	TOC	As	bil.stav	ukazovateľ
16590	KLUCOVE	2021	1,42 A	12 A	9,1 A	25 A	1,14 A	5,44 A	3,75 A	40 A	A	
		2022	1,4 A	12 A	10,35 A	12,5 A	1,25 A	5,35 A	6 A	40 A	A	
16690	DUBNICA NAD VAHOM	2021	1,45 A	12 A	8,23 A	100 A	1,86 A	5,23 A	4,61 A	40 A	A	
		2022	1,43 A	12 A	8,81 A	12,5 A	3,26 A	5,39 A	8,57 A	40 A	A	

č. objektu	lokalita	rok	vodivosť	CHSK _{Mn}	Cl ⁻	NH ₄ ⁺	NO ₃ ⁻	SO ₄ ²⁻	TOC	As	bil.stav	ukazovateľ
16790	TRENCIANSKA TEPLA	2022	1,75 A	12 A	18,58 A	2,04 A	35,71 A	5,17 A	4,28 A	8,69 A	A	
17090	PRILES	2021	1,73 A	12 A	13,33 A	20 A	1,86 A	6,03 A	5,45 A	40 A	A	
		2022	1,74 A	12 A	19,15 A	7,69 A	2 A	6,51 A	10,9 A	40 A	A	
18890	TUCHYNA	2022	1,71 A	12 A	11,28 A	5,55 A	3 A	8,51 A	4 A	40 A	A	
18990	SAVCINA	2021	2,16 A	12 A	22,87 A	16,66 A	5,12 A	11,28 A	4 A	40 A	A	
		2022	1,9 A	12 A	13,4 A	9,09 A	4,97 A	10,02 A	6,66 A	40 A	A	
19490	DOBRA PRAMEN-JAZERO	2021	1,68 A	12 A	13,77 A	20 A	2,86 A	3,78 A	6 A	16,66 A	A	
		2022	1,67 A	12 A	14,24 A	40 A	2,82 A	3,72 A	5 A	16,66 A	A	
19590	PUCHOV	2021	1,51 A	12 A	9,09 A	16,66 A	1,19 A	5,5 A	2,85 A	15,38 A	A	
		2022	1,43 A	12 A	5,32 A	5,26 A	1,06 B	5,91 A	3,15 A	26,66 A	B	NO ₃ ⁻
217190	HOROVCE	2021	1,68 A	12 A	9,84 A	14,28 A	1,76 A	5,88 A	5 A	40 A	A	
		2022	1,7 A	12 A	10,2 A	11,11 A	1,9 A	5,98 A	4,61 A	40 A	A	
217590	BELUSA	2022	2,1 A	12 A	22,12 A	11,11 A	3,62 A	8,29 A	4,61 A	40 A	A	
217790	HORENICKA HORKA	2022	1,45 A	12 A	7,72 A	8,33 A	6,66 A	5,66 A	3,33 A	40 A	A	
217890	DOLNE KOCKOVCE	2021	1,26 A	4,61 A	5,61 A	16,66 A	0,85 C	5,35 A	2,3 A	9,52 A	C	NO ₃ ⁻
		2022	1,21 A	5,45 A	3,91 A	2,85 A	1,23 A	6,11 A	2,6 A	8,33 A	A	

Q-M – 038 Kvartér Trenčianskej kotliny a príslušné mezozoikum Trenčianskej vrchoviny

plocha: 108.5 km²

č. objektu	lokalita	rok	vodivosť	CHSK _{Mn}	Cl ⁻	NH ₄ ⁺	NO ₃ ⁻	SO ₄ ²⁻	TOC	As	bil.stav	ukazovateľ
15890	CHOCHOLNA-VELCICE	2022	1,53 A	12 A	9,72 A	7,14 A	1,77 A	5,49 A	4,61 A	40 A	A	
16090	VELKE BIEROVCE	2021	1,25 A	12 A	6,64 A	8,33 A	0,82 C	2,77 A	3 A	40 A	C	NO ₃ ⁻
		2022	1,2 A	12 A	6,09 A	8,33 A	0,9 B	2,75 A	2,5 A	40 A	B	NO ₃ ⁻
91699	KUBRICA-KALINKY C.1	2022	2,31 A	12 A	500 A	25 A	5,49 A	12,62 A	6 A	40 A	A	

Q – 039 Kvartér Bytčianskej kotliny

plocha: 50.1 km²

č. objektu	lokalita	rok	vodivosť	CHSK _{Mn}	Cl ⁻	NH ₄ ⁺	NO ₃ ⁻	SO ₄ ²⁻	TOC	As	bil.stav	ukazovateľ
19190	PLEVNIK-DRIENOVE	2022	1,39 A	12 A	6,26 A	4 A	1,59 A	7,68 A	3,75 A	40 A	A	
19290	PREDMIER	2022	2,26 A	12 A	11,08 A	6,25 A	9,25 A	10,89 A	4,28 A	40 A	A	
217990	HRABOVE	2021	1,73 A	1,42 A	12,34 A	28,57 A	19,23 A	7,49 A	1,87 A	16,66 A	A	
		2022	2,05 A	1,53 A	10,04 A	20 A	21,73 A	7,1 A	1,57 A	26,66 A	A	
218090	BYTCA	2021	2,04 A	2,6 A	48,35 A	20 A	50 A	14,57 A	1,46 A	40 A	A	
		2022	1,64 A	2,72 A	33,33 A	33,33 A	47,61 A	13,58 A	1,66 A	40 A	A	
218490	KOTESOVA	2022	1,5 A	12 A	27,77 A	5 A	1,95 A	4,21 A	3,52 A	40 A	A	

PM – 040 Paleogén a mezozoikum bradlového pásma Javorníkov a SV časti Bielych Karpát

plocha: 866.9 km²

č. objektu	lokalita	rok	vodivosť	CHSK _{Mn}	Cl ⁻	NH ₄ ⁺	NO ₃ ⁻	SO ₄ ²⁻	TOC	As	bil.stav	ukazovateľ
83499	ZARIECIE-C.1	2022	2,6 A	12 A	192,3 A	12,5 A	12,19 A	7,59 A	15 A	40 A	A	
83799	IHRISTE	2021	1,96 A	12 A	141,24 A	25 A	23,8 A	7,78 A	3,33 A	40 A	A	
		2022	1,93 A	12 A	166,66 A	12,5 A	23,8 A	8,38 A	4,28 A	40 A	A	
84299	MOSTISTE	2022	1,98 A	12 A	156,25 A	2,94 A	17,24 A	10,61 A	6,66 A	40 A	A	
86599	C.KAMEN	2021	3,33 A	12 A	238,09 A	50 A	8,18 A	17,36 A	3,33 A	40 A	A	
		2022	3,36 A	5 A	500 A	10 A	8,47 A	19,53 A	3 A	40 A	A	

PM – 041 Paleogén a mezozoikum bradlového pásma povodia Vlár

plocha: 57.9 km²

PM – 042 Paleogén a mezozoikum bradlového pásma V časti Bielych Karpát a S časti Myjavskej pahorkatiny

plocha: 407.9 km²

PM – 043 Paleogén a mezozoikum bradlového pásma Z časti Bielych Karpátplocha: 255.4 km²

č. objektu	lokalita	rok	vodivosť	CHSK _{Mn}	Cl ⁻	NH ₄ ⁺	NO ₃ ⁻	SO ₄ ²⁻	TOC	As	bil.stav	ukazovateľ
2399	STARA MYJAVA	2021	2,41 A	12 A	183,82 A	100 A	5,28 A	9,92 A	5 A	40 A	A	
		2022	2,35 A	12 A	208,33 A	25 A	6,02 A	10,63 A	5 A	40 A	A	
5099	VRBOVCE	2021	2,14 A	12 A	160,25 A	12,5 A	23,92 A	6,73 A	2,5 A	40 A	A	
		2022	2,02 A	12 A	147,05 A	16,66 A	20,83 A	5,96 A	5 A	40 A	A	
5299	SOBOTISTE	2021	2,09 A	6 A	66,84 A	25 A	8,99 A	6,03 A	2,5 A	40 A	A	
		2022	2,01 A	12 A	60,97 A	25 A	11,9 A	5,66 A	3,75 A	40 A	A	

N-M – 044 Neogén až krieda Myjavskej pahorkatiny JZ od bradlového pásmaplocha: 242.7 km²

č. objektu	lokalita	rok	vodivosť	CHSK _{Mn}	Cl ⁻	NH ₄ ⁺	NO ₃ ⁻	SO ₄ ²⁻	TOC	As	bil.stav	ukazovateľ
3399	BREZ.P.BRADLOM	2021	2,05 A	6 A	89,92 A	100 A	10,98 A	5,09 A	2,3 A	40 A	A	
		2022	2,07 A	12 A	35,21 A	25 A	6,41 A	6,96 A	5 A	40 A	A	
95699	LUBINA	2021	1,82 A	12 A	16,33 A	100 A	3,49 A	6,92 A	3,33 A	40 A	A	
		2022	1,81 A	12 A	22,72 A	50 A	4,27 A	7,33 A	3,75 A	40 A	A	
99899	VADOVCE	2021	1,79 A	12 A	15,92 A	50 A	1,86 A	5,45 A	5 A	40 A	A	
		2022	1,73 A	5 A	16,44 A	25 A	1,96 A	5,6 A	3,75 A	40 A	A	

M – 045 Mezozoikum Čachtických Karpát a časti Bielokarpatského podhoriaplocha: 77.2 km²

č. objektu	lokalita	rok	vodivosť	CHSK _{Mn}	Cl ⁻	NH ₄ ⁺	NO ₃ ⁻	SO ₄ ²⁻	TOC	As	bil.stav	ukazovateľ
13290	CAHTICE	2021	2 A	12 A	33,87 A	30,76 A	4,72 A	10,98 A	8,57 A	29,62 A	A	
		2022	1,98 A	12 A	34,24 A	25 A	5,2 A	10,59 A	10 A	40 A	A	

MG – 046 Mezozoikum a paleozoikum SZ časti Považského Inovcaplocha: 140.8 km²

č. objektu	lokalita	rok	vodivosť	CHSK _{Mn}	Cl ⁻	NH ₄ ⁺	NO ₃ ⁻	SO ₄ ²⁻	TOC	As	bil.stav	ukazovateľ
514890	SELEC	2021	2,77 A	9,6 A	31,1 A	22,22 A	4,69 A	16,39 A	5,71 A	13,33 A	A	
		2022	2,77 A	12 A	31,64 A	50 A	5,15 A	17 A	5 A	14,28 A	A	

MG – 047 Mezozoikum strednej a južnej časti Považského Inovcaplocha: 194.3 km²

č. objektu	lokalita	rok	vodivosť	CHSK _{Mn}	Cl ⁻	NH ₄ ⁺	NO ₃ ⁻	SO ₄ ²⁻	TOC	As	bil.stav	ukazovateľ
98099	LUKA N/VAHOM	2021	2,32 A	12 A	187,26 A	19,04 A	9,54 A	14,57 A	3 A	32 A	A	
		2022	2,24 A	5 A	147,05 A	12,5 A	7,93 A	15,24 A	3 A	40 A	A	
98999	BANKA - VAPENISTE	2021	1,7 A	6,85 A	30,55 A	6,66 A	2,58 A	5,98 A	4,61 A	12,12 A	A	
		2022	1,64 A	12 A	28,73 A	16,66 A	2,3 A	5,81 A	5 A	14,28 A	A	

Q – 048 Kvartér Váhu v Podunajskej nížine S od čiar Šaľa - Galantaplocha: 539.6 km²

č. objektu	lokalita	rok	vodivosť	CHSK _{Mn}	Cl ⁻	NH ₄ ⁺	NO ₃ ⁻	SO ₄ ²⁻	TOC	As	bil.stav	ukazovateľ
5690	VLCKOVCE	2022	0,85 C	2,5 A	3,01 A	0,85 C	35,71 A	1,19 A	1,25 A	40 A	C	vodivosť, NH ₄ ⁺
13390	KOCURICE	2021	0,96 B	1 B	4,32 A	2,85 A	14,79 A	0,83 C	1,36 A	40 A	C	SO ₄ ²⁻
		2022	0,95 B	3 A	4,32 A	2,43 A	38,46 A	0,79 C	1,57 A	40 A	C	SO ₄ ²⁻
14090	DOLNE VODERADY	2021	1,82 A	2,6 A	12,01 A	11,11 A	1,69 A	6,15 A	2,72 A	40 A	A	
		2022	2,05 A	12 A	15,52 A	8,33 A	14,49 A	6,12 A	6,66 A	40 A	A	
14290	DRAHOVCE	2021	1,09 B	10,9 A	3,7 A	25 A	0,9 B	1,63 A	3,33 A	40 A	B	vodivosť, NO ₃ ⁻
		2022	1,06 B	6,31 A	3,4 A	11,11 A	1,25 A	1,53 A	3,52 A	40 A	B	vodivosť

č. objektu	lokalita	rok	vodivosť	CHSK _{Mn}	Cl ⁻	NH ₄ ⁺	NO ₃ ⁻	SO ₄ ²⁻	TOC	As	bil.stav	ukazovateľ
14390	MALY OSTROV - ORVISTE	2021	1,09 B	6,31 A	6,59 A	5,26 A	56,17 A	1,03 B	2 A	40 A	B	vodivosť, SO ₄ ²⁻
		2022	1,06 B	12 A	6,5 A	3,22 A	100 A	1,21 A	2,06 A	40 A	B	vodivosť
14890	PODOLIE - KORYTNE	2022	0,88 C	0,53 C	3,25 A	0,14 C	66,66 A	3,48 A	0,33 C	1,83 A	C	vodivosť, CHSK _{Mn} , NH ₄ ⁺ , TOC
14990	NOVE MESTO NAD VAHOM	2022	1,31 A	12 A	7,91 A	16,66 A	1,38 A	4,49 A	4,61 A	40 A	A	
18590	POVAZANY	2021	1,54 A	2,79 A	9 A	16,66 A	1,14 A	3,7 A	6 A	40 A	A	
		2022	1,55 A	12 A	9,24 A	12,5 A	1,22 A	4,32 A	7,5 A	40 A	A	
19390	CASTKOVCE	2022	1,49 A	12 A	9,78 A	5 A	66,66 A	2,97 A	2,6 A	8,33 A	A	
20290	LEOPOLDOV	2022	0,72 C	1,87 A	1,07 B	2 A	100 A	1,22 A	1,22 A	23,52 A	C	vodivosť
20690	LOVCICE	2022	0,74 C	5,71 A	1,62 A	11,76 A	0,84 C	0,74 C	1,57 A	40 A	C	vodivosť, NO ₃ ⁻ , SO ₄ ²⁻
20790	BRESTOVANY	2021	0,86 C	1,36 A	1,47 A	0,94 B	100 A	0,58 C	0,78 C	40 A	C	vodivosť, SO ₄ ²⁻ , TOC
		2022	0,97 B	2,14 A	1,6 A	0,55 C	41,66 A	0,75 C	0,89 C	40 A	C	NH ₄ ⁺ , SO ₄ ²⁻ , TOC
21390	SERED-MALY HAJ	2022	1,53 A	8 A	2,16 A	1,33 A	100 A	1,92 A	1,93 A	40 A	A	
21590	SERED-DOLNA STREDA	2022	0,76 C	4,28 A	1,39 A	16,66 A	0,58 C	1,12 A	2,85 A	40 A	C	vodivosť, NO ₃ ⁻
21790	SOPORNA-JUH	2022	0,9 B	6,31 A	2,72 A	4,76 A	100 A	0,95 B	1,57 A	4,08 A	B	vodivosť, SO ₄ ²⁻
21990	SILADICE	2022	1,59 A	4,13 A	3,42 A	1,75 A	100 A	3,26 A	2,22 A	40 A	A	
22190	SOPORNA-STRKOVEC	2021	1,16 A	1,57 A	6,33 A	6,66 A	100 A	1,11 A	2,14 A	8 A	A	
		2022	1,14 A	12 A	6,83 A	5,55 A	100 A	1,11 A	2,14 A	8 A	A	
23390	VAHOVCE	2022	1,4 A	3,75 A	5,35 A	14,28 A	1,72 A	2,93 A	2,22 A	40 A	A	
205790	SERED	2022	0,74 C	3,75 A	2,22 A	2,56 A	100 A	0,57 C	1,66 A	2,46 A	C	vodivosť, SO ₄ ²⁻
214490	MORAVANY	2021	1,38 A	12 A	12,56 A	11,11 A	4,27 A	2,86 A	2,6 A	40 A	A	
		2022	1,74 A	2,6 A	28,9 A	8,33 A	100 A	3,38 A	1,09 B	40 A	B	TOC
215290	NOVE MESTO NAD VAHOM	2021	2,34 A	4 A	15,38 A	0,92 B	63,29 A	15,92 A	2,5 A	40 A	B	NH ₄ ⁺
		2022	2,42 A	5 A	14,08 A	0,79 C	66,66 A	13,4 A	3,15 A	40 A	C	NH ₄ ⁺
220890	SULEKOVO	2021	0,98 B	5,45 A	4,63 A	33,33 A	0,74 C	1,25 A	1,93 A	40 A	C	NO ₃ ⁻
		2022	1,05 B	12 A	5,06 A	7,14 A	0,98 B	1,33 A	1,93 A	40 A	B	vodivosť, NO ₃ ⁻
222590	SALA-VECA	2022	1,79 A	3,15 A	14,16 A	2,32 A	6,49 A	2,99 A	2,3 A	1,86 A	A	
531490	NOVE MESTO N/VAH. M-14	2021	1,28 A	12 A	4,5 A	25 A	3,9 A	3,63 A	3 A	40 A	A	
		2022	1,21 A	3,75 A	4,04 A	100 A	4,58 A	3,78 A	2,5 A	40 A	A	

N – 049 Neogén Trnavskej pahorkatiny

plocha: 453.1 km²

č. objektu	lokalita	rok	vodivosť	CHSK _{Mn}	Cl ⁻	NH ₄ ⁺	NO ₃ ⁻	SO ₄ ²⁻	TOC	As	bil.stav	ukazovateľ
6290	NIZNA - HUC-10/1	2021	1,64 A	12 A	7,1 A	12,5 A	8,99 A	8,47 A	3,75 A	40 A	A	
		2022	1,61 A	12 A	10,68 A	2,5 A	100 A	30,86 A	4,28 A	40 A	A	
501090	CHORVATSKY GROB - HUC-1/1	2021	1,88 A	12 A	500 A	12,5 A	11,46 A	72,25 A	5 A	20 A	A	
		2022	1,84 A	12 A	58,13 A	10 A	100 A	108,69 A	6 A	20 A	A	

QN – 050 Kvartér Trnavskej pahorkatiny

plocha: 480.3 km²

č. objektu	lokalita	rok	vodivosť	CHSK _{Mn}	Cl ⁻	NH ₄ ⁺	NO ₃ ⁻	SO ₄ ²⁻	TOC	As	bil.stav	ukazovateľ
4590	ZLKOVCE RATKOVCE	2021	1,65 A	1,5 A	12,62 A	16,66 A	3,54 A	6,36 A	3 A	40 A	A	
		2022	1,57 A	12 A	10,77 A	25 A	2,47 A	4,97 A	3 A	40 A	A	
5390	VODERADY	2022	0,97 B	12 A	2,54 A	12,5 A	0,85 C	3,97 A	6 A	40 A	C	NO ₃ ⁻

Q – 051 Kvartér západného okraja Podunajskej roviny

plocha: 254.8 km²

č. objektu	lokalita	rok	vodivosť	CHSK _{Mn}	Cl ⁻	NH ₄ ⁺	NO ₃ ⁻	SO ₄ ²⁻	TOC	As	bil.stav	ukazovateľ
71390	VAJNORY-STRKOVISKO	2021	1,2 A	2,72 A	2,92 A	11,11 A	5,47 A	2,16 A	1,53 A	21,05 A	A	
		2022	1,17 A	3,33 A	3,58 A	7,14 A	4,92 A	4,06 A	1,5 A	26,66 A	A	

č. objektu	lokality	rok	vodivost'	CHSK _{Mn}	Cl ⁻	NH ₄ ⁺	NO ₃ ⁻	SO ₄ ²⁻	TOC	As	bil.stav	ukazovatel'
71690	BA - RUZINOVSKA ULICA	2021	0,96 B	5,71 A	1,25 A	25 A	2,35 A	3,49 A	3,15 A	26,66 A	B	vodivost'
		2022	0,94 B	12 A	1,27 A	5 A	2,46 A	3,44 A	3,15 A	40 A	B	vodivost'
210890	ZALESIE	2021	1,89 A	5,71 A	9,09 A	22,22 A	5,82 A	3,96 A	2,85 A	40 A	A	
		2022	1,87 A	12 A	10,94 A	9,09 A	5,71 A	4,11 A	2,5 A	40 A	A	
270390	SPRINCLOV MAJER	2021	1,87 A	1,05 B	9,39 A	3,44 A	100 A	3,4 A	0,92 B	3,44 A	B	CHSK _{Mn} , TOC
		2022	1,81 A	1,36 A	8,74 A	2,32 A	100 A	3,34 A	0,86 C	3,77 A	C	TOC
270790	BA - ZA DYNAMITKOU	2021	0,68 C	0,65 C	2,29 A	1,92 A	66,66 A	0,46 C	0,49 C	13,33 A	C	vodivost', CHSK _{Mn} , SO ₄ ²⁻ , TOC
		2022	0,89 C	0,75 C	2,37 A	1,49 A	100 A	0,37 C	0,56 C	15,38 A	C	vodivost', CHSK _{Mn} , SO ₄ ²⁻ , TOC
272690	BA - PALENISKO	2021	1,48 A	5 A	6,38 A	40 A	8,71 A	3,85 A	3 A	40 A	A	
		2022	1,45 A	6,31 A	6,4 A	33,33 A	10,98 A	3,93 A	3,52 A	40 A	A	
273190	BA - VRAKUNA	2021	1,06 B	4,61 A	2,14 A	25 A	2,88 A	2,94 A	3 A	40 A	B	vodivost'
		2022	1,14 A	12 A	2,5 A	3,84 A	41,66 A	3,91 A	2,4 A	40 A	A	
279490	BA - PETRZALKA - COLNICA	2021	1,17 A	8 A	3,86 A	40 A	11,53 A	1,98 A	4 A	40 A	A	
		2022	1,11 A	12 A	3,64 A	12,5 A	13,33 A	1,89 A	3,52 A	40 A	A	
279590	BA - JANIKOV DVOR	2022	0,75 C	12 A	1,52 A	7,69 A	1,32 A	0,85 C	2,4 A	40 A	C	vodivost', SO ₄ ²⁻
344990	BA - RUZINOV	2021	1,31 A	3,75 A	3,11 A	33,33 A	3,25 A	8,01 A	1,71 A	12,5 A	A	
		2022	1,31 A	4,28 A	3,28 A	5,55 A	6,66 A	7,81 A	1,62 A	14,28 A	A	
601691	ROVINKA	2021	2,15 A	8,27 A	11,94 A	50 A	6,94 A	4,7 A	2,79 A	32 A	A	
		2022	2,15 A	7,74 A	10,66 A	10 A	28,98 A	5,1 A	9,6 A	32 A	A	
601692	ROVINKA	2021	2,17 A	12 A	11,86 A	33,33 A	6,04 A	5,3 A	5 A	14,54 A	A	
		2022	2,51 A	12 A	13,71 A	9,09 A	43,47 A	6,4 A	8,88 A	32 A	A	
603491	JAROVCE	2021	1,07 B	9,6 A	3,95 A	66,66 A	7,76 A	1,01 B	3,52 A	32 A	B	vodivost', SO ₄ ²⁻
		2022	1,05 B	8,88 A	3,94 A	9,52 A	8,92 A	1,04 B	4,61 A	40 A	B	vodivost', SO ₄ ²⁻
603492	JAROVCE	2021	0,83 C	8,88 A	2,94 A	50 A	6,04 A	0,72 C	2,66 A	32 A	C	vodivost', SO ₄ ²⁻
		2022	0,84 C	8,27 A	2,99 A	9,09 A	7,72 A	0,73 C	4,13 A	40 A	C	vodivost', SO ₄ ²⁻
712590	BA - PETRZALKA	2021	1,04 B	3,75 A	3,62 A	22,22 A	2,65 A	1,14 A	2,22 A	40 A	B	vodivost'
		2022	1,04 B	12 A	3,69 A	2,85 A	2,36 A	0,89 C	2,72 A	40 A	C	SO ₄ ²⁻
716690	PETRZALKA	2021	1,12 A	12 A	2 A	12,5 A	7,18 A	2,86 A	3,52 A	40 A	A	
		2022	1,11 A	12 A	2,36 A	9,09 A	10,41 A	3,24 A	3,52 A	40 A	A	
716890	PETRZALKA	2022	2,15 A	12 A	13,02 A	8,69 A	14,08 A	8,89 A	5 A	40 A	A	
720090	PODUNAJSKJE BISKUPICE	2021	1,83 A	12 A	5,42 A	12,5 A	3,32 A	6,58 A	4,28 A	26,66 A	A	
		2022	2,14 A	12 A	8,53 A	16,66 A	5,78 A	7,78 A	6 A	40 A	A	
720190	BRATISLAVA - VLCIE HRDLO	2021	2,18 A	1,81 A	5,67 A	5,88 A	100 A	7,21 A	3,15 A	14,81 A	A	
		2022	2,08 A	2,6 A	5,74 A	4,76 A	100 A	7,4 A	1,53 A	21,05 A	A	
721591	MALINOVO	2021	1,9 A	8 A	9,8 A	33,33 A	2,36 A	5,65 A	4,61 A	40 A	A	
		2022	1,89 A	12 A	10,18 A	14,28 A	3,28 A	5,89 A	7,5 A	40 A	A	
721592	MALINOVO	2021	2,05 A	12 A	9,94 A	33,33 A	5,74 A	5,86 A	5 A	40 A	A	
		2022	2,03 A	12 A	10,5 A	20 A	5,23 A	6,42 A	10 A	40 A	A	
721593	MALINOVO	2021	1,94 A	8 A	9,38 A	33,33 A	4,89 A	2,13 A	5 A	23,52 A	A	
		2022	1,95 A	12 A	9,54 A	14,28 A	5,07 A	2,1 A	10,9 A	21,05 A	A	

Q – 052 Kvartér JZ časti Podunajskej roviny

plocha: 1897.8 km²

č. objektu	lokality	rok	vodivost'	CHSK _{Mn}	Cl ⁻	NH ₄ ⁺	NO ₃ ⁻	SO ₄ ²⁻	TOC	As	bil.stav	ukazovatel'
890	RECA	2022	0,89 C	3,52 A	2,7 A	1,63 A	0,33 C	2,48 A	1,46 A	40 A	C	vodivost', NO ₃ ⁻
10190	HRUBY SUR	2022	1,54 A	12 A	5,54 A	16,66 A	1,73 A	3,39 A	4,61 A	13,33 A	A	
12190	NOVE OSADY-SEDIN	2022	1,14 A	4,28 A	3,92 A	16,66 A	0,92 B	1,5 A	2,4 A	40 A	B	NO ₃ ⁻
61790	ZEMIANSKA OLCA	2022	0,87 C	1,39 A	3,73 A	2,94 A	100 A	0,62 C	0,62 C	8 A	C	vodivost', SO ₄ ²⁻ , TOC
61990	TON	2022	0,64 C	2,22 A	1,6 A	3,22 A	55,55 A	0,59 C	0,92 B	8,33 A	C	vodivost', SO ₄ ²⁻
64690	VELKE KOSIHY	2022	0,67 C	3,75 A	2,41 A	1,16 A	14,92 A	0,67 C	1,33 A	23,52 A	C	vodivost', SO ₄ ²⁻
66290	VRAKUN	2022	1,85 A	7,05 A	10,22 A	25 A	3,52 A	3,51 A	3,75 A	40 A	A	
66390	KUTNIKY-POVODA-PODAFA	2022	1,53 A	12 A	6,43 A	14,28 A	3,92 A	3,91 A	9,23 A	14,28 A	A	
66590	DVORNIKY N.O.-KELE MJ.	2022	1,76 A	12 A	9,14 A	16,66 A	23,8 A	2,36 A	4,61 A	6,89 A	A	

č. objektu	lokalita	rok	vodivosť	CHSK _{Mn}	Cl ⁻	NH ₄ ⁺	NO ₃ ⁻	SO ₄ ²⁻	TOC	As	bil.stav	ukazovateľ
66690	JAHODNA	2022	1,43 A	7,05 A	5,41 A	5 A	100 A	1,81 A	3,15 A	8,33 A	A	
66790	BAKA	2021	2,11 A	5,21 A	11,11 A	10 A	3,92 A	6,49 A	5 A	23,52 A	A	
		2022	2,19 A	12 A	12,22 A	16,66 A	5 A	6,57 A	7,5 A	21,05 A	A	
67090	VYDRANY	2022	1,48 A	12 A	7,36 A	2,43 A	1,47 A	2,48 A	6 A	26,66 A	A	
67990	HORNY BAR-SULANY	2022	1,56 A	12 A	6,82 A	14,28 A	100 A	1,85 A	6,66 A	40 A	A	
68190	LEHNICE-VELKY LEG	2022	1,67 A	12 A	10,33 A	12,5 A	0,95 B	3,19 A	5,45 A	40 A	B	NO ₃ ⁻
68290	MASLOVCE	2022	1,21 A	3,75 A	5,2 A	20 A	0,86 C	2,31 A	2,3 A	7,69 A	C	NO ₃ ⁻
68490	ROHOVCE	2022	1,32 A	5,21 A	5,71 A	14,28 A	100 A	1,35 A	7,5 A	12,9 A	A	
68890	MIEROVO	2022	1,74 A	12 A	10,54 A	25 A	1,25 A	4,59 A	7,5 A	26,66 A	A	
69290	CAKANY	2022	1,65 A	12 A	5,45 A	16,66 A	1,27 A	2,28 A	7,5 A	40 A	A	
69390	JANIKY-BUSTELEK	2022	1,49 A	12 A	8,4 A	25 A	1,03 B	3,88 A	2,6 A	40 A	B	NO ₃ ⁻
69490	KALINKOVO	2021	2,63 A	4,61 A	13,73 A	50 A	100 A	13,22 A	4 A	40 A	A	
		2022	2,49 A	12 A	12,59 A	14,28 A	100 A	12,62 A	3,75 A	40 A	A	
69590	MILOSLAVOV - ALZBETIN DVOR	2021	2,05 A	12 A	10,52 A	20 A	2,55 A	4,4 A	6,66 A	40 A	A	
		2022	1,97 A	12 A	10,79 A	25 A	3,06 A	4,52 A	10,9 A	40 A	A	
69790	BA-P.BISKUPICE-TOPOLOVE	2022	2,47 A	12 A	14,12 A	20 A	31,25 A	7,77 A	6,66 A	40 A	A	
72990	CUNOVO	2021	1,12 A	8 A	3,86 A	100 A	0,72 C	1,28 A	3,75 A	40 A	C	NO ₃ ⁻
		2022	1,07 B	12 A	3,92 A	11,76 A	0,8 C	1,32 A	3,75 A	40 A	C	NO ₃ ⁻
79890	BA-CUNOVO	2022	2,5 A	12 A	13,81 A	9,09 A	10,63 A	10,72 A	7,5 A	40 A	A	
204790	BLATNE	2021	1,42 A	12 A	7,64 A	28,57 A	0,55 C	5,95 A	3,75 A	9,52 A	C	NO ₃ ⁻
		2022	1,3 A	12 A	5,9 A	9,09 A	0,51 C	5,94 A	4 A	11,76 A	C	NO ₃ ⁻
260290	KOMARNO	2021	0,77 C	0,15 C	5,84 A	40 A	0,48 C	2,55 A	0,9 B	0,79 C	C	vodivosť, CHSK _{Mn} , NO ₃ ⁻ , As
		2022	0,89 C	1,93 A	6,36 A	16,66 A	0,43 C	3,47 A	0,96 B	0,46 C	C	vodivosť, NO ₃ ⁻ , As
260490	KOMARNO	2021	1,66 A	1,66 A	12,34 A	20 A	4,78 A	3,99 A	3 A	40 A	A	
		2022	1,84 A	12 A	12,19 A	16,66 A	1,79 A	7,44 A	3,33 A	40 A	A	
261190	KAMENICNA - PIESKY	2021	1,37 A	4,8 A	12,85 A	1,72 A	100 A	2,54 A	1,53 A	4,65 A	A	
		2022	1,33 A	3,75 A	12,91 A	1,85 A	100 A	2,66 A	1,57 A	4,54 A	A	
263190	HORNY STAL-ZEL.STANICA	2022	1,74 A	12 A	4,79 A	16,66 A	24,39 A	1,66 A	3,75 A	40 A	A	
264290	OKOC - ASZOD	2021	1,89 A	2,79 A	19,15 A	1,96 A	100 A	3,53 A	1,09 B	12,5 A	B	TOC
		2022	1,81 A	1,27 A	18,93 A	1,63 A	100 A	3,61 A	1,17 A	26,66 A	A	
264791	KLIZSKA NEMA	2021	1,66 A	2,14 A	60,2 A	2,94 A	100 A	8,77 A	1,79 A	40 A	A	
		2022	1,6 A	2,79 A	57,47 A	2,27 A	41,66 A	8,87 A	1,76 A	40 A	A	
264792	KLIZSKA NEMA	2021	1,14 A	1,93 A	8,81 A	2,19 A	100 A	1,55 A	1,13 A	6,45 A	A	
		2022	1,3 A	1,73 A	10,83 A	1,47 A	44,44 A	2,95 A	1,21 A	5,55 A	A	
265990	TRHOVE MYTO	2022	1,54 A	4,61 A	6,11 A	3,84 A	55,55 A	1,65 A	2,5 A	40 A	A	
267490	LUC N.O.-ANTONIA DVOR	2022	1,21 A	7,05 A	6,7 A	14,28 A	9,09 A	1,18 A	2,06 A	40 A	A	
267790	BLAHOVA	2022	1,54 A	12 A	6,51 A	11,11 A	1,59 A	2,51 A	4 A	23,52 A	A	
268790	MACOV	2022	1,78 A	12 A	8,62 A	25 A	4,34 A	2,75 A	6,66 A	40 A	A	
600491	VELKY MEDER	2021	2,98 A	5,45 A	39,6 A	7,4 A	100 A	8,38 A	6 A	40 A	A	
		2022	2,97 A	12 A	37,87 A	7,4 A	100 A	7,98 A	7,5 A	40 A	A	
600492	VELKY MEDER	2021	2,31 A	12 A	15,17 A	8,69 A	100 A	4,41 A	4,44 A	9,75 A	A	
		2022	2,24 A	12 A	14,12 A	7,4 A	100 A	4,13 A	6,66 A	10 A	A	
600493	VELKY MEDER	2021	1,39 A	5,1 A	4,06 A	0,55 C	5,8 A	3,04 A	2,79 A	40 A	C	NH ₄ ⁺
		2022	1,37 A	8,88 A	3,68 A	0,22 C	1,78 A	3,97 A	2,85 A	40 A	C	NH ₄ ⁺
600691	DVORNIKY NA OSTROVE	2021	2,35 A	12 A	14,83 A	100 A	3,63 A	4,28 A	8,57 A	26,66 A	A	
		2022	2,28 A	12 A	15,52 A	12,5 A	3,83 A	4,46 A	17,14 A	40 A	A	
600692	DVORNIKY NA OSTROVE	2021	2,01 A	12 A	10,82 A	40 A	2,68 A	3,16 A	10 A	40 A	A	
		2022	1,96 A	12 A	11,9 A	11,11 A	2,98 A	3,44 A	13,33 A	40 A	A	
600693	DVORNIKY NA OSTROVE	2021	1,56 A	4 A	7,03 A	25 A	17,98 A	1,49 A	3 A	40 A	A	
		2022	1,49 A	12 A	7,27 A	7,69 A	16,66 A	1,42 A	3 A	40 A	A	
601092	DOBROHOST	2021	3,07 A	9,6 A	14,64 A	22,22 A	100 A	19,2 A	6,31 A	40 A	A	
		2022	2,92 A	12 A	14,55 A	12,5 A	100 A	16,92 A	7,05 A	40 A	A	
601095	DOBROHOST	2021	2,66 A	8,88 A	13,38 A	18,18 A	41,49 A	9,87 A	5,45 A	40 A	A	
		2022	2,58 A	12 A	13,49 A	10,52 A	44,44 A	9,98 A	6,31 A	40 A	A	

č. objektu	lokality	rok	vodivosť	CHSK _{Mn}	Cl ⁻	NH ₄ ⁺	NO ₃ ⁻	SO ₄ ²⁻	TOC	As	bil.stav	ukazovateľ
601096	DOBROHOST	2021	2,24 A	12 A	12,18 A	7,14 A	38,31 A	12,25 A	4,28 A	21,62 A	A	
		2022	2,35 A	12 A	12,75 A	5,88 A	52,63 A	13,62 A	5,45 A	22,22 A	A	
601191	OLDZA	2021	2,71 A	12 A	46,94 A	19,04 A	4,24 A	7,88 A	15 A	40 A	A	
		2022	2,68 A	12 A	45,87 A	9,52 A	4,44 A	8,07 A	11,42 A	40 A	A	
601192	OLDZA	2021	1,24 A	4,21 A	4,88 A	19,04 A	0,74 C	1,75 A	4,44 A	40 A	C	NO ₃ ⁻
		2022	1,21 A	8,27 A	4,94 A	10,52 A	0,77 C	1,76 A	5,21 A	40 A	C	NO ₃ ⁻
601195	OLDZA	2021	1,17 A	6,85 A	5,16 A	19,04 A	0,41 C	1,9 A	3,52 A	32 A	C	NO ₃ ⁻
		2022	1,14 A	8,27 A	5,27 A	10,52 A	0,42 C	1,93 A	4,13 A	40 A	C	NO ₃ ⁻
601291	VLKY	2021	2,47 A	8,88 A	10,74 A	26,66 A	37,03 A	8,03 A	4,61 A	32 A	A	
		2022	2,42 A	12 A	14,24 A	10 A	25,31 A	8,27 A	5 A	40 A	A	
601292	VLKY	2021	2,47 A	9,6 A	10,66 A	19,04 A	100 A	8,59 A	3,42 A	19,51 A	A	
		2022	2,4 A	12 A	10,86 A	10,52 A	58,82 A	8,76 A	3,87 A	14,28 A	A	
601293	VLKY	2021	2,34 A	9,6 A	11,16 A	28,57 A	59,34 A	8,66 A	3 A	0,93 B	A	
		2022	2,23 A	12 A	10,17 A	12,5 A	80 A	8,99 A	3,63 A	0,96 B	A	
601391	KALINKOVO	2021	2,71 A	1,26 A	12,93 A	0,43 C	100 A	21,2 A	1,27 A	0,29 C	C	NH ₄ ⁺ , As
		2022	2,54 A	1,71 A	12,65 A	0,41 C	100 A	18,31 A	1,48 A	0,32 C	C	NH ₄ ⁺ , As
601392	KALINKOVO	2021	2,91 A	9,6 A	13,6 A	10,52 A	8,2 A	8,43 A	4,8 A	40 A	A	
		2022	2,76 A	12 A	12,8 A	6,25 A	7,87 A	8,46 A	5,45 A	40 A	A	
601393	KALINKOVO	2021	2,79 A	7,74 A	13,94 A	11,76 A	7,55 A	10,46 A	5,71 A	40 A	A	
		2022	2,87 A	9,6 A	13,9 A	8 A	7,14 A	8,46 A	7,5 A	40 A	A	
601591	DUN. LUZNA - KOSARISKA	2021	2,24 A	12 A	11,77 A	23,52 A	21,29 A	4,91 A	6,31 A	40 A	A	
		2022	2,27 A	4,7 A	12,22 A	6,66 A	19,04 A	5,07 A	12 A	40 A	A	
601592	DUN. LUZNA - KOSARISKA	2021	2,38 A	6,31 A	11,58 A	11,76 A	18,48 A	4,97 A	7,05 A	40 A	A	
		2022	2,36 A	4 A	11,8 A	6,45 A	17,24 A	5,08 A	11,42 A	40 A	A	
601593	DUN. LUZNA - KOSARISKA	2021	2,26 A	5,85 A	10,72 A	18,18 A	11,14 A	4,44 A	8 A	40 A	A	
		2022	2,22 A	12 A	11,12 A	11,76 A	11,76 A	4,57 A	9,6 A	40 A	A	
602891	RUSOVCE - MOKRAD	2021	3 A	8,27 A	14,79 A	30,76 A	6,57 A	8,96 A	6 A	40 A	A	
		2022	2,85 A	7,74 A	13,17 A	12,5 A	6,28 A	8,79 A	6,31 A	40 A	A	
602892	RUSOVCE - MOKRAD	2021	3,04 A	7,74 A	14,97 A	36,36 A	6,68 A	9,12 A	5,45 A	40 A	A	
		2022	2,89 A	12 A	13,53 A	12,5 A	6,43 A	8,85 A	7,05 A	40 A	A	
602893	RUSOVCE - MOKRAD	2021	2,91 A	12 A	14,64 A	44,44 A	6,58 A	9,04 A	5,21 A	40 A	A	
		2022	2,84 A	12 A	12,98 A	11,11 A	3,91 A	10,13 A	8 A	40 A	A	
602991	RUSOVCE	2021	2,98 A	12 A	14,28 A	12,5 A	6,27 A	9,21 A	7,05 A	40 A	A	
		2022	2,95 A	12 A	14,43 A	13,33 A	6,53 A	8,9 A	10 A	40 A	A	
602992	RUSOVCE	2021	2,99 A	7,5 A	14,24 A	15,38 A	6,83 A	9,02 A	7,5 A	40 A	A	
		2022	2,93 A	12 A	14,4 A	10,52 A	6,92 A	8,65 A	13,33 A	40 A	A	
602993	RUSOVCE	2021	2,68 A	12 A	14,49 A	16,66 A	7,09 A	8,97 A	6,31 A	19,04 A	A	
		2022	2,78 A	12 A	13,96 A	8,69 A	4,06 A	11,13 A	10,43 A	32 A	A	
603091	CUNOVO	2021	3,03 A	5,85 A	14,24 A	13,79 A	6,58 A	8,88 A	5,45 A	20,51 A	A	
		2022	2,89 A	12 A	14,24 A	13,33 A	7,6 A	8,68 A	8,88 A	26,66 A	A	
603092	CUNOVO	2021	2,97 A	7,74 A	13,66 A	17,39 A	6 A	8,62 A	3,75 A	40 A	A	
		2022	2,88 A	7,74 A	12,87 A	17,39 A	6,3 A	8,69 A	5,71 A	40 A	A	
603093	CUNOVO	2021	2,74 A	4,06 A	12,28 A	21,05 A	5,73 A	8,51 A	3,52 A	40 A	A	
		2022	2,89 A	12 A	13,15 A	14,81 A	6,6 A	8,89 A	4,44 A	40 A	A	
603191	JELKA	2021	1,67 A	12 A	6,03 A	33,33 A	3,37 A	2,35 A	4,61 A	26,66 A	A	
		2022	1,65 A	12 A	6,51 A	25 A	4,29 A	2,51 A	5,45 A	40 A	A	
603192	JELKA	2021	1,68 A	12 A	6 A	40 A	3,43 A	2,3 A	4,61 A	40 A	A	
		2022	1,66 A	12 A	6,14 A	33,33 A	4,32 A	2,36 A	7,05 A	40 A	A	
603291	GABCIKOVO	2021	2,07 A	5,85 A	13,51 A	23,52 A	36,03 A	3,83 A	4,13 A	26,66 A	A	
		2022	1,97 A	12 A	13,98 A	8 A	40 A	3,89 A	6,48 A	29,62 A	A	
603292	GABCIKOVO	2021	2,02 A	5 A	13,42 A	25 A	23,98 A	3,8 A	4,44 A	40 A	A	
		2022	1,95 A	12 A	13,81 A	5,88 A	23,52 A	3,96 A	5,45 A	40 A	A	
603391	MLIECANY	2021	1,98 A	7,27 A	10,52 A	16,66 A	4,05 A	2,91 A	8 A	32 A	A	
		2022	1,91 A	12 A	10,66 A	8,69 A	4,09 A	2,89 A	13,33 A	40 A	A	
603392	MLIECANY	2021	1,61 A	5,45 A	7,79 A	14,28 A	2,1 A	2,07 A	5 A	29,62 A	A	
		2022	1,55 A	7,74 A	7,83 A	11,42 A	3,12 A	2,03 A	5,58 A	40 A	A	
605990	CALOVEC - KAMENICNA	2021	1,61 A	2,3 A	3,41 A	1,63 A	100 A	1,79 A	1,17 A	40 A	A	
		2022	1,73 A	2,4 A	3,64 A	4,54 A	100 A	2,27 A	1,39 A	40 A	A	
721390	ROVINKA	2022	1,89 A	12 A	10,72 A	12,5 A	4,32 A	4,29 A	6,66 A	40 A	A	
721890	MILOSLAVOV	2022	1,23 A	12 A	4,51 A	16,66 A	0,7 C	3,44 A	2,85 A	13,33 A	C	NO ₃ ⁻
722790	KALINKOVO	2022	2,51 A	12 A	13,05 A	20 A	100 A	14,57 A	4,61 A	40 A	A	

č. objektu	lokalita	rok	vodivost	CHSK _{Mn}	Cl ⁻	NH ₄ ⁺	NO ₃ ⁻	SO ₄ ²⁻	TOC	As	bil.stav	ukazovateľ
723490	ZLATE KLASY- RASTICE	2022	1,85 A	12 A	7,88 A	10 A	2,93 A	4,62 A	10 A	40 A	A	
723690	HUBICE	2022	1,19 A	12 A	5,48 A	28,57 A	0,56 C	1,93 A	3,33 A	40 A	C	NO ₃ ⁻
724191	KVETOSLAVOV	2021	2,62 A	12 A	13,96 A	28,57 A	66,66 A	11,9 A	6 A	40 A	A	
		2022	2,57 A	4,8 A	14,08 A	20 A	100 A	12,56 A	10 A	40 A	A	
724192	KVETOSLAVOV	2021	2,39 A	12 A	12,16 A	40 A	18,58 A	9,61 A	6 A	40 A	A	
		2022	2,31 A	12 A	12,62 A	11,11 A	26,31 A	10,57 A	10,9 A	40 A	A	
724590	SAMORIN	2021	2,28 A	7,05 A	12,78 A	66,66 A	8,58 A	8,09 A	4,28 A	40 A	A	
		2022	2,23 A	12 A	13,22 A	20 A	7,87 A	8,34 A	10,9 A	40 A	A	
724990	MALA PAKA	2022	1,77 A	12 A	9,76 A	33,33 A	1,44 A	4,98 A	6,66 A	40 A	A	
725491	HORNA POTON	2021	1,56 A	12 A	7,75 A	100 A	0,98 B	2,24 A	4,61 A	26,66 A	B	NO ₃ ⁻
		2022	1,51 A	12 A	7,94 A	22,22 A	1,04 B	2,27 A	8,57 A	40 A	B	NO ₃ ⁻
725492	HORNA POTON	2021	1,29 A	12 A	5,61 A	28,57 A	0,68 C	1,56 A	4,28 A	23,52 A	C	NO ₃ ⁻
		2022	1,25 A	12 A	5,74 A	20 A	0,72 C	1,61 A	7,5 A	40 A	C	NO ₃ ⁻
725493	HORNA POTON	2021	1,28 A	12 A	5,34 A	66,66 A	0,71 C	1,54 A	9,23 A	40 A	C	NO ₃ ⁻
		2022	1,26 A	12 A	5,61 A	20 A	0,74 C	1,6 A	6 A	26,66 A	C	NO ₃ ⁻
726290	BAC-TRNAVKA	2022	1,52 A	12 A	7,7 A	7,14 A	5,18 A	2,19 A	5,45 A	40 A	A	
726591	SAMORIN - MLIECNO	2021	2,63 A	12 A	13,69 A	21,05 A	100 A	14,7 A	5,21 A	32 A	A	
		2022	2,57 A	12 A	14,43 A	9,09 A	100 A	15,24 A	5,71 A	40 A	A	
726592	SAMORIN - MLIECNO	2021	2,42 A	9,6 A	12,56 A	17,39 A	13,77 A	7,41 A	7,05 A	40 A	A	
		2022	2,39 A	12 A	13,45 A	5,4 A	16,8 A	8,08 A	8,57 A	32 A	A	
726593	SAMORIN - MLIECNO	2021	2,3 A	7,5 A	12,43 A	18,18 A	30,12 A	6,66 A	4,28 A	29,62 A	A	
		2022	2,31 A	8,88 A	12,36 A	6,66 A	19,23 A	7 A	5,71 A	19,51 A	A	
727491	VOJKA	2021	1,93 A	12 A	12,78 A	50 A	16,33 A	5,02 A	4,28 A	40 A	A	
		2022	2 A	12 A	10,43 A	66,66 A	7,08 A	4,4 A	6,66 A	23,52 A	A	
727492	VOJKA	2022	1,97 A	12 A	11,01 A	25 A	8,4 A	4,96 A	9,23 A	40 A	A	
727493	VOJKA	2021	2,54 A	5,71 A	13,44 A	40 A	19,8 A	8,21 A	10 A	40 A	A	
		2022	2,57 A	12 A	13,77 A	16,66 A	23,8 A	8,63 A	9,23 A	40 A	A	
727791	ROHOVCE - STRKOVEC	2021	2,49 A	12 A	12,4 A	12,5 A	16,69 A	6,29 A	8,57 A	40 A	A	
		2022	2,44 A	12 A	12,72 A	7,69 A	16,94 A	6,55 A	13,33 A	40 A	A	
727793	ROHOVCE - STRKOVEC	2021	2,22 A	12 A	10,82 A	20 A	11,91 A	4,5 A	8,57 A	40 A	A	
		2022	2,21 A	12 A	11,31 A	7,69 A	13,15 A	4,78 A	8,57 A	23,52 A	A	
727794	ROHOVCE - STRKOVEC	2021	1,82 A	12 A	8,43 A	16,66 A	7,34 A	2,58 A	4,61 A	40 A	A	
		2022	2,01 A	12 A	9,09 A	9,09 A	9 A	2,79 A	6,66 A	40 A	A	
728590	HOLICE	2022	1,67 A	12 A	8,29 A	16,66 A	2,24 A	2,53 A	6,66 A	40 A	A	
729391	VELKE BLAHOVO	2021	2 A	1,81 A	8,62 A	0,41 C	100 A	9,1 A	1,17 A	0,78 C	C	NH ₄ ⁺ , As
		2022	2 A	1,5 A	8,84 A	0,36 C	100 A	11,82 A	1 B	0,79 C	C	NH ₄ ⁺ , As
729394	VELKE BLAHOVO	2021	1,89 A	12 A	10,72 A	40 A	1,73 A	3,31 A	6,66 A	21,05 A	A	
		2022	1,77 A	12 A	10,22 A	7,14 A	1,8 A	3,15 A	6,66 A	40 A	A	
729492	ORECHOVA POTON	2021	1,64 A	12 A	8,65 A	40 A	1,69 A	2,31 A	6 A	40 A	A	
		2022	1,61 A	12 A	8,8 A	20 A	1,76 A	2,34 A	7,5 A	40 A	A	
729493	ORECHOVA POTON	2021	1,61 A	5,45 A	8,44 A	40 A	1,74 A	2,14 A	7,5 A	26,66 A	A	
		2022	1,54 A	12 A	8,16 A	20 A	1,85 A	2,1 A	7,5 A	40 A	A	
731291	KOSTOLNE - KRACANY	2021	1,52 A	5,71 A	6,51 A	33,33 A	2,04 A	1,94 A	4,61 A	40 A	A	
		2022	1,88 A	12 A	8,53 A	20 A	4,48 A	2,93 A	5,45 A	40 A	A	
731292	KOSTOLNE - KRACANY	2021	1,58 A	5,71 A	6,9 A	25 A	2,14 A	2,14 A	5,45 A	40 A	A	
		2022	1,48 A	12 A	6,7 A	11,11 A	2,32 A	1,92 A	8,57 A	40 A	A	
731890	HORNY BAR	2021	1,75 A	4,13 A	7,57 A	18,18 A	4,46 A	2,59 A	2,6 A	40 A	A	
		2022	1,77 A	12 A	8,16 A	20 A	5,43 A	2,74 A	7,5 A	40 A	A	
732590	BODIKY	2022	2,64 A	4 A	13,55 A	2,5 A	3,58 A	33,33 A	2,4 A	1,35 A	A	
733290	VRAKUN-MAD	2022	1,8 A	7,05 A	10,72 A	2,94 A	100 A	2,28 A	4,28 A	40 A	A	
733691	VRAKUN	2021	3,53 A	12 A	56,68 A	12,5 A	26,04 A	11,79 A	12 A	21,05 A	A	
		2022	3,45 A	12 A	52,08 A	6,25 A	27,77 A	12,01 A	17,14 A	40 A	A	
733693	VRAKUN	2021	2,85 A	12 A	24,21 A	11,11 A	30,03 A	6,03 A	8,57 A	11,11 A	A	
		2022	2,77 A	12 A	23,8 A	5,26 A	27,02 A	6 A	17,14 A	12,5 A	A	
733695	VRAKUN	2021	2,09 A	12 A	10,33 A	0,83 C	100 A	2,36 A	4 A	1,9 A	C	NH ₄ ⁺
		2022	2,15 A	12 A	10,96 A	3,44 A	100 A	2,48 A	5 A	1,88 A	A	
734290	GABCIKOVO- BAKA	2022	2,33 A	12 A	13,08 A	33,33 A	100 A	11,65 A	4 A	12,5 A	A	
736591	PALKOVICOVO - SAP	2021	2,91 A	2,3 A	15,01 A	1,88 A	100 A	6,18 A	2,5 A	40 A	A	
		2022	2,83 A	3,15 A	15,19 A	3,12 A	100 A	6,18 A	2,6 A	40 A	A	

č. objektu	lokalita	rok	vodivosť	CHSK _{Mn}	Cl ⁻	NH ₄ ⁺	NO ₃ ⁻	SO ₄ ²⁻	TOC	As	bil.stav	ukazovateľ
736592	PALKOVICOVO - SAP	2021	2,65 A	3 A	13,85 A	1,69 A	100 A	5,8 A	2 A	40 A	A	
		2022	2,59 A	3,33 A	14,16 A	1,72 A	100 A	5,76 A	2,4 A	40 A	A	
736593	PALKOVICOVO - SAP	2021	1,98 A	2,3 A	11,52 A	1,21 A	100 A	3,6 A	1,87 A	40 A	A	
		2022	1,98 A	4,44 A	12,53 A	1,12 A	100 A	3,69 A	2 A	40 A	A	
736691	KLUCOVEC	2021	3,68 A	3,63 A	103,3 A	3,7 A	100 A	21,18 A	10 A	40 A	A	
		2022	3,64 A	12 A	106,38 A	3,33 A	100 A	39,06 A	13,33 A	40 A	A	
736692	KLUCOVEC	2021	2,07 A	1,71 A	10,54 A	1,58 A	100 A	29,81 A	2 A	10 A	A	
		2022	2,05 A	6,31 A	10,06 A	1,44 A	100 A	96,15 A	2,22 A	14,28 A	A	
736693	KLUCOVEC	2021	3,39 A	12 A	76,92 A	4,16 A	100 A	16,55 A	7,5 A	5,55 A	A	
		2022	3,51 A	12 A	75,75 A	3,7 A	100 A	17,06 A	13,33 A	5,55 A	A	
737490	TON	2022	0,77 C	2,4 A	4,34 A	5,26 A	22,22 A	0,51 C	0,96 B	10,52 A	C	vodivosť, SO ₄ ²⁻
738191	ZLATNA NA OSTROVE	2021	0,96 B	3 A	4,99 A	3,7 A	61,72 A	1,21 A	2 A	2,4 A	B	vodivosť
		2022	0,92 B	12 A	4,9 A	3,03 A	100 A	1,15 A	2 A	2,7 A	B	vodivosť
752590	IVANKA PRI DUNAJI P-4	2022	1,47 A	12 A	3,89 A	7,69 A	3,17 A	2,79 A	2,06 A	40 A	A	

MN – 053 Mezozoikum S časti Pezinských Karpát a Brezovských Karpát

plocha: 340.8 km²

č. objektu	lokalita	rok	vodivosť	CHSK _{Mn}	Cl ⁻	NH ₄ ⁺	NO ₃ ⁻	SO ₄ ²⁻	TOC	As	bil.stav	ukazovateľ
4399	JABLONICA	2021	1,98 A	9,6 A	59,31 A	15,38 A	7,82 A	6,3 A	6,31 A	40 A	A	
		2022	1,7 A	12 A	59,52 A	12,5 A	7,46 A	6,29 A	5 A	40 A	A	
8199	PLAV.PODHRADIE	2021	2,38 A	8,88 A	109,05 A	15,38 A	2,05 A	12,31 A	3,63 A	26,66 A	A	
		2022	2,3 A	12 A	138,88 A	25 A	2,18 A	14,36 A	3,75 A	40 A	A	
23199	CHTELNICA	2021	1,78 A	8,88 A	124,06 A	19,04 A	3,17 A	7,59 A	3,42 A	25 A	A	
		2022	1,71 A	12 A	131,57 A	12,5 A	3,75 A	7,48 A	3 A	40 A	A	

M – 054 Mezozoikum krížňanského príkrovu Malých Karpát

plocha: 35.2 km²

č. objektu	lokalita	rok	vodivosť	CHSK _{Mn}	Cl ⁻	NH ₄ ⁺	NO ₃ ⁻	SO ₄ ²⁻	TOC	As	bil.stav	ukazovateľ
24399	HORNE ORESANY	2021	1,84 A	8,88 A	122,1 A	21,05 A	4,5 A	2,76 A	8,57 A	40 A	A	
		2022	1,79 A	12 A	138,88 A	50 A	4,76 A	2,78 A	7,5 A	40 A	A	

MG – 055 Kryštalínikum a mezozoikum JV časti Pezinských Karpát

plocha: 318.3 km²

č. objektu	lokalita	rok	vodivosť	CHSK _{Mn}	Cl ⁻	NH ₄ ⁺	NO ₃ ⁻	SO ₄ ²⁻	TOC	As	bil.stav	ukazovateľ
10990	PEZINOK-GRINAVA	2022	0,82 C	0,99 B	0,65 C	2,38 A	12,82 A	2,4 A	0,25 C	11,11 A	C	vodivosť, Cl ⁻ , TOC
20799	JUR PRI BRAT	2021	13,85 A	2,4 A	173,01 A	22,22 A	8,71 A	12,33 A	1,87 A	40 A	A	
		2022	28,15 A	2,72 A	192,3 A	12,5 A	8,06 A	13,66 A	1,76 A	40 A	A	
21599	ZELEZNA STUDNICKA	2021	4,24 A	8,88 A	55,77 A	18,18 A	2,3 A	4,59 A	2,92 A	14,81 A	A	
		2022	3,76 A	12 A	56,81 A	25 A	2,55 A	4,48 A	4,28 A	12,5 A	A	
21699	RACA-ZBOJNICKA	2021	10,22 A	2,1 A	167,78 A	25 A	4,59 A	10,82 A	1,42 A	40 A	A	
		2022	12,07 A	3,33 A	192,3 A	12,5 A	3,54 A	12,62 A	1,66 A	40 A	A	
23099	PEZINOK - KNAZOVE DIERY	2021	2,17 A	5,21 A	14,77 A	23,52 A	6,83 A	2,05 A	5,71 A	12,12 A	A	
		2022	2,19 A	12 A	13,44 A	16,66 A	7,69 A	2,13 A	6 A	12,5 A	A	
24499	DOLANY	2021	2,22 A	8,27 A	130,89 A	20 A	1,89 A	5,59 A	4,8 A	40 A	A	
		2022	2,01 A	12 A	147,05 A	25 A	2,06 A	5,68 A	4,28 A	40 A	A	
71090	BA-KUJOVICOVO HRADLO	2022	1,56 A	3,42 A	4,32 A	2,43 A	100 A	1,29 A	1,76 A	5,71 A	A	
144590	BA - GASTANOVY HAJIK	2021	1,35 A	3,15 A	2,78 A	100 A	1,75 A	3,49 A	1,27 A	23,52 A	A	
		2022	1,3 A	3,52 A	2,76 A	5,88 A	2,27 A	6,83 A	1,27 A	23,52 A	A	
402290	BRATISLAVA	2021	1,27 A	12 A	3,91 A	25 A	0,55 C	2,68 A	3 A	40 A	C	NO ₃ ⁻
		2022	1,26 A	12 A	3,72 A	25 A	0,6 C	2,92 A	5 A	40 A	C	NO ₃ ⁻

Q – 056 Kvartér Dunaja v úseku Komárno - Chľabaplocha: 168.3 km²

č. objektu	lokalita	rok	vodivosť	CHSK _{Mn}	Cl ⁻	NH ₄ ⁺	NO ₃ ⁻	SO ₄ ²⁻	TOC	As	bil.stav	ukazovateľ
50890	IZA	2022	0,67 C	2,22 A	2,97 A	1,06 B	100 A	0,68 C	1,11 A	14,81 A	C	vodivosť, SO ₄ ²⁻
52990	IZA - BOKROS	2021	0,91 B	0,98 B	4,79 A	0,53 C	44,84 A	1,03 B	1,62 A	26,66 A	C	NH ₄ ⁺
		2022	0,9 B	2,14 A	4,75 A	0,44 C	100 A	0,95 B	1,13 A	40 A	C	NH ₄ ⁺
61290	ZLATNA N.O.-NOVINA	2022	0,87 C	3,33 A	3,82 A	5,26 A	100 A	0,85 C	1,46 A	40 A	C	vodivosť, SO ₄ ²⁻
86990	CHLABA-USTIE	2021	1,62 A	8 A	10,57 A	40 A	2,23 A	3,09 A	2,85 A	10 A	A	
251490	MUZLA - KENDELES	2021	0,46 C	1,87 A	2,66 A	7,69 A	0,81 C	0,25 C	0,71 C	19,04 A	C	vodivosť, NO ₃ ⁻ , SO ₄ ²⁻ , TOC
		2022	0,46 C	2,06 A	2,77 A	7,14 A	0,64 C	0,23 C	0,71 C	40 A	C	vodivosť, NO ₃ ⁻ , SO ₄ ²⁻ , TOC
286990	CHLABA - USTIE	2022	1,56 A	12 A	10,79 A	8,33 A	2,13 A	2,95 A	3 A	10 A	A	
602390	IZA	2021	0,55 C	2,85 A	1,73 A	0,99 B	100 A	0,38 C	1,05 B	19,04 A	C	vodivosť, SO ₄ ²⁻
		2022	0,5 C	2,6 A	2,13 A	1,05 B	100 A	0,33 C	1,2 A	19,04 A	C	vodivosť, SO ₄ ²⁻
602690	KRAVANY	2021	0,77 C	5,45 A	2,12 A	3,03 A	8,27 A	0,59 C	2,4 A	21,05 A	C	vodivosť, SO ₄ ²⁻
		2022	0,92 B	7,05 A	8,22 A	4,76 A	1,75 A	0,78 C	2,5 A	40 A	C	SO ₄ ²⁻
742690	MUZLA	2022	0,74 C	5,21 A	3,63 A	9,09 A	0,31 C	0,66 C	1,53 A	40 A	C	vodivosť, NO ₃ ⁻ , SO ₄ ²⁻
743290	MUZLA	2022	0,49 C	1,66 A	1,77 A	2,43 A	30,3 A	0,27 C	0,85 C	3,92 A	C	vodivosť, SO ₄ ²⁻ , TOC

Q – 057 Kvartér dunajských terás na úpäti Hronskej pahorkatinyplocha: 196,70 km²

č. objektu	lokalita	rok	vodivosť	CHSK _{Mn}	Cl ⁻	NH ₄ ⁺	NO ₃ ⁻	SO ₄ ²⁻	TOC	As	bil.stav	ukazovateľ
28199	MUZLA	2021	1,22 A	5 A	5,17 A	16,66 A	0,49 C	1,98 A	2,72 A	40 A	C	NO ₃ ⁻
		2022	1,03 B	3,75 A	5,28 A	25 A	0,56 C	2,08 A	2,3 A	40 A	C	NO ₃ ⁻
38490	HURBANOVO-VELKY KONKOL	2022	1,03 B	4,8 A	5,4 A	8,33 A	0,72 C	1,44 A	1,62 A	40 A	C	NO ₃ ⁻
50190	MUZLA	2022	0,93 B	6,31 A	9,19 A	2,5 A	3,28 A	1,39 A	1,46 A	2,32 A	B	vodivosť
50290	MUZLA	2022	1,18 A	5 A	5,45 A	5,55 A	0,97 B	2,06 A	2,4 A	26,66 A	B	NO ₃ ⁻
50590	STUROVO	2022	0,77 C	12 A	3,57 A	25 A	0,51 C	1,23 A	1,76 A	4,76 A	C	vodivosť, NO ₃ ⁻
51890	BUC	2022	1,23 A	12 A	5,52 A	6,25 A	1,54 A	1,74 A	2,72 A	40 A	A	
53190	CHOTIN	2021	0,9 B	4,28 A	2,69 A	11,11 A	2,23 A	0,87 C	1,87 A	21,05 A	C	SO ₄ ²⁻
		2022	0,85 C	4,28 A	2,57 A	10 A	2,19 A	0,81 C	1,76 A	40 A	C	vodivosť, SO ₄ ²⁻
252290	MOCSKA PUSTA	2022	1,01 B	3,52 A	4,54 A	1 B	100 A	0,88 C	1,76 A	14,28 A	C	SO ₄ ²⁻
252390	MODRANY	2022	0,41 C	1,09 B	1,07 B	8,33 A	0,1 C	0,61 C	0,61 C	26,66 A	C	vodivosť, NO ₃ ⁻ , SO ₄ ²⁻ , TOC
602490	MOCA	2021	0,89 C	6,31 A	3,75 A	9,09 A	22,32 A	0,67 C	2,14 A	40 A	C	vodivosť, SO ₄ ²⁻
		2022	0,86 C	5,45 A	3,84 A	3,44 A	10,3 A	0,63 C	1,87 A	40 A	C	vodivosť, SO ₄ ²⁻

N – 058 Neogén Hronskej pahorkatinyplocha: 1061,40 km²

č. objektu	lokalita	rok	vodivosť	CHSK _{Mn}	Cl ⁻	NH ₄ ⁺	NO ₃ ⁻	SO ₄ ²⁻	TOC	As	bil.stav	ukazovateľ
22690	BAJC	2021	1,11 A	1,5 A	3,78 A	7,14 A	100 A	1,24 A	1,15 A	1,44 A	A	
		2022	1,03 B	1,5 A	3,05 A	7,14 A	1,13 A	1,37 A	0,96 B	0,58 C	C	As
54390	SVODIN	2022	0,91 B	12 A	1,64 A	12,5 A	0,28 C	51,02 A	3 A	14,28 A	C	NO ₃ ⁻

QN – 059 Kvartér hronských terás v Podunajskej nížineplocha: 365,20 km²

č. objektu	lokalita	rok	vodivosť	CHSK _{Mn}	Cl ⁻	NH ₄ ⁺	NO ₃ ⁻	SO ₄ ²⁻	TOC	As	bil.stav	ukazovateľ
54490	VELKE LUDINCE	2022	0,8 C	12 A	2,26 A	16,66 A	0,23 C	1,69 A	2,06 A	40 A	C	vodivosť, NO ₃ ⁻
54690	KURALANY	2022	1,53 A	5,71 A	17,18 A	8,33 A	1,43 A	12,1 A	3,15 A	26,66 A	A	
54890	MEDVECKE	2022	1,02 B	12 A	4,14 A	10 A	0,51 C	4,19 A	2 A	9,52 A	C	NO ₃ ⁻
54990	TEKOVSKÉ LUZANY	2022	1,15 A	12 A	3,75 A	40 A	0,57 C	2,53 A	3,33 A	10,52 A	C	NO ₃ ⁻
57190	ZELIEZOVCE	2021	0,87 C	5,71 A	2,89 A	16,66 A	0,52 C	1,07 B	1,42 A	6,89 A	C	vodivosť, NO ₃ ⁻
		2022	0,84 C	6,31 A	3,05 A	20 A	0,53 C	0,96 B	1,46 A	6,66 A	C	vodivosť, NO ₃ ⁻
58090	ZEMLIARE	2022	1,68 A	12 A	9,54 A	7,4 A	3,18 A	3,02 A	3,52 A	8,69 A	A	
146499	VELKY DVOR - BAZANTNICA	2022	0,89 C	3,75 A	2,47 A	5 A	0,36 C	1,67 A	1,57 A	10 A	C	vodivosť, NO ₃ ⁻

č. objektu	lokalita	rok	vodivosť	CHSK _{Mn}	Cl ⁻	NH ₄ ⁺	NO ₃ ⁻	SO ₄ ²⁻	TOC	As	bil.stav	ukazovateľ
146599	NYROVCE	2022	1,14 A	12 A	3,44 A	12,5 A	0,56 C	4,78 A	2,14 A	8,33 A	C	NO ₃ ⁻
257890	KALNA NAD HRONOM	2022	1,04 B	12 A	3,6 A	5,26 A	0,49 C	2,51 A	2 A	6,45 A	C	NO ₃ ⁻

Q – 060 Kvartér nivy Hrona v Podunajskej nížine

plocha: 279,2 km²

č. objektu	lokalita	rok	vodivosť	CHSK _{Mn}	Cl ⁻	NH ₄ ⁺	NO ₃ ⁻	SO ₄ ²⁻	TOC	As	bil.stav	ukazovateľ
50690	STUROVO	2021	0,76 C	4,8 A	2,58 A	8,33 A	0,39 C	1,03 B	1,57 A	8 A	C	vodivosť, NO ₃ ⁻
		2022	0,76 C	6,31 A	2,95 A	8,33 A	0,46 C	1,14 A	1,66 A	8,69 A	C	vodivosť, NO ₃ ⁻
56090	BINA	2021	0,44 C	1,79 A	0,77 C	0,88 C	100 A	0,37 C	0,56 C	0,51 C	C	vodivosť, Cl ⁻ , NH ₄ ⁺ , SO ₄ ²⁻ , TOC, As
		2022	0,46 C	1,5 A	0,86 C	0,84 C	100 A	0,37 C	0,59 C	0,36 C	C	vodivosť, Cl ⁻ , NH ₄ ⁺ , SO ₄ ²⁻ , TOC, As
56490	CATA-VYCHOD	2022	1,22 A	3 A	9,94 A	4,76 A	100 A	1,28 A	1,22 A	0,76 C	C	As
56590	ZALABA	2022	1,03 B	3 A	3,64 A	8,69 A	100 A	1,07 B	1,57 A	0,31 C	C	As
56990	SALOV - DOMASA	2021	1,17 A	3 A	3,2 A	1,75 A	100 A	1,03 B	1,53 A	0,35 C	C	As
		2022	1,14 A	4,13 A	3,23 A	1,49 A	100 A	1 B	1,53 A	0,2 C	C	As
57590	SIKENICA-TRHYNA-V.PESEK	2022	0,78 C	3 A	2,49 A	6,66 A	0,43 C	1,37 A	1,17 A	1,55 A	C	vodivosť, NO ₃ ⁻
58390	MYTNE LUDANY - VYCHOD	2022	1,13 A	5 A	5,62 A	4,76 A	3,31 A	1,42 A	1,57 A	4,08 A	A	
58490	VYSNE NAD HRONOM	2022	0,82 C	8 A	3,27 A	10 A	0,26 C	1,16 A	2 A	15,38 A	C	vodivosť, NO ₃ ⁻
58590	LEVICE - MAJER GENA	2021	1,35 A	6,31 A	4,15 A	33,33 A	2,07 A	5,16 A	3,63 A	1,73 A	A	
		2022	1,77 A	12 A	7,44 A	7,69 A	3,83 A	6,54 A	4 A	1,96 A	A	
58790	KALNICA	2021	1,5 A	12 A	6,68 A	40 A	0,81 C	2,36 A	3,33 A	9,09 A	C	NO ₃ ⁻
		2022	1,47 A	12 A	6,64 A	9,09 A	0,84 C	2,23 A	3,33 A	10,52 A	C	NO ₃ ⁻
58990	NOVY TEKOV	2022	1,65 A	12 A	8,29 A	7,14 A	0,94 B	3,78 A	3 A	7,69 A	B	NO ₃ ⁻
59490	HRONSKE KOSIHY	2021	1,31 A	7,05 A	7,63 A	40 A	1,16 A	2,53 A	2,4 A	0,98 B	A	
		2022	1,31 A	4,44 A	6,75 A	9,09 A	1,12 A	2,92 A	1,57 A	0,69 C	C	As
59790	VELKE KOZMALOVCE	2021	1,41 A	3,75 A	14,74 A	40 A	1,73 A	3,53 A	1,53 A	1,66 A	A	
		2022	1,39 A	12 A	15,52 A	11,11 A	2,12 A	4,26 A	1,81 A	1,86 A	A	
59890	RYBNIK	2022	1,18 A	12 A	7,89 A	11,11 A	0,57 C	3,96 A	2,5 A	1,02 B	C	NO ₃ ⁻
59990	TLMACE	2022	2,35 A	12 A	25,64 A	5,55 A	23,25 A	8,8 A	4,61 A	1,83 A	A	
258890	HORNA SEC	2022	1,8 A	12 A	8,27 A	9,09 A	9 A	1,53 A	2,22 A	4,87 A	A	
259190	STARY TEKOV	2021	1,5 A	4,28 A	11,06 A	25 A	4,78 A	1,5 A	1,71 A	4,65 A	A	
		2022	1,59 A	8 A	12,22 A	7,69 A	3,05 A	1,75 A	2,06 A	3,84 A	A	
744590	STUROVO	2022	0,69 C	2,6 A	2,43 A	0,86 C	100 A	0,6 C	0,75 C	0,22 C	C	vodivosť, NH ₄ ⁺ , SO ₄ ²⁻ , TOC, As

N – 061 Neogén strednej a J časti Ipeľskej pahorkatiny

plocha: 310,5 km²

č. objektu	lokalita	rok	vodivosť	CHSK _{Mn}	Cl ⁻	NH ₄ ⁺	NO ₃ ⁻	SO ₄ ²⁻	TOC	As	bil.stav	ukazovateľ
147199	MALA N/HRONOM	2022	1,16 A	5 A	8,3 A	25 A	0,94 B	2,92 A	2,14 A	10 A	B	NO ₃ ⁻
503890	KUBANOVO	2021	1,45 A	12 A	40,19 A	0,34 C	100 A	5,1 A	5 A	20 A	C	NH ₄ ⁺
		2022	1,41 A	12 A	42,37 A	0,38 C	100 A	5,48 A	10 A	40 A	C	NH ₄ ⁺

N – 062 Neogén Bátovskej pahorkatiny a Čajkovskej znížiny

plocha: 98,7 km²

P-G – 063 Kryštalinikum, mezozoikum a paleogén JZ časti pohoria Žiar a Handlovskej kotliny

plocha: 79,2 km²

č. objektu	lokalita	rok	vodivosť	CHSK _{Mn}	Cl ⁻	NH ₄ ⁺	NO ₃ ⁻	SO ₄ ²⁻	TOC	As	bil.stav	ukazovateľ
114599	RAZTOCNO	2021	2,51 A	6,15 A	196,07 A	28,57 A	8,15 A	12,95 A	5,71 A	12,5 A	A	
		2022	2,59 A	12 A	250 A	10 A	9,25 A	15,24 A	60 A	8,33 A	A	

č. objektu	lokalita	rok	vodivosť	CHSK _{Mn}	Cl ⁻	NH ₄ ⁺	NO ₃ ⁻	SO ₄ ²⁻	TOC	As	bil.stav	ukazovateľ
514390	MALA CAUSA	2021	1,3 A	5,45 A	97,84 A	0,21 C	41,58 A	2,64 A	3,24 A	40 A	C	NH ₄ ⁺
		2022	1,29 A	5 A	227,27 A	0,21 C	100 A	2,71 A	3 A	40 A	C	NH ₄ ⁺

M – 064 Mezozoikum S časti pohoria Žiar

plocha: 52,6 km²

P-G – 065 Mezozoikum, kryštalinikum a paleogén V časti Strážovských vrchov

plocha: 278,6 km²

č. objektu	lokalita	rok	vodivosť	CHSK _{Mn}	Cl ⁻	NH ₄ ⁺	NO ₃ ⁻	SO ₄ ²⁻	TOC	As	bil.stav	ukazovateľ
113199	NITRIAN.RUDNO	2022	2,42 A			16,66 A	9,34 A				A	
113699	DLZIN	2021	4,4 A	8,88 A	152,2 A	16,66 A	11,72 A	9,57 A	3,24 A	2,97 A	A	
		2022	5,86 A	3 A	147,05 A	25 A	20 A	14,04 A	2 A	2,63 A	A	

MP – 066 Mezozoikum a paleogén J časti Strážovských vrchov

plocha: 428,0 km²

č. objektu	lokalita	rok	vodivosť	CHSK _{Mn}	Cl ⁻	NH ₄ ⁺	NO ₃ ⁻	SO ₄ ²⁻	TOC	As	bil.stav	ukazovateľ
26690	HRADISTE -SEVER	2021	1,58 A	6,31 A	12,43 A	0,77 C	10,31 A	12,31 A	2,5 A	40 A	C	NH ₄ ⁺
		2022	1,78 A	12 A	19,23 A	1,28 A	12,5 A	21,55 A	15 A	40 A	A	
108199	NITR.SUCANY-PODVRATNA DOL.	2021	2,44 A	6,48 A	234,19 A	22,22 A	13,76 A	13,51 A	3 A	40 A	A	
		2022	2,45 A	12 A	500 A	50 A	14,7 A	15,92 A	3 A	40 A	A	
109499	SLATINA N/BEBR - PRI MLYNE	2022	2,16 A	12 A	89,28 A	8,33 A	6,32 A	15,15 A	5 A	40 A	A	
110199	DOLNE MOTESICE - JAZERO	2021	2,12 A	3,75 A	60,45 A	22,22 A	6,87 A	19,01 A	5,71 A	32 A	A	
		2022	2,14 A	12 A	65,78 A	12,5 A	8,77 A	18,93 A	60 A	40 A	A	

QN – 067 Neogén a kvartér Hornonitrianskej kotliny

plocha: 170,4 km²

č. objektu	lokalita	rok	vodivosť	CHSK _{Mn}	Cl ⁻	NH ₄ ⁺	NO ₃ ⁻	SO ₄ ²⁻	TOC	As	bil.stav	ukazovateľ
25190	NEDOZERY	2022	1,65 A	12 A	11,18 A	11,11 A	1,56 A	8,18 A	6 A	5,71 A	A	
25490	OPATOVCE NAD NITROU	2022	1,96 A	12 A	18,11 A	1,17 A	100 A	20,4 A	2,4 A	1 B	B	As
25690	NOVAKY - SEVER	2021	1,94 A	2,6 A	5,92 A	7,14 A	2,15 A	3,06 A	1,46 A	40 A	A	
		2022	1,83 A	7,05 A	4,96 A	7,69 A	2,09 A	2,7 A	2,5 A	21,05 A	A	
25890	BYSTRICANY	2021	1,72 A	2,92 A	8,57 A	11,11 A	2,37 A	4,02 A	1,27 A	3,22 A	A	
		2022	1,58 A	12 A	6,25 A	5 A	2,1 A	4,52 A	2,6 A	5,12 A	A	
225290	PRIEVIDZA - NECPALY	2021	1,76 A	8 A	8,16 A	9,09 A	5,18 A	6,75 A	4,28 A	40 A	A	
		2022	1,78 A	12 A	9,57 A	11,11 A	6,25 A	6,49 A	6 A	26,66 A	A	
225390	PRIEVIDZA - LETISKO	2021	1,46 A	3 A	4,47 A	0,71 C	38,31 A	9,78 A	1,87 A	0,35 C	C	NH ₄ ⁺ , As
		2022	1,39 A	4,8 A	3,4 A	0,52 C	100 A	14,12 A	2 A	0,32 C	C	NH ₄ ⁺ , As
225590	OPATOVCE NAD NITROU	2022	1,41 A	12 A	10,02 A	0,71 C	27,77 A	4,72 A	1,07 B	0,18 C	C	NH ₄ ⁺ , As
225790	NOVAKY	2021	1,39 A	2,5 A	8,05 A	3,33 A	19,01 A	4,92 A	1,25 A	5,71 A	A	
		2022	1,37 A	2,85 A	9,17 A	3,22 A	30,3 A	5,33 A	1,27 A	4,16 A	A	
226290	DIVIAKY NAD NITRICOU	2022	1,58 A	12 A	7,35 A	25 A	2,48 A	7,39 A	3,33 A	40 A	A	
226490	NITRIANSKE SUCANY	2021	1,19 A	12 A	1,81 A	12,5 A	2,32 A	6,18 A	4,28 A	7,69 A	A	
		2022	1,09 B	12 A	1,59 A	10 A	2,84 A	6,66 A	3,75 A	40 A	B	vodivosť
514590	NITRIANSKE PRAVNO	2021	1,43 A	12 A	39,12 A	1,66 A	100 A	1,26 A	15 A	40 A	A	
		2022	1,4 A	12 A	39,68 A	1,61 A	100 A	1,28 A	10 A	40 A	A	

GM – 068 Kryštalinikum a mezozoikum V časti Považského Inovca

plocha: 153,7 km²

č. objektu	lokalita	rok	vodivosť	CHSK _{Mn}	Cl ⁻	NH ₄ ⁺	NO ₃ ⁻	SO ₄ ²⁻	TOC	As	bil.stav	ukazovateľ
115399	STARA LEHOTA	2022	1,83 A	12 A	47,16 A	12,5 A	4,8 A	4,8 A	4,28 A	40 A	A	
115999	ZAVADA	2021	2,13 A	6,66 A	119,61 A	23,52 A	3,84 A	11,96 A	2,35 A	40 A	A	
		2022	2,13 A	4,28 A	89,28 A	8,33 A	3,28 A	12,43 A	2,5 A	40 A	A	

MG – 069 Mezozoikum a paleozoikum SV časti Tribčaplocha: 223,5 km²

č. objektu	lokality	rok	vodivosť	CHSK _{Mn}	Cl ⁻	NH ₄ ⁺	NO ₃ ⁻	SO ₄ ²⁻	TOC	As	bil.stav	ukazovateľ
113499	BRODZANY	2021	1,66 A	5 A	75,41 A	50 A	8,67 A	4,96 A	2,44 A	13,79 A	A	
		2022	1,64 A	12 A	75,75 A	25 A	8,06 A	5,48 A	2,72 A	12,5 A	A	
140899	VELKE POLE - STUDNA	2021	1,54 A	12 A	24,63 A	66,66 A	2,33 A	1,97 A	4,61 A	40 A	A	
		2022	1,44 A	12 A	24,27 A	25 A	2,59 A	1,86 A	5 A	40 A	A	

MG – 070 Kryštalínikum a mezozoikum J a strednej časti Tribčaplocha: 351,9 km²

č. objektu	lokality	rok	vodivosť	CHSK _{Mn}	Cl ⁻	NH ₄ ⁺	NO ₃ ⁻	SO ₄ ²⁻	TOC	As	bil.stav	ukazovateľ
108999	TOPOLCANY - SADOK	2021	1,9 A	7,27 A	91,82 A	50 A	12,37 A	3,57 A	12 A	8,69 A	A	
		2022	1,79 A	12 A	89,28 A	25 A	13,51 A	3,52 A	10 A	8,33 A	A	
116299	PODHORANY	2021	1,72 A	5 A	17,48 A	50 A	1,59 A	4,5 A	3,15 A	12,12 A	A	
		2022	1,68 A	12 A	16,33 A	50 A	1,57 A	4,95 A	3,33 A	12,5 A	A	

NQ – 071 Neogén Nitrianskej pahorkatinyplocha: 1577,0 km²

č. objektu	lokality	rok	vodivosť	CHSK _{Mn}	Cl ⁻	NH ₄ ⁺	NO ₃ ⁻	SO ₄ ²⁻	TOC	As	bil.stav	ukazovateľ
27290	BANOVICE N.BEB.- BISKUPICE	2022	1,33 A	12 A	5,21 A	7,14 A	1,93 A	6,32 A	3,75 A	40 A	A	
27590	OSTRATICE	2021	1,15 A	2,4 A	4,12 A	1,66 A	3,69 A	3,39 A	1,3 A	3,33 A	A	
		2022	1,11 A	2,5 A	4,24 A	1,29 A	100 A	3,16 A	1,42 A	4,54 A	A	
27790	CHYNORANY	2022	1,05 B	7,05 A	6,68 A	1,66 A	66,66 A	1,72 A	1,46 A	26,66 A	B	vodivosť
27890	NEDANOVCE	2022	1,07 B	12 A	3,66 A	2,12 A	0,73 C	2,76 A	3,33 A	40 A	C	NO ₃ ⁻
28290	TOPOLCANY	2021	1,1 A	4,61 A	2,98 A	16,66 A	1,26 A	2,9 A	2,14 A	3,92 A	A	
		2022	1,18 A	12 A	4,21 A	9,09 A	1,73 A	3,52 A	2,85 A	4,87 A	A	
28590	NITRIANSKA STREDA	2021	1,62 A	12 A	6,95 A	5,26 A	100 A	2,65 A	3,15 A	26,66 A	A	
		2022	1,52 A	12 A	7,25 A	5 A	100 A	2,43 A	2,85 A	21,05 A	A	
28790	PRESELANY	2022	0,86 C	4,8 A	0,98 B	0,3 C	100 A	1,63 A	1,39 A	23,52 A	C	vodivosť, NH ₄ ⁺
29090	KONIAROVCE	2022	1,22 A	4 A	2,21 A	1,33 A	52,63 A	1,85 A	1,39 A	2,61 A	A	
29490	CAKAJOVCE	2022	0,87 C	3,15 A	3,18 A	0,27 C	55,55 A	1,09 B	0,96 B	3,38 A	C	vodivosť, NH ₄ ⁺
30690	SLADECKOVCE- GORAZDOV	2022	1,33 A	12 A	10,5 A	100 A	0,89 C	8,92 A	3 A	40 A	C	NO ₃ ⁻
30990	RASTISLAVICE	2021	0,85 C	2,72 A	1,86 A	25 A	0,78 C	1,83 A	0,66 C	40 A	C	vodivosť, NO ₃ ⁻ , TOC
		2022	0,89 C	3,75 A	1,98 A	100 A	1,35 A	1,92 A	1,03 B	40 A	C	vodivosť
31090	JATOV	2022	0,45 C	2,14 A	0,91 B	50 A	0,76 C	0,48 C	0,71 C	40 A	C	vodivosť, NO ₃ ⁻ , SO ₄ ²⁻ , TOC
114099	VELKE DRZKOVCE	2021	1,99 A	12 A	11,46 A	16,66 A	1,55 A	13,08 A	6 A	9,09 A	A	
		2022	1,94 A	12 A	7,98 A	25 A	0,97 B	16,89 A	5 A	11,11 A	B	NO ₃ ⁻
222090	SALA-MOCENOK	2021	0,53 C	2,3 A	1,31 A	7,14 A	0,13 C	0,59 C	0,63 C	16,66 A	C	vodivosť, NO ₃ ⁻ , SO ₄ ²⁻ , TOC
		2022	0,58 C	3,33 A	1,7 A	16,66 A	0,15 C	0,88 C	1,3 A	40 A	C	vodivosť, NO ₃ ⁻ , SO ₄ ²⁻
228490	CHRABRANY	2022	1,18 A	12 A	4,77 A	3,84 A	2,27 A	2,02 A	2,4 A	4,08 A	A	
228890	PRESELANY	2022	0,94 B	3,75 A	3,37 A	4,16 A	0,39 C	1,89 A	1,76 A	26,66 A	C	NO ₃ ⁻
229690	DRAZOVCE	2021	0,94 B	6,66 A	2,4 A	0,48 C	100 A	1,18 A	0,98 B	12,9 A	C	NH ₄ ⁺
		2022	0,93 B	5 A	3,29 A	0,48 C	100 A	1,6 A	1,39 A	40 A	C	NH ₄ ⁺

Q – 072 Kvartér Nitry od mesta Nitra po Nové Zámkyplocha: 376,42 km²

č. objektu	lokality	rok	vodivosť	CHSK _{Mn}	Cl ⁻	NH ₄ ⁺	NO ₃ ⁻	SO ₄ ²⁻	TOC	As	bil.stav	ukazovateľ
30290	DOLNE KRŠKANY	2021	1,49 A	4,8 A	6,33 A	5,88 A	8,32 A	2,33 A	1,62 A	13,79 A	A	
		2022	1,64 A	1,93 A	6,94 A	1,35 A	100 A	4,03 A	1,62 A	40 A	A	
30490	IVANKA PRI NITRE	2021	0,93 B	5,45 A	1,88 A	0,84 C	100 A	1,3 A	1,5 A	21,05 A	C	NH ₄ ⁺
		2022	1,01 B	4,61 A	1,76 A	0,71 C	100 A	1,29 A	1,39 A	4,93 A	C	NH ₄ ⁺
30590	IVANKA PRI NITRE	2022	0,74 C	3,33 A	2,05 A	8,33 A	0,72 C	1,38 A	1,46 A	40 A	C	vodivosť, NO ₃ ⁻

č. objektu	lokalita	rok	vodivosť	CHSK _{Mn}	Cl ⁻	NH ₄ ⁺	NO ₃ ⁻	SO ₄ ²⁻	TOC	As	bil.stav	ukazovateľ
30790	CERNIK	2022	1,76 A	12 A	32,05 A	8,33 A	12,19 A	18,86 A	3,52 A	11,76 A	A	
36490	ULANY NAD ZITAVOU	2021	1,14 A	0,8 C	4,26 A	1,07 B	100 A	1,16 A	0,62 C	11,11 A	C	CHSK _{Mn} , TOC
		2022	1,18 A	1,57 A	4,46 A	0,88 C	100 A	1,01 B	0,81 C	2,38 A	C	NH ₄ ⁺ , TOC
37590	DVORY NAD ZITAVOU	2022	0,76 C	2,5 A	3,25 A	16,66 A	0,36 C	1,01 B	1,36 A	11,11 A	C	vodivosť, NO ₃ ⁻
37790	NOVE ZAMKY-SEVER	2022	0,68 C	3 A	1,81 A	25 A	0,96 B	0,71 C	1,57 A	40 A	C	vodivosť, SO ₄ ²⁻
37990	NOVE ZAMKY-JUH	2021	1,23 A	3,75 A	3,9 A	2,77 A	100 A	1,16 A	1,42 A	12,5 A	A	
		2022	1,18 A	4 A	3,47 A	2,56 A	100 A	1,19 A	1,33 A	6,77 A	A	
237190	BANOV	2022	0,96 B	2,72 A	1,93 A	2,43 A	100 A	0,81 C	1,3 A	1,88 A	C	SO ₄ ²⁻
237390	PALARIKOVO-LUDOVITOV	2022	0,71 C	3,33 A	4,52 A	16,66 A	1,56 A	1,4 A	1,25 A	16,66 A	C	vodivosť
602190	BANOV	2021	1,28 A	1,87 A	0,93 B	0,11 C	100 A	84,03 A	2,4 A	23,52 A	C	NH ₄ ⁺
		2022	1,21 A	3,75 A	0,85 C	0,16 C	100 A	250 A	2,72 A	40 A	C	Cl ⁻ , NH ₄ ⁺
602290	SURANY	2021	2,24 A	1,13 A	4,06 A	2,32 A	100 A	158,22 A	1,62 A	40 A	A	
		2022	2,06 A	3,75 A	3,88 A	1,21 A	100 A	250 A	1,57 A	40 A	A	

NQ – 073 Neogén Žitavskej pahorkatiny

plocha: 369,8 km²

č. objektu	lokalita	rok	vodivosť	CHSK _{Mn}	Cl ⁻	NH ₄ ⁺	NO ₃ ⁻	SO ₄ ²⁻	TOC	As	bil.stav	ukazovateľ
35290	MACHULINCE	2022	0,65 C	3,33 A	0,74 C	5,88 A	6,06 A	3,27 A	1,66 A	40 A	C	vodivosť, Cl ⁻
35390	ZLATE MORAVCE	2021	1,95 A	4,61 A	6,58 A	5,88 A	7,63 A	3,38 A	1,81 A	21,05 A	A	
		2022	1,81 A	5,71 A	3,4 A	5 A	4,01 A	7,88 A	3,33 A	23,52 A	A	
35590	VIESKA NAD ZITAVOU	2022	0,98 B	3,33 A	2,79 A	6,25 A	10,86 A	1,33 A	1,3 A	11,11 A	B	vodivosť
35790	DYCKA	2021	1,26 A	0,92 B	12,31 A	0,39 C	3,69 A	3,46 A	0,64 C	2,81 A	C	NH ₄ ⁺ , TOC
		2022	0,79 C	0,96 B	11,46 A	0,66 C	2,92 A	2,12 A	0,68 C	4,08 A	C	vodivosť, NH ₄ ⁺ , TOC
35990	MELEK	2022	1,47 A	12 A	5,26 A	2,77 A	2,19 A	2,84 A	2,14 A	11,11 A	A	
36190	VELKA MANA	2022	0,89 C	3 A	3,94 A	2,32 A	0,6 C	2,31 A	1,5 A	3,84 A	C	vodivosť, NO ₃ ⁻
235690	NOVA VES NAD ZITAVOU	2021	0,97 B	0,98 B	8,63 A	1,31 A	1,22 A	2,45 A	0,45 C	6,89 A	C	TOC
		2022	0,82 C	0,96 B	7,02 A	0,64 C	1,11 A	2,58 A	0,43 C	11,76 A	C	vodivosť, NH ₄ ⁺ , TOC

Q – 074 Kvartér medziriečia Podunajskej roviny

plocha: 848,8 km²

č. objektu	lokalita	rok	vodivosť	CHSK _{Mn}	Cl ⁻	NH ₄ ⁺	NO ₃ ⁻	SO ₄ ²⁻	TOC	As	bil.stav	ukazovateľ
12390	TOMASIKOVO	2022	1,26 A	3,15 A	4,95 A	3,33 A	100 A	1,32 A	1,87 A	3,7 A	A	
12790	MOSTOVA	2021	1,1 A	1,66 A	4,78 A	8,33 A	3 A	1,39 A	0,93 B	10,52 A	B	TOC
		2022	1,21 A	2,72 A	5,06 A	4,76 A	14,92 A	1,6 A	1,3 A	14,28 A	A	
12890	KRALOV BROD	2021	1,07 B	2,4 A	2,83 A	1,69 A	100 A	1,25 A	1,09 B	1,9 A	B	vodivosť, TOC
		2022	1,25 A	2,22 A	6,03 A	1,13 A	100 A	1,85 A	1,13 A	2,17 A	A	
12990	DIAKOVCE	2021	0,73 C	1,66 A	5,13 A	11,11 A	0,18 C	1,24 A	0,72 C	15,38 A	C	vodivosť, NO ₃ ⁻ , TOC
		2022	0,69 C	2,4 A	4,67 A	5 A	0,17 C	1,25 A	1,03 B	40 A	C	vodivosť, NO ₃ ⁻
22290	TOPOLNICA	2022	1,07 B	2,85 A	4,19 A	1,13 A	100 A	1,41 A	1,42 A	2,38 A	B	vodivosť
22890	KOMOCA	2022	1,3 A	4,28 A	9,45 A	3,84 A	100 A	1,55 A	1,5 A	40 A	A	
23590	SALA	2021	0,98 B	2,4 A	1,68 A	0,08 C	100 A	0,98 B	0,85 C	17,39 A	C	NH ₄ ⁺ , TOC
23690	ZIHAREC	2022	1,64 A	1,27 A	10,96 A	0,03 C	100 A	68,49 A	1,2 A	6,06 A	C	NH ₄ ⁺
23890	NEDED	2022	1,23 A	0,68 C	8,41 A	0,01 C	100 A	69,44 A	0,98 B	26,66 A	C	CHSK _{Mn} , NH ₄ ⁺
25090	NESVADY	2021	0,99 B	3,33 A	2,25 A	0,54 C	100 A	1,18 A	0,75 C	10,52 A	C	NH ₄ ⁺ , TOC
		2022	1,13 A	3,52 A	3,05 A	0,5 C	100 A	1,97 A	1,11 A	19,04 A	C	NH ₄ ⁺
38690	HURBANOVO-MALY VEK	2021	1,36 A	1,71 A	6 A	40 A	2,2 A	3,44 A	1,57 A	5,71 A	A	
		2022	1,33 A	3,75 A	5,79 A	5,55 A	0,83 C	3,61 A	1,62 A	4,76 A	C	NO ₃ ⁻
61690	BODZA-LUKY	2022	0,93 B	1,57 A	6,69 A	0,8 C	100 A	0,98 B	0,83 C	23,52 A	C	NH ₄ ⁺ , TOC
211990	GALANTA	2021	0,79 C	5,21 A	1,28 A	2,63 A	100 A	1,5 A	1,57 A	4,34 A	C	vodivosť
		2022	1,04 B	5 A	2,9 A	3,03 A	100 A	2,45 A	2 A	4,16 A	B	vodivosť
224490	VRBOVA N/V - VELKY KINDES	2021	1,08 B	8 A	7,57 A	11,11 A	1,47 A	1,7 A	2,06 A	40 A	B	vodivosť
		2022	1,12 A	12 A	8,46 A	8,33 A	4,95 A	1,79 A	2,5 A	40 A	A	
237490	PALARIKOVO	2021	0,77 C	0,41 C	6,36 A	1,05 B	100 A	0,53 C	0,43 C	10,52 A	C	vodivosť, CHSK _{Mn} , SO ₄ ²⁻ , TOC
		2022	0,71 C	0,74 C	5,7 A	0,82 C	100 A	0,46 C	0,42 C	10 A	C	vodivosť, CHSK _{Mn} , NH ₄ ⁺ , SO ₄ ²⁻ , TOC

č. objektu	lokalita	rok	vodivosť	CHSK _{Mn}	Cl ⁻	NH ₄ ⁺	NO ₃ ⁻	SO ₄ ²⁻	TOC	As	bil.stav	ukazovateľ
253890	KOMARNO - KOMOCIN	2021	1,37 A	2,3 A	6,64 A	5,55 A	100 A	2,11 A	2,4 A	26,66 A	A	
		2022	1,35 A	5,45 A	6,97 A	2,85 A	100 A	2,15 A	2 A	40 A	A	
262890	KOLAROVO	2022	1,6 A	2,3 A	5,13 A	0,87 C	100 A	2,23 A	1,36 A	40 A	C	NH ₄ ⁺
732890	TRHOVA HRADSKA	2022	1,17 A	8 A	4,42 A	9,09 A	1,61 A	1,23 A	4 A	40 A	A	
737090	KOLAROVO	2022	1,35 A	1,57 A	10,06 A	0,74 C	100 A	2,1 A	0,95 B	8,33 A	C	NH ₄ ⁺
911090	HORNE SALIBY-DOLNA LUKA	2022	1,22 A	4,44 A	5,96 A	2,22 A	100 A	1,92 A	1,62 A	1,55 A	A	

Q-G – 075 Paleozoikum a mladšie útvary časti povodia horného Hrona po Piesok

plocha: 704,2 km²

č. objektu	lokalita	rok	vodivosť	CHSK _{Mn}	Cl ⁻	NH ₄ ⁺	NO ₃ ⁻	SO ₄ ²⁻	TOC	As	bil.stav	ukazovateľ
89690	BREZNO	2021	1,78 A	1,53 A	3,83 A	16,66 A	1,07 B	4,95 A	0,96 B	3,92 A	B	NO ₃ ⁻ , TOC
		2022	1,59 A	1,87 A	2,74 A	12,5 A	1,08 B	4,97 A	1,03 B	5,26 A	B	NO ₃ ⁻ , TOC
89890	POLOMKA-HAMOR	2021	2,16 A	0,31 C	500 A	0,86 C	42,91 A	23,92 A	0,46 C	2,27 A	C	CHSK _{Mn} , NH ₄ ⁺ , TOC
		2022	2,21 A	0,69 C	263,15 A	1,72 A	26,31 A	18,72 A	0,51 C	4,87 A	C	CHSK _{Mn} , TOC

MG – 076 Kryštalínikum a mezozoikum JZ svahov Nízkyh Tatier

plocha: 384,5 km²

č. objektu	lokalita	rok	vodivosť	CHSK _{Mn}	Cl ⁻	NH ₄ ⁺	NO ₃ ⁻	SO ₄ ²⁻	TOC	As	bil.stav	ukazovateľ
122699	VALASKA - VYVIERACKA	2021	3,19 A	7,74 A	91,74 A	10 A	9,18 A	14,59 A	5 A	9,52 A	A	
		2022	3,3 A	12 A	89,28 A	25 A	11,36 A	15,15 A	5 A	8,33 A	A	
125199	H.LEHOTA-ST. TRANGOSKA	2022	10,72 A	12 A	500 A	25 A	25 A	27,77 A	6 A	2,5 A	A	
126199	MEDZIBROD - TRSTIE	2021	2,39 A	9,6 A	400 A	25 A	10,15 A	14,32 A	5,71 A	40 A	A	
		2022	2,33 A	12 A	500 A	16,66 A	11,9 A	14,88 A	10 A	40 A	A	
130699	MYTO POD DUMBIEROM	2021	5,31 A	3,28 A	11,7 A	30,76 A	17,74 A	13,17 A	6 A	1,68 A	A	
		2022	5 A	12 A	8,14 A	10 A	15,62 A	15,24 A	3,75 A	1,92 A	A	
130799	JASENIE	2021	10,33 A	4,28 A	500 A	100 A	12,85 A	17,73 A	15 A	0,56 C	C	As
		2022	10,22 A	12 A	500 A	10 A	13,15 A	19,53 A	7,5 A	0,61 C	C	As
131199	DOLNA LEHOTA-UHLISTE	2021	11,65 A	3,52 A	500 A	23,52 A	28,2 A	29,79 A	4,8 A	7,54 A	A	
		2022	10,95 A	4,28 A	500 A	5,55 A	18,51 A	25,25 A	5 A	10 A	A	
132899	BRUSNO	2021	3,94 A	8,88 A	133,15 A	13,33 A	8,74 A	15,87 A	4,8 A	0,2 C	C	As
		2022	3,99 A	12 A	100 A	10 A	9,25 A	16,12 A	4,28 A	0,21 C	C	As
450190	DUBOVA - ZAMOSTIE - NEMECKA	2021	2,73 A	12 A	67,75 A	26,66 A	10,26 A	11,28 A	7,5 A	8 A	A	
		2022	2,68 A	12 A	69,44 A	7,14 A	10,63 A	11,36 A	30 A	9,09 A	A	

MG – 077 Mezozoikum a paleozoikum Starohorských vrchov a S časti Zvolenskej kotliny

plocha: 187,7 km²

č. objektu	lokalita	rok	vodivosť	CHSK _{Mn}	Cl ⁻	NH ₄ ⁺	NO ₃ ⁻	SO ₄ ²⁻	TOC	As	bil.stav	ukazovateľ
130999	MOSTENICA - KYSLA	2021	1,63 A	4,89 A	315,45 A	21,05 A	11,59 A	1,1 A	4,13 A	40 A	A	
		2022	1,39 A	12 A	500 A	50 A	16,12 A	0,81 C	3,33 A	40 A	C	SO ₄ ²⁻
132199	BALAZE,pr.PODKALISTE	2021	5,55 A	12 A	500 A	18,18 A	12,17 A	28,61 A	8 A	40 A	A	
		2022	5,5 A	3,75 A	500 A	16,66 A	11,9 A	28,4 A	7,5 A	40 A	A	
538290	LUCATIN	2021	1,75 A	12 A	211,86 A	17,39 A	100 A	8,49 A	4,61 A	40 A	A	
		2022	1,75 A	12 A	500 A	8,33 A	100 A	7,73 A	15 A	40 A	A	

MG – 078 Mezozoikum a predmezozoické útvary SV časti Zvolenskej kotliny a SZ časti Veporských vrchov

plocha: 248.4 km²

č. objektu	lokalita	rok	vodivost'	CHSK _{Mn}	Cl ⁻	NH ₄ ⁺	NO ₃ ⁻	SO ₄ ²⁻	TOC	As	bil.stav	ukazovateľ
122199	OSRBLIE - TEPLICA	2021	3,89 A	5,21 A	500 A	12,5 A	10,14 A	24,03 A	7,5 A	16,66 A	A	
		2022	4,4 A	12 A	500 A	16,66 A	11,62 A	22,72 A	6 A	20 A	A	
135899	CACIN	2022	3,51 A			25 A	7,69 A				A	
620490	BANSKA BYSTRICA-SALKOVA	2021	1,88 A	1,87 A	35,26 A	8,33 A	100 A	13,73 A	1 B	0,87 C	C	As
		2022	1,83 A	3,33 A	26,59 A	8,33 A	100 A	12,43 A	1,11 A	1,13 A	A	

MP – 079 Mezozoikum Kremnických vrchov a západnej časti Zvolenskej kotliny

plocha: 60,5 km²

č. objektu	lokalita	rok	vodivost'	CHSK _{Mn}	Cl ⁻	NH ₄ ⁺	NO ₃ ⁻	SO ₄ ²⁻	TOC	As	bil.stav	ukazovateľ
128799	KRALIKY	2021	5,45 A	12 A	500 A	16,66 A	15,77 A	14,61 A	3,75 A	3,12 A	A	
		2022	5,31 A	6 A	94,33 A	16,66 A	15,15 A	13,29 A	4,28 A	3,84 A	A	

Q – 080 Kvartér nivy Hrona a Slatiny od Slovenskej Ľupče po Tlmače

plocha: 80.5 km²

č. objektu	lokalita	rok	vodivost'	CHSK _{Mn}	Cl ⁻	NH ₄ ⁺	NO ₃ ⁻	SO ₄ ²⁻	TOC	As	bil.stav	ukazovateľ
76290	LOVCA	2021	1,8 A	8 A	3,04 A	5,88 A	100 A	4,39 A	3,15 A	1,94 A	A	
		2022	1,82 A	8 A	3,11 A	3,84 A	40 A	4,21 A	3,33 A	1,92 A	A	
76590	HLINIK NAD HRONOM	2022	0,79 C	12 A	4,31 A	1,21 A	20 A	2,06 A	2 A	0,62 C	C	vodivost', As
76790	DOLNA ZDANA - HLINIK N.H.	2021	1,2 A	2,5 A	5,43 A	40 A	5,37 A	4,55 A	1,42 A	5,55 A	A	
		2022	1,14 A	3,52 A	6,06 A	6,66 A	100 A	4,3 A	1,46 A	5,55 A	A	
77990	RUDNO NAD HRONOM	2021	2,12 A	1,13 A	14,8 A	14,28 A	44,24 A	7,4 A	0,76 C	2,81 A	C	TOC
		2022	2,29 A	3 A	9,88 A	5,88 A	100 A	7,55 A	1,46 A	3,07 A	A	
78590	TEKOVSKA BREZNICA	2021	1,99 A	4,28 A	31,6 A	13,33 A	66,66 A	7,59 A	2,22 A	17,39 A	A	
		2022	1,83 A	12 A	37,87 A	6,25 A	100 A	6,13 A	2 A	2,43 A	A	
78990	KOZAROVCE - ZA MLYNOM	2021	1,14 A	12 A	5,41 A	40 A	0,97 B	2,35 A	2,5 A	2,1 A	B	NO ₃ ⁻
		2022	1,06 B	12 A	4,81 A	14,28 A	1,01 B	2,05 A	2,3 A	2,06 A	B	vodivost', NO ₃ ⁻
88390	HRONSEK	2022	1,32 A	1,2 A	2,52 A	12,5 A	3,69 A	7,54 A	0,85 C	1,49 A	C	TOC
88890	BANSKA BYSTRICA-MAJER	2021	1,63 A	3,52 A	18,18 A	28,57 A	6,47 A	8,92 A	2,72 A	7,14 A	A	
		2022	1,55 A	12 A	16,94 A	14,28 A	18,86 A	6,77 A	2,5 A	7,69 A	A	
90090	KREMnickA	2021	1,81 A	12 A	7,5 A	33,33 A	13,14 A	8,96 A	6 A	10 A	A	
		2022	1,12 A	5,71 A	2,06 A	16,66 A	22,72 A	2,02 A	3,42 A	10,52 A	A	
286190	SASOVSKÉ PODHRADIE	2021	1,36 A	1,57 A	6,72 A	3,7 A	100 A	3,02 A	0,66 C	0,86 C	C	TOC, As
		2022	1,43 A	2 A	10,96 A	2,94 A	100 A	3,03 A	1,05 B	0,71 C	C	As
286690	SLIAC	2021	1,84 A	2,4 A	10 A	14,28 A	6,48 A	3,64 A	1,17 A	3,77 A	A	
		2022	1,93 A	3,33 A	8,65 A	14,28 A	8,84 A	6,25 A	1,71 A	4,65 A	A	

NQ – 081 Neogén Zvolenskej kotliny - západná časť

plocha: 21.6 km²

č. objektu	lokalita	rok	vodivost'	CHSK _{Mn}	Cl ⁻	NH ₄ ⁺	NO ₃ ⁻	SO ₄ ²⁻	TOC	As	bil.stav	ukazovateľ
286490	ZVOLEN	2022	1,71 A	5,71 A	8,6 A	7,14 A	4,18 A	4,66 A	3,33 A	2,7 A	A	

V – 082 Neovulkanity Kremnických vrchov

plocha: 502.1 km²

č. objektu	lokalita	rok	vodivost'	CHSK _{Mn}	Cl ⁻	NH ₄ ⁺	NO ₃ ⁻	SO ₄ ²⁻	TOC	As	bil.stav	ukazovateľ
46990	TURCEK - KV-15A	2021	13,46 A	12 A	500 A	16,66 A	9,74 A	24,5 A	15 A	16,66 A	A	
		2022	13,26 A	12 A	500 A	25 A	10,63 A	28,4 A	10 A	40 A	A	
106399	HANDLOVA REMATA	2021	5,38 A	5 A	500 A	8,33 A	14,7 A	9,32 A	4,28 A	40 A	A	
		2022	10,53 A	12 A	500 A	10 A	8,92 A	19,53 A	60 A	40 A	A	
129299	KORDIKY	2021	17,4 A	12 A	500 A	100 A	10,91 A	34,29 A	7,5 A	40 A	A	
		2022	16,75 A	3,75 A	500 A	12,5 A	10,41 A	39,68 A	7,5 A	40 A	A	
138699	HORNA VES	2021	10,88 A	12 A	178,57 A	12,5 A	26,73 A	6,23 A	4,28 A	14,28 A	A	
		2022	9,36 A	12 A	227,27 A	16,66 A	100 A	5,41 A	6 A	12,5 A	A	
129099	KORDIKY	2022	2,41 A	12 A	500 A	25 A	5,1 A	24,63 A	3 A	40 A	A	

V – 083 Neovulkanity pohoria Poľany a časti Zvolenskej kotlinyplocha: 267.6 km²

č. objektu	lokality	rok	vodivosť	CHSK _{Mn}	Cl ⁻	NH ₄ ⁺	NO ₃ ⁻	SO ₄ ²⁻	TOC	As	bil.stav	ukazovateľ
511690	DETVA - KOSTOLNA VN-16	2021	5,45 A	12 A	101,62 A	50 A	8,41 A	16,55 A	7,5 A	40 A	A	
		2022	5,23 A	12 A	100 A	25 A	9,25 A	17,36 A	5 A	40 A	A	

NV – 084 Neogén Zvolenskej kotliny - východná časťplocha: 159.4 km²

č. objektu	lokality	rok	vodivosť	CHSK _{Mn}	Cl ⁻	NH ₄ ⁺	NO ₃ ⁻	SO ₄ ²⁻	TOC	As	bil.stav	ukazovateľ
75390	ZVOLEN	2021	1,05 B	5 A	1,47 A	16,66 A	1,42 A	4,52 A	3,33 A	4,54 A	B	vodivosť
		2022	1,25 A	12 A	7,86 A	4,54 A	6,41 A	14,97 A	3,33 A	6,66 A	A	
87790	ZOLNA	2022	0,89 C	12 A	0,98 B	3,33 A	100 A	5,27 A	1,66 A	14,28 A	C	vodivosť

G – 085 Kryštalinikum Detvianskej kotliny a Sihlianskej planiny v povodí Slatinyplocha: 107.1 km²**V – 086 Neovulkanity pohorí Vtáčnik a Pohronský Inovec**plocha: 622.4 km²

č. objektu	lokality	rok	vodivosť	CHSK _{Mn}	Cl ⁻	NH ₄ ⁺	NO ₃ ⁻	SO ₄ ²⁻	TOC	As	bil.stav	ukazovateľ
142099	VELKA LEHOTA	2022	13,55 A			7,14 A	11,11 A				A	
513890	LEHOTA POD VTACNIK.VN-38	2021	10,77 A	12 A	500 A	25 A	11,44 A	33,51 A	10 A	5,88 A	A	
		2022	10,96 A	12 A	500 A	25 A	14,28 A	49,01 A	60 A	3,84 A	A	

N – 087 Neogén Žiarskej kotlinyplocha: 75.7 km²

č. objektu	lokality	rok	vodivosť	CHSK _{Mn}	Cl ⁻	NH ₄ ⁺	NO ₃ ⁻	SO ₄ ²⁻	TOC	As	bil.stav	ukazovateľ
554490	ZIAR NAD HRONOM	2021	2,14 A	7,5 A	15,33 A	100 A	100 A	16,23 A	7,5 A	0,04 C	C	As
		2022	2,08 A	12 A	16,89 A	3,84 A	100 A	23,36 A	3,75 A	0,05 C	C	As

V – 088 Neovulkanity S svahov Štiavnických vrchov a Javoriaplocha: 1003.2 km²

č. objektu	lokality	rok	vodivosť	CHSK _{Mn}	Cl ⁻	NH ₄ ⁺	NO ₃ ⁻	SO ₄ ²⁻	TOC	As	bil.stav	ukazovateľ
87290	DOBRA NIVA	2021	3,98 A	12 A	102,04 A	50 A	11,99 A	17,73 A	60 A	40 A	A	
		2022	3,89 A	12 A	59,52 A	3,84 A	7,35 A	19,23 A	30 A	20 A	A	
87390	PODZAMCOK	2021	5,29 A	12 A	89,6 A	100 A	12,22 A	32,76 A	15 A	16,66 A	A	
		2022	5,1 A	12 A	62,5 A	4,16 A	8,62 A	22,52 A	60 A	14,28 A	A	
139499	PODHORIE	2021	2,39 A	12 A	213,67 A	100 A	9,17 A	4,96 A	7,5 A	4,54 A	A	
		2022	2,34 A	12 A	208,33 A	16,66 A	9,09 A	5,11 A	6 A	5,88 A	A	
142399	BREHY	2021	3,38 A	12 A	242,71 A	50 A	19,68 A	3,21 A	7,5 A	20 A	A	
		2022	3,36 A	12 A	500 A	50 A	22,72 A	3,86 A	10 A	40 A	A	
145899	PUKANEC. pr. ERGI STOLNA	2021	2,68 A	12 A	225,22 A	50 A	100 A	2,19 A	15 A	40 A	A	
		2022	2,68 A	12 A	208,33 A	16,66 A	100 A	2,15 A	60 A	40 A	A	
539290	NOVA DEDINA-GONDOVO	2021	3,27 A	0,88 C	500 A	7,14 A	100 A	12,56 A	0,69 C	6,25 A	C	CHSK _{Mn} , TOC
		2022	3,06 A	1 B	208,33 A	1,08 B	100 A	25,77 A	0,83 C	5 A	C	TOC

GN – 089 Kryštalinikum Revúckej vrchoviny a Stolických vrchov v povodí Ipľaplocha: 522.5 km²**NQ – 090 Neogén Lučenskej kotliny**plocha: 303.8 km²

lokality	rok	vodivosť	CHSK _{Mn}	Cl ⁻	NH ₄ ⁺	NO ₃ ⁻	SO ₄ ²⁻	TOC	As	bil.stav	ukazovateľ
VELKE DRAVCE - FIL.PUSTA	2021	1,46 A	1,33 A	4,5 A	4,16 A	64,1 A	1,93 A	1 B	11,11 A	B	TOC
	2022	1,37 A	3 A	5,26 A	3,57 A	100 A	2,13 A	1,15 A	12,5 A	A	
TOMASOVCE	2021	2,95 A	8 A	7,4 A	28,57 A	17,45 A	7,73 A	5,45 A	26,66 A	A	
	2022	2,86 A	4,28 A	6,94 A	3,57 A	14,7 A	6,17 A	7,5 A	16,66 A	A	

Q – 091 Kvartér Ipľa

plocha: 194.3 km²

č. objektu	lokality	rok	vodivosť	CHSK _{Mn}	Cl ⁻	NH ₄ ⁺	NO ₃ ⁻	SO ₄ ²⁻	TOC	As	bil.stav	ukazovateľ
80190	MALE KOSIHY	2021	1,01 B	3,15 A	6,18 A	8,33 A	21,55 A	0,64 C	1,39 A	40 A	C	SO ₄ ²⁻
		2022	0,95 B	6,31 A	6,32 A	0,46 C	20,4 A	0,62 C	1,39 A	40 A	C	NH ₄ ⁺ , SO ₄ ²⁻
80590	VYSKOVCE NAD IPLOM	2021	1,69 A	3 A	18,45 A	18,18 A	15,33 A	1,78 A	1,3 A	15,38 A	A	
		2022	1,54 A	12 A	15,29 A	3,84 A	100 A	2,46 A	2,3 A	9,52 A	A	
80690	VYSKOVCE NAD	2022	1,5 A	12 A	22,42 A	7,69 A	2,4 A	4,08 A	3,52 A	6,06 A	A	
81490	SELESTANY - SLOVENSKE DARMOTY	2021	1,02 B	2,6 A	7,64 A	1,42 A	0,65 C	1,6 A	1,22 A	6,06 A	C	NO ₃ ⁻
		2022	1,16 A	4 A	7,56 A	1,06 B	43,47 A	2,02 A	1,22 A	5,88 A	B	NH ₄ ⁺
81790	IPELSKY SOKOLEC	2022	0,73 C	4 A	3,73 A	0,08 C	0,38 C	0,88 C	1,3 A	5,71 A	C	vodivosť, NH ₄ ⁺ , NO ₃ ⁻ , SO ₄ ²⁻
83390	KIAROV	2022	0,42 C	5,71 A	0,81 C	5,88 A	0,11 C	0,62 C	1,81 A	26,66 A	C	vodivosť, Cl ⁻ , NO ₃ ⁻ , SO ₄ ²⁻
83490	KOVACOVCE	2021	1,6 A	12 A	13,85 A	40 A	0,6 C	2,97 A	2,14 A	26,66 A	C	NO ₃ ⁻
		2022	1,55 A	12 A	14,66 A	6,25 A	0,57 C	2,85 A	2,5 A	40 A	C	NO ₃ ⁻
84390	VELKA NAD IPLOM	2021	1,67 A	1,76 A	5,8 A	1,19 A	100 A	1,5 A	1,46 A	40 A	A	
		2022	1,81 A	2,14 A	6,94 A	0,9 B	100 A	1,85 A	1,42 A	40 A	B	NH ₄ ⁺
85090	HOLISA	2021	1,56 A	1,36 A	5,61 A	1,66 A	6,28 A	1,13 A	1,5 A	40 A	A	
		2022	1,97 A	4,13 A	9,02 A	0,9 B	100 A	1,5 A	1,76 A	1,98 A	B	NH ₄ ⁺
158499	VELKA VES N IPLOM, pr. CURGO	2021	1,43 A	6 A	5,86 A	16,66 A	2,17 A	3,62 A	3,33 A	40 A	A	
		2022	1,4 A	12 A	6,17 A	25 A	2,84 A	3,84 A	5 A	40 A	A	
281190	KOSIHY NAD IPLOM	2021	1,13 A	7,05 A	5,14 A	16,66 A	11,08 A	1,25 A	1,57 A	7,14 A	A	
		2022	1,07 B	8 A	4,84 A	4,76 A	10,63 A	1,13 A	1,53 A	7,14 A	B	vodivosť
284590	MIKUSOVCE	2021	2,25 A	2,03 A	8,1 A	0,58 C	53,76 A	2,28 A	1,36 A	13,33 A	C	NH ₄ ⁺
		2022	1,88 A	1,62 A	10,41 A	0,46 C	100 A	1,61 A	1,13 A	10 A	C	NH ₄ ⁺

NV – 092 Neogén západnej časti Cerovej vrchoviny

plocha: 224.1 km²

č. objektu	lokality	rok	vodivosť	CHSK _{Mn}	Cl ⁻	NH ₄ ⁺	NO ₃ ⁻	SO ₄ ²⁻	TOC	As	bil.stav	ukazovateľ
150899	RADZOVCE	2021	2,34 A	12 A	12,07 A	25 A	1,16 A	5,96 A	3,75 A	40 A	A	
		2022	2,26 A	12 A	12,62 A	7,14 A	1,25 A	7,22 A	5 A	40 A	A	

V – 093 Neovulkanity J svahov Štiavnických vrchov a Javoria

plocha: 290.0 km²

V – 094 Neovulkanity Krupinskej planiny, Ostrôžok a Pôtorskej pahorkatiny

plocha: 1430.7 km²

č. objektu	lokality	rok	vodivosť	CHSK _{Mn}	Cl ⁻	NH ₄ ⁺	NO ₃ ⁻	SO ₄ ²⁻	TOC	As	bil.stav	ukazovateľ
80990	DUDINCE	2022	1,37 A	2,72 A	23,36 A	1,02 B	14,28 A	1,98 A	1,87 A	2,85 A	B	NH ₄ ⁺
157799	SENOHRAD	2021	6,39 A	12 A	56,43 A	25 A	5,31 A	21,73 A	5 A	16,66 A	A	
		2022	5,98 A	12 A	67,56 A	25 A	7,24 A	37,87 A	6 A	20 A	A	
280890	TUPA	2022	52,3 A	12 A	13,96 A	7,14 A	0,08 C	0,41 C	2,3 A	6,25 A	C	NO ₃ ⁻ , SO ₄ ²⁻
512290	MEDOVARCE VN-22	2021	3,62 A	12 A	133,68 A	7,14 A	100 A	26,23 A	10 A	1,35 A	A	
		2022	3,52 A	5 A	147,05 A	5 A	100 A	31,25 A	10 A	1,56 A	A	
620690	HONTIANSKE TESARE	2021	4,57 A	5 A	105,48 A	16,66 A	100 A	27,02 A	1 B	40 A	B	TOC
		2022	2,34 A	12 A	108,69 A	6,25 A	50 A	250 A	1,3 A	40 A	A	

NQ – 095 Neogén Ipeľskej kotlinyplocha: 368.5 km²

č. objektu	lokality	rok	vodivosť	CHSK _{Mn}	Cl ⁻	NH ₄ ⁺	NO ₃ ⁻	SO ₄ ²⁻	TOC	As	bil.stav	ukazovateľ
82690	ZAHORCE	2022	1,5 A	12 A	21,73 A	0,81 C	100 A	5,07 A	4,28 A	20 A	C	NH ₄ ⁺
82890	SKLABINA	2022	0,72 C	1,36 A	2,38 A	5,55 A	29,41 A	1,05 B	0,61 C	11,11 A	C	vodivosť, TOC
157599	CEBOVCE	2021	0,8 C	12 A	2,65 A	2,94 A	100 A	0,73 C	1,3 A	40 A	C	vodivosť, SO ₄ ²⁻
		2022	0,8 C	12 A	2,95 A	2,5 A	100 A	0,87 C	1,5 A	40 A	C	vodivosť, SO ₄ ²⁻

V – 096 Neovulkanity Burdyplocha: 28.2 km²**Q-M – 097 Paleogén a kvartér povodia Laborca po Brekov a mezozoikum Humenských vrchov**plocha: 1230.3 km²

č. objektu	lokality	rok	vodivosť	CHSK _{Mn}	Cl ⁻	NH ₄ ⁺	NO ₃ ⁻	SO ₄ ²⁻	TOC	As	bil.stav	ukazovateľ
113890	VYSNE CABINY - KRASNY BROD	2021	1,05 B	8 A	1,2 A	18,18 A	35,21 A	11,41 A	2 A	8,69 A	B	vodivosť
		2022	1,26 A	3,63 A	1,32 A	14,28 A	43,47 A	9,72 A	1,42 A	11,76 A	A	
114990	KAMENICA NAD CIROCHOU	2022	1,49 A	4,61 A	6,49 A	3,7 A	27,02 A	14,83 A	2,4 A	40 A	A	
133690	ROVNE	2021	2,28 A	12 A	33,31 A	14,28 A	4,34 A	8,54 A	2,85 A	40 A	A	
		2022	2,32 A	12 A	29,23 A	14,28 A	3,83 A	8,5 A	3,15 A	40 A	A	
135090	KOSKOVCE	2021	1,65 A	12 A	75,41 A	2,27 A	54,94 A	2,41 A	2,5 A	40 A	A	
		2022	1,58 A	12 A	71,42 A	2,5 A	100 A	2,14 A	2,5 A	40 A	A	
160699	KAM.N.CIR.	2022	1,98 A			4,34 A	11,11 A				A	
160799	CUKALOVCE	2021	2,1 A	12 A	54,11 A	25 A	3,87 A	8,71 A	4,28 A	40 A	A	
		2022	2,07 A	12 A	64,1 A	25 A	5,61 A	8,77 A	4,28 A	40 A	A	
314190	LUBISA	2021	1,94 A	1,93 A	10,34 A	16,66 A	10,85 A	6,04 A	1,2 A	23,52 A	A	
		2022	1,83 A	2,5 A	10,52 A	12,5 A	6,75 A	4,92 A	1,39 A	26,66 A	A	
314390	BREKOV	2021	1,57 A	2,6 A	4,03 A	6,25 A	32,89 A	4,98 A	1,81 A	15,38 A	A	
		2022	1,53 A	3,33 A	4 A	4,76 A	100 A	4,92 A	1,87 A	12,5 A	A	
314890	DLHE N/ CIROCHOU	2021	2,64 A	2,72 A	12,07 A	14,28 A	8,19 A	8,65 A	1,87 A	40 A	A	
		2022	2,56 A	4,28 A	11,21 A	14,28 A	7,4 A	7,34 A	2,5 A	40 A	A	
163399	CHLMEC	2022	2,22 A			2,7 A	3,5 A				A	

P – 098 Paleogén povodia Uhuplocha: 394.9 km²

č. objektu	lokality	rok	vodivosť	CHSK _{Mn}	Cl ⁻	NH ₄ ⁺	NO ₃ ⁻	SO ₄ ²⁻	TOC	As	bil.stav	ukazovateľ
165599	RUSKA BYSTRA - POD DIELOM	2021	5 A	12 A	97,27 A	25 A	9,54 A	13,36 A	3,33 A	20 A	A	
		2022	4,25 A	5 A	46,29 A	16,66 A	12,82 A	12,19 A	3,75 A	40 A	A	

VN – 100 Neovulkanity Vihorlatských vrchovplocha: 535.7 km²

č. objektu	lokality	rok	vodivosť	CHSK _{Mn}	Cl ⁻	NH ₄ ⁺	NO ₃ ⁻	SO ₄ ²⁻	TOC	As	bil.stav	ukazovateľ
124390	JASENOV	2022	1,41 A	3,33 A	1,65 A	12,5 A	5,74 A	9,54 A	1,3 A	40 A	A	
124490	CHONKOVCE	2022	2,48 A	2,72 A	104,16 A	12,5 A	9,8 A	35,21 A	1,2 A	40 A	A	
169499	REM.HAMRE-POD LYSAKOM	2022	12,31 A	12 A	500 A	16,66 A	19,23 A	21,55 A	6 A	40 A	A	
169599	PORUBKA - MOCIDLA	2021	15,96 A	0,93 B	500 A	25 A	15,97 A	22,72 A	0,76 C	16,66 A	C	TOC
		2022	6,89 A	1,2 A	500 A	25 A	20 A	83,33 A	2 A	16,66 A	A	
522790	PORUBA POD VIHORLATOM	2021	4,9 A	12 A	500 A	50 A	8,27 A	40,78 A	10 A	7,14 A	A	
		2022	4,68 A	12 A	500 A	8,33 A	8,92 A	55,55 A	15 A	8,33 A	A	

NQ – 101 Neogén Východoslovenskej nížiny medzi Laborcom a Čiernou vodouplocha: 231.5 km²

č. objektu	lokality	rok	vodivosť	CHSK _{Mn}	Cl ⁻	NH ₄ ⁺	NO ₃ ⁻	SO ₄ ²⁻	TOC	As	bil.stav	ukazovateľ
122990	VINNE	2022	0,89 C	3,33 A	1,05 B	16,66 A	2,06 A	4,77 A	1,42 A	9,09 A	C	vodivosť
124090	JOVSA	2021	4,2 A	12 A	114,15 A	4,54 A	100 A	250 A	10 A	40 A	A	
		2022	4,19 A	12 A	119,04 A	0,94 B	100 A	250 A	5 A	40 A	B	NH ₄ ⁺
124790	BLATNE REVISTIA	2022	2,32 A	12 A	12,19 A	12,5 A	100 A	43,1 A	5 A	40 A	A	
125590	VYSOKA N.UHOM-VYS.DVOR	2022	1,09 B	1,3 A	4,52 A	0,83 C	38,46 A	9,09 A	0,62 C	14,28 A	C	NH ₄ ⁺ , TOC

QN – 102 Kvartér SV časti Východoslovenskej nížiny pod Vihorlatom a Popričnýmplocha: 166.2 km²

č. objektu	lokality	rok	vodivosť	CHSK _{Mn}	Cl ⁻	NH ₄ ⁺	NO ₃ ⁻	SO ₄ ²⁻	TOC	As	bil.stav	ukazovateľ
124990	OSTROV	2022	1,72 A	12 A	5,37 A	0,42 C	100 A	4,51 A	2,14 A	40 A	C	NH ₄ ⁺
125090	POROSTOV	2022	2,2 A	12 A	6,65 A	1,38 A	100 A	250 A	5 A	13,79 A	A	
125190	BLATNA POLIANKA	2021	1,38 A	1,07 B	2,98 A	0,48 C	100 A	250 A	1,66 A	3,57 A	C	NH ₄ ⁺
		2022	1,34 A	2,6 A	3,04 A	0,5 C	100 A	250 A	1,46 A	5,55 A	C	NH ₄ ⁺
125290	TASULA	2022	2,27 A	1,87 A	10,5 A	0,64 C	100 A	250 A	1,22 A	23,52 A	C	NH ₄ ⁺
136590	HORNA-SOBRANCE	2022	1,78 A	5,45 A	12,72 A	4,76 A	2,25 A	2,37 A	1,62 A	13,33 A	A	
324290	UBREZ	2021	1,8 A	1,03 B	6,23 A	18,18 A	0,68 C	3,63 A	1,39 A	14,28 A	C	NO ₃ ⁻
		2022	1,67 A	4 A	5,31 A	5,55 A	0,73 C	3,61 A	1,42 A	16,66 A	C	NO ₃ ⁻

QN – 103 Kvartér dolnej časti tokov Uh. Laborec. Ondava a pravej strany Latoriceplocha: 350.1 km²

č. objektu	lokality	rok	vodivosť	CHSK _{Mn}	Cl ⁻	NH ₄ ⁺	NO ₃ ⁻	SO ₄ ²⁻	TOC	As	bil.stav	ukazovateľ
115190	VELKE KAPUSANY	2022	1,26 A	12 A	2,29 A	7,69 A	2,94 A	1,56 A	2,4 A	40 A	A	
133090	KRISOVSKA LIESKOVA	2022	2,35 A	5 A	3,71 A	10 A	19,6 A	4,7 A	2 A	23,52 A	A	
133290	IZKOVCE	2022	1,86 A	6,31 A	11,6 A	0,78 C	25,64 A	4,09 A	1,62 A	23,52 A	C	NH ₄ ⁺
133990	CICAROVCE	2021	2,69 A	7,05 A	19,3 A	0,24 C	33,33 A	4,03 A	2,4 A	23,52 A	C	NH ₄ ⁺
		2022	2,85 A	12 A	42,37 A	0,46 C	100 A	250 A	3,15 A	3,92 A	C	NH ₄ ⁺
328690	MALE RASKOVCE	2022	44,96 A	1,5 A	0,95 B	2,94 A	0,1 C	0,75 C	0,61 C	40 A	C	NO ₃ ⁻ , SO ₄ ²⁻ , TOC

QN – 104 Kvartér JV časti Východoslovenskej nížinyplocha: 379.2 km²

č. objektu	lokality	rok	vodivosť	CHSK _{Mn}	Cl ⁻	NH ₄ ⁺	NO ₃ ⁻	SO ₄ ²⁻	TOC	As	bil.stav	ukazovateľ
120290	VELKY HORES	2021	1,86 A	1,42 A	6,04 A	0,52 C	52,91 A	42,37 A	1,11 A	6,25 A	C	NH ₄ ⁺
		2022	2,01 A	1,5 A	6,81 A	0,5 C	100 A	250 A	1,07 B	6,25 A	C	NH ₄ ⁺
120390	ZATIN	2022	1,43 A	2,4 A	2,38 A	5,55 A	100 A	2,6 A	3,75 A	13,79 A	A	
120490	POLANY	2021	1,44 A	2,72 A	3,03 A	4,16 A	4,18 A	3,84 A	1,57 A	40 A	A	
		2022	1,43 A	3,75 A	2,82 A	2,77 A	4,38 A	5,58 A	1,71 A	40 A	A	
120590	KRALOVSKY CHLMEC	2022	1,48 A	1,5 A	3,81 A	1,28 A	41,66 A	3,4 A	1,07 B	40 A	B	TOC
120990	BOTANY-KOLONIA	2021	2,03 A	3,75 A	12,5 A	1,25 A	16,5 A	7,73 A	3 A	40 A	A	
		2022	2,27 A	4,61 A	12,91 A	0,9 B	100 A	10,28 A	3 A	40 A	B	NH ₄ ⁺
121190	VELKE TRAKANY-KOLONIA	2022	1,15 A	2,85 A	1,68 A	0,68 C	100 A	3,64 A	1,93 A	6,89 A	C	NH ₄ ⁺
129690	STREDA NAD BODROGOM	2022	1,43 A	0,31 C	4,43 A	0,3 C	100 A	2,7 A	0,5 C	3,57 A	C	CHSK _{Mn} , NH ₄ ⁺ , TOC
135290	STRAZNE	2022	1,31 A	1,42 A	2,97 A	0,26 C	100 A	1,39 A	1,81 A	6,66 A	C	NH ₄ ⁺
135390	VOJKA	2022	1,57 A	2,14 A	3,2 A	0,55 C	100 A	1,92 A	2,72 A	19,04 A	C	NH ₄ ⁺
329890	SOMOTOR	2022	1,38 A	1,57 A	54,34 A	0,39 C	100 A	250 A	1,13 A	2,4 A	C	NH ₄ ⁺
503290	BACKA N-32	2021	2,4 A	2,72 A	21,73 A	0,44 C	44,24 A	250 A	1,42 A	2,85 A	C	NH ₄ ⁺
		2022	2,51 A	2,14 A	23,36 A	0,51 C	100 A	250 A	1,42 A	7,14 A	C	NH ₄ ⁺

PQ – 105 Paleogén povodia Ondavy po Kučínplocha: 1241.4 km²

č. objektu	lokalita	rok	vodivosť	CHSK _{Mn}	Cl ⁻	NH ₄ ⁺	NO ₃ ⁻	SO ₄ ²⁻	TOC	As	bil.stav	ukazovateľ
134790	MINOVCE	2022	1,25 A	2,85 A	2,62 A	3,84 A	29,41 A	2,9 A	1,76 A	40 A	A	
136090	DUPLIN	2022	2,14 A	4,61 A	54,34 A	10 A	100 A	12,04 A	3,63 A	10,52 A	A	
137990	MINOVCE	2021	1,93 A	12 A	26,09 A	6,06 A	16,77 A	3,78 A	2,6 A	40 A	A	
		2022	1,98 A	6,31 A	13,92 A	20 A	40 A	7,89 A	3,15 A	40 A	A	
172999	BUKOVCE	2021	2,18 A	12 A	187,26 A	20 A	4,88 A	9,19 A	5 A	40 A	A	
		2022	2,13 A	12 A	192,3 A	16,66 A	5,55 A	10,04 A	6 A	40 A	A	
173599	BELEJOVCE - PASTIVNIK	2021	3,1 A	12 A	77,16 A	25 A	7,33 A	9,29 A	10 A	40 A	A	
		2022	3,01 A	12 A	78,12 A	12,5 A	10,2 A	8,99 A	5 A	40 A	A	
173999	JASENOVCE	2021	1,7 A	6 A	100,8 A	16,66 A	5,15 A	4,15 A	2 A	40 A	A	
		2022	1,74 A	12 A	125 A	100 A	6,17 A	4,52 A	3,75 A	40 A	A	
334590	STROCIN	2021	1,69 A	12 A	4,24 A	28,57 A	4,23 A	9,12 A	4 A	40 A	A	
		2022	1,69 A	12 A	4,35 A	25 A	11,23 A	8,37 A	6 A	40 A	A	
334690	STROPKOV-SITNIK	2021	1,58 A	12 A	21,45 A	40 A	8,05 A	3,84 A	3 A	40 A	A	
		2022	1,58 A	12 A	17,3 A	25 A	8,19 A	3,56 A	5 A	40 A	A	

QN – 106 Kvartér Ondavy a Tople od Slovenskej Kajne po Trebišovplocha: 248.4 km²

č. objektu	lokalita	rok	vodivosť	CHSK _{Mn}	Cl ⁻	NH ₄ ⁺	NO ₃ ⁻	SO ₄ ²⁻	TOC	As	bil.stav	ukazovateľ
115690	VRANOV NAD TOPLOU - HENCOVCE	2021	1,01 B	1,93 A	10,68 A	0,5 C	25,64 A	9,2 A	0,86 C	2,81 A	C	NH ₄ ⁺ , TOC
		2022	0,99 B	1,5 A	10,84 A	0,46 C	100 A	11,23 A	0,9 B	1,36 A	C	NH ₄ ⁺
116390	HRIADKY	2021	0,99 B	1,3 A	1,81 A	1,75 A	100 A	2,02 A	1,57 A	2,85 A	B	vodivosť
		2022	0,95 B	3,33 A	1,98 A	1,69 A	100 A	1,87 A	1,46 A	2,85 A	B	vodivosť
116490	HOROVCE	2022	1,81 A	2 A	6,86 A	0,65 C	100 A	28,4 A	1,39 A	40 A	C	NH ₄ ⁺
116590	TRHOVISTE	2022	0,56 C	2,6 A	0,7 C	3,03 A	100 A	2,45 A	1,46 A	40 A	C	vodivosť, Cl ⁻
127090	TREBISOV-CUKROVAR	2022	1,08 B	12 A	2,82 A	11,11 A	1,98 A	1,45 A	2,22 A	40 A	B	vodivosť
134890	BENKOVCE	2022	1,9 A	12 A	14 A	2,7 A	100 A	2,62 A	2,72 A	5,12 A	A	
327790	TREBISOV-OLSINA	2021	1,34 A	0,41 C	86,2 A	0,46 C	100 A	148,36 A	0,41 C	2,4 A	C	CHSK _{Mn} , NH ₄ ⁺ , TOC
		2022	1,3 A	0,54 C	92,59 A	0,37 C	100 A	250 A	0,43 C	1,75 A	C	CHSK _{Mn} , NH ₄ ⁺ , TOC
630490	SACUROV	2021	1,87 A	12 A	12,56 A	22,22 A	1,44 A	2,46 A	2,6 A	23,52 A	A	
		2022	1,64 A	7,05 A	5,14 A	25 A	1,96 A	2,47 A	2,14 A	40 A	A	

N – 107 Neogén Pozdišovského chrbta a Malčickej tabuleplocha: 174.2 km²**Q – 108 Kvartér Laborca od Strážskeho po Stretavu**plocha: 204.2 km²

č. objektu	lokalita	rok	vodivosť	CHSK _{Mn}	Cl ⁻	NH ₄ ⁺	NO ₃ ⁻	SO ₄ ²⁻	TOC	As	bil.stav	ukazovateľ
117090	STRAZSKE	2021	1,18 A	4,28 A	5,73 A	28,57 A	1 B	2,31 A	1,66 A	40 A	B	NO ₃ ⁻
		2022	1,34 A	7,05 A	6,42 A	4,76 A	1,07 B	3,33 A	2,22 A	40 A	B	NO ₃ ⁻
117390	LESNE	2022	1,09 B	7,05 A	1,4 A	14,28 A	4,13 A	9,54 A	4,61 A	40 A	B	vodivosť
118390	VOLA-STANKOVCE	2022	1,06 B	3,33 A	1,65 A	10 A	1,68 A	4,81 A	1,66 A	40 A	B	vodivosť
123190	MICHALOVCE - MEDOV	2021	1,2 A	4,28 A	10,54 A	5,88 A	0,46 C	1,46 A	2,06 A	40 A	C	NO ₃ ⁻
		2022	1,36 A	12 A	9,59 A	11,11 A	2,46 A	1,74 A	2,14 A	40 A	A	
132090	MICHALOVCE-TOPOLANY	2022	2,06 A	7,05 A	6,41 A	7,69 A	4,9 A	2,97 A	2,72 A	40 A	A	
314490	STRAZSKE	2022	0,78 C	2,72 A	0,97 B	5,26 A	100 A	3,38 A	1,39 A	40 A	C	vodivosť
318290	NACINA VES	2021	1,26 A	1,09 B	3,5 A	1,28 A	100 A	2,13 A	1,93 A	3,33 A	B	CHSK _{Mn}
		2022	1,24 A	2,85 A	3,71 A	1,17 A	100 A	2,24 A	1,71 A	4,54 A	A	
318490	STARE	2022	1,3 A	5,71 A	10,59 A	5,55 A	1,87 A	3,92 A	2,85 A	40 A	A	
319690	ZBINCE	2022	1,36 A	2,14 A	6,62 A	1,4 A	100 A	4,15 A	1,2 A	3,88 A	A	

P – 109 Paleogén Čergovaplocha: 593.8 km²

č. objektu	lokality	rok	vodivosť	CHSK _{Mn}	Cl ⁻	NH ₄ ⁺	NO ₃ ⁻	SO ₄ ²⁻	TOC	As	bil.stav	ukazovateľ
184699	KRIVE	2021	2,98 A	30 A	81,69 A	50 A	10,79 A	7,98 A	6 A	40 A	A	
		2022	2,94 A	12 A	96,15 A	12,5 A	12,19 A	9,61 A	6 A	40 A	A	
226999	JAKUBOVANY	2021	1,87 A	12 A	79,87 A	100 A	4,71 A	4,63 A	3 A	40 A	A	
		2022	1,88 A	12 A	89,28 A	16,66 A	6,32 A	5,08 A	2,72 A	40 A	A	

PQ – 110 Paleogén Nízkyh Beskýd v povodí Topleplocha: 952.9 km²

č. objektu	lokality	rok	vodivosť	CHSK _{Mn}	Cl ⁻	NH ₄ ⁺	NO ₃ ⁻	SO ₄ ²⁻	TOC	As	bil.stav	ukazovateľ
131190	KOMAROV	2021	1,73 A	2,6 A	81,56 A	28,57 A	52,91 A	9,14 A	2 A	40 A	A	
		2022	1,79 A	6 A	92,59 A	16,66 A	45,45 A	8,77 A	2,72 A	40 A	A	
131390	DUBINNE	2021	1,41 A	4,61 A	12,01 A	40 A	15,74 A	5,95 A	1,53 A	40 A	A	
		2022	1,35 A	4 A	10,63 A	1,92 A	66,66 A	5,17 A	1,46 A	40 A	A	
131890	VYSNY ZIPOV	2022	2,06 A	12 A	14,45 A	16,66 A	2,02 A	5,58 A	5 A	40 A	A	
135990	MARHAN	2021	1,23 A	5,21 A	11,65 A	66,66 A	28,01 A	3,21 A	1,36 A	40 A	A	
		2022	1,21 A	3,75 A	14,24 A	12,5 A	25,64 A	2,72 A	1,33 A	40 A	A	
175499	CHMELOVA	2022	4,52 A			25 A	7,35 A				A	

VN – 111 Neovulkanity Slanských vrchovplocha: 794.9 km²

č. objektu	lokality	rok	vodivosť	CHSK _{Mn}	Cl ⁻	NH ₄ ⁺	NO ₃ ⁻	SO ₄ ²⁻	TOC	As	bil.stav	ukazovateľ
112090	BOHDANOVCE	2022	1,64 A	12 A	4,16 A	16,66 A	10,52 A	6,37 A	9,23 A	15,38 A	A	
177799	HERMANOVCE N/T	2021	9,13 A	6 A	138,88 A	100 A	8,19 A	10,63 A	2,72 A	11,11 A	A	
		2022	8,2 A	12 A	208,33 A	16,66 A	8,33 A	12,88 A	0,76 C	9,09 A	C	TOC
182199	SLANSKA HUTA	2021	8,77 A	12 A	128,86 A	100 A	5,13 A	10,72 A	3,75 A	16,66 A	A	
		2022	8,75 A	12 A	156,25 A	50 A	5,37 A	13,51 A	3,33 A	40 A	A	
228799	KOS.KLECENOV	2021	3,28 A	12 A	8,25 A	25 A	21,18 A	9,84 A	4,28 A	6,66 A	A	
		2022	2,87 A	5 A	5,8 A	10 A	29,41 A	9,61 A	2,3 A	7,69 A	A	
229199	NIZNA MYSLA - KOSCELEK	2021	3,85 A	12 A	142,04 A	50 A	40 A	12,31 A	15 A	2,22 A	A	
		2022	3,86 A	12 A	208,33 A	100 A	41,66 A	16,77 A	10 A	2,38 A	A	
229299	LUCINA	2021	12,74 A	1,57 A	166,66 A	100 A	12,43 A	12,07 A	1 B	12,5 A	B	TOC
		2022	13,29 A	2,3 A	227,27 A	12,5 A	9,43 A	16,12 A	1,42 A	16,66 A	A	

N – 112 Neogén západnej časti Východoslovenskej nížinyplocha: 448.4 km²

č. objektu	lokality	rok	vodivosť	CHSK _{Mn}	Cl ⁻	NH ₄ ⁺	NO ₃ ⁻	SO ₄ ²⁻	TOC	As	bil.stav	ukazovateľ
126990	NOVY RUSKOV-MALY RUSKOV	2022	1,08 B	3 A	2,25 A	10 A	0,98 B	2,78 A	1,42 A	40 A	B	vodivosť, NO ₃ ⁻
129390	ZEMPLINSKE JASTRABIE	2022	1,57 A	12 A	9,46 A	10 A	0,65 C	1,81 A	3,33 A	40 A	C	NO ₃ ⁻
184899	CAKLOV	2021	2,22 A	12 A	4,2 A	100 A	0,98 B	4,26 A	4,28 A	40 A	B	NO ₃ ⁻
		2022	2,19 A	12 A	4,91 A	25 A	1,24 A	6,52 A	1,66 A	40 A	A	
513190	BACKOV	2021	1,72 A	12 A	89,92 A	0,6 C	100 A	13,81 A	4,28 A	40 A	C	NH ₄ ⁺
		2022	1,74 A	12 A	104,16 A	0,48 C	100 A	15,52 A	3,33 A	40 A	C	NH ₄ ⁺

NG – 113 Paleozoikum a mladšie horniny Zemplínskych vrchovplocha: 99.7 km²

č. objektu	lokality	rok	vodivosť	CHSK _{Mn}	Cl ⁻	NH ₄ ⁺	NO ₃ ⁻	SO ₄ ²⁻	TOC	As	bil.stav	ukazovateľ
522690	LADMOVCE	2021	1 B	12 A	25,14 A	10,52 A	21,03 A	0,91 B	4,13 A	7,54 A	B	vodivosť, SO ₄ ²⁻
		2022	0,99 B	12 A	25,25 A	16,66 A	100 A	0,9 B	3,33 A	40 A	B	vodivosť, SO ₄ ²⁻

Q – 114 Kvartér dolného toku Roňavyplocha: 25.8 km²

č. objektu	lokalita	rok	vodivosť	CHSK _{Mn}	Cl ⁻	NH ₄ ⁺	NO ₃ ⁻	SO ₄ ²⁻	TOC	As	bil.stav	ukazovateľ
121690	SLOVENSKE NOVE MESTO	2021	1,6 A	12 A	2,54 A	25 A	1,22 A	3,77 A	3,33 A	1,33 A	A	
		2022	1,78 A	7,05 A	4,11 A	16,66 A	1,27 A	3,44 A	3,52 A	1,44 A	A	
122290	SLOVENSKE NOVE MESTO	2022	1,83 A	8 A	4,06 A	14,28 A	1,78 A	4,02 A	3 A	0,94 B	B	As
337090	BORSA	2021	1,12 A	12 A	2,15 A	9,09 A	0,83 C	2,72 A	3,33 A	23,52 A	C	NO ₃ ⁻
		2022	1,13 A	12 A	2,68 A	10 A	1,14 A	2,59 A	3,33 A	40 A	A	

PQ – 115 Paleogén Hornádskej a časti Popradskej kotlinyplocha: 608.7 km²

č. objektu	lokalita	rok	vodivosť	CHSK _{Mn}	Cl ⁻	NH ₄ ⁺	NO ₃ ⁻	SO ₄ ²⁻	TOC	As	bil.stav	ukazovateľ
137590	VELKA LOMNICA	2021	1,18 A	1,5 A	1,86 A	5 A	49,5 A	2,5 A	0,81 C	20 A	C	TOC
		2022	0,96 B	1,66 A	0,88 C	3,33 A	100 A	3,94 A	0,93 B	40 A	C	Cl ⁻
210499	MATEJOVCE N/H	2021	2,69 A	5 A	500 A	25 A	5,55 A	15,62 A	2,3 A	40 A	A	
		2022	2,54 A			14,28 A	6,21 A				A	
212999	KRAVANY	2021	2,56 A	12 A	11,73 A	100 A	4,62 A	4,74 A	5 A	40 A	A	
		2022	2,66 A	12 A	16,55 A	25 A	7,57 A	5,06 A	5 A	40 A	A	
299990	POPRAD	2021	1,35 A	12 A	4,17 A	100 A	6,26 A	4,18 A	5 A	40 A	A	
		2022	1,3 A	12 A	2,45 A	25 A	3,84 A	3,32 A	5 A	40 A	A	
514190	SPISSKE BYSTRE	2021	0,6 C	12 A	126,9 A	100 A	35,21 A	0,31 C	10 A	0,92 B	C	vodivosť, SO ₄ ²⁻
		2022	0,56 C	12 A	227,27 A	3,57 A	100 A	0,28 C	10 A	0,37 C	C	vodivosť, SO ₄ ²⁻ , As
554090	KVETNICA K-40	2021	3,96 A	12 A	132,27 A	16,66 A	100 A	8,14 A	5 A	2,77 A	A	
		2022	4,19 A	12 A	147,05 A	10 A	100 A	7,86 A	5 A	1,85 A	A	

MG – 116 Mezozoikum Slovenského raja a Havraních vrchov s príľahlým paleozoikomplocha: 280.9 km²

č. objektu	lokalita	rok	vodivosť	CHSK _{Mn}	Cl ⁻	NH ₄ ⁺	NO ₃ ⁻	SO ₄ ²⁻	TOC	As	bil.stav	ukazovateľ
185499	DOBSINA	2022	3,07 A			9,09 A	12,04 A				A	
211599	VERNAR	2022	3,53 A			14,28 A	21,27 A				A	
211799	SMIZANY	2021	2,19 A	5,45 A	500 A	50 A	14,3 A	2,26 A	2,79 A	19,51 A	A	
		2022	2,03 A	12 A	250 A	100 A	14,7 A	1,96 A	5 A	40 A	A	
215499	D.LAD.JASK.	2021	3,12 A	6,31 A	303,03 A	23,52 A	6,55 A	5,32 A	4,61 A	40 A	A	
		2022	3,01 A	12 A	250 A	50 A	6,66 A	5,02 A	5 A	40 A	A	
215699	DEDINKY-ZEJMARSKA STUDNA	2022	3,35 A	3,87 A	500 A	14,28 A	5,29 A	40,65 A	2 A	40 A	A	
217199	TELGART-V ZADNEJ DOL. 1	2022	4,82 A	12 A	500 A	100 A	13,88 A	8,5 A	7,5 A	40 A	A	
217399	D.LAD.JASK.-POD TRATOU	2022	3,57 A	12 A	500 A	7,14 A	8,62 A	6,33 A	10,9 A	40 A	A	
217799	STRATENA	2022				25 A	4,76 A				A	

MG – 117 Mezozoikum Galmusa s príľahlým paleozoikomplocha: 110.0 km²

č. objektu	lokalita	rok	vodivosť	CHSK _{Mn}	Cl ⁻	NH ₄ ⁺	NO ₃ ⁻	SO ₄ ²⁻	TOC	As	bil.stav	ukazovateľ
210799	SPISSKE VLACHY - U JANA	2021	2,27 A	8,88 A	500 A	14,28 A	10,02 A	3,2 A	2,55 A	29,62 A	A	
		2022	2 A	12 A	500 A	100 A	10 A	2,21 A	5 A	40 A	A	

G – 118 Paleozoikum Slovenského rudohoria v povodí Hornáduplocha: 791.7 km²

č. objektu	lokalita	rok	vodivosť	CHSK _{Mn}	Cl ⁻	NH ₄ ⁺	NO ₃ ⁻	SO ₄ ²⁻	TOC	As	bil.stav	ukazovateľ
216399	UHORNA - POD JAVOROM	2021	17,48 A	12 A	500 A	14,28 A	14,14 A	24,22 A	7,5 A	40 A	A	
		2022	16,73 A	12 A	250 A	16,66 A	11,36 A	25,77 A	6 A	40 A	A	
223099	OPATKA	2021	2,58 A	12 A	500 A	22,22 A	10,03 A	16,86 A	4,28 A	40 A	A	

č. objektu	lokality	rok	vodivosť	CHSK _{Mn}	Cl ⁻	NH ₄ ⁺	NO ₃ ⁻	SO ₄ ²⁻	TOC	As	bil.stav	ukazovateľ
		2022	2,56 A	12 A	500 A	25 A	13,51 A	14,61 A	5 A	40 A	A	
322390	KOLINOVCE	2021	1,59 A	7,05 A	2,15 A	14,28 A	4 A	5,51 A	2,6 A	4,87 A	A	
		2022	1,66 A	12 A	2,56 A	6,25 A	4,2 A	4,66 A	6 A	5 A	A	
553690	NALEPKOVO K-36	2021	25,18 A	1,45 A	500 A	13,79 A	10,35 A	43,27 A	8 A	40 A	A	
		2022	28,53 A	12 A	500 A	25 A	8,62 A	42,37 A	6 A	40 A	A	

P – 119 Paleogén Levočských vrchov

plocha: 734.8 km²

č. objektu	lokality	rok	vodivosť	CHSK _{Mn}	Cl ⁻	NH ₄ ⁺	NO ₃ ⁻	SO ₄ ²⁻	TOC	As	bil.stav	ukazovateľ
99490	KEZMAROK	2021	1,24 A	2,72 A	5,25 A	4,16 A	100 A	1,83 A	1,15 A	1,35 A	A	
		2022	1,39 A	1,36 A	6,37 A	3,33 A	100 A	2,45 A	1,36 A	1,42 A	A	
234799	TICHY POTOK - BUJACIAREN	2021	5,14 A	2,5 A	148,8 A	25 A	2,71 A	9,36 A	1,3 A	40 A	A	
		2022	3,99 A	12 A	500 A	100 A	5,74 A	8,41 A	3,75 A	40 A	A	
243099	IHLANY - ZIMNA STUDNA	2021	4,52 A	12 A	500 A	25 A	13,19 A	10,68 A	3,33 A	40 A	A	
		2022	4,31 A	3,75 A	500 A	25 A	20 A	10,37 A	2,72 A	40 A	A	

QP – 120 Paleogén Spišsko-šarišského medzihoria. Bachurne a Šarišskej vrchoviny v povodí Torysy

plocha: 292.8 km²

č. objektu	lokality	rok	vodivosť	CHSK _{Mn}	Cl ⁻	NH ₄ ⁺	NO ₃ ⁻	SO ₄ ²⁻	TOC	As	bil.stav	ukazovateľ
105690	SARISSKE MICHALANY	2022	1,37 A	12 A	5,14 A	10 A	1,95 A	3,94 A	3,75 A	40 A	A	
306390	ROZKOVANY	2021	1,64 A	12 A	24 A	25 A	1,88 A	6,31 A	4,61 A	40 A	A	
		2022	1,54 A	12 A	14,08 A	14,28 A	2,49 A	5,69 A	6 A	40 A	A	

MG – 121 Mezozoikum a paleozoikum Braniska

plocha: 121.2 km²

P – 122 Paleogén povodia Svinky

plocha: 286.3 km²

NQ – 123 Neogén východnej časti Košickej kotliny

plocha: 437.5 km²

č. objektu	lokality	rok	vodivosť	CHSK _{Mn}	Cl ⁻	NH ₄ ⁺	NO ₃ ⁻	SO ₄ ²⁻	TOC	As	bil.stav	ukazovateľ
103090	KOSICKA POLIANKA	2021	1,12 A	1,07 B	4,57 A	5,55 A	100 A	1,5 A	1,66 A	8,33 A	B	CHSK _{Mn}
		2022	1,09 B	4,61 A	4,29 A	6,25 A	100 A	1,47 A	1,93 A	11,11 A	B	vodivosť
103490	ROZHANOVCE	2021	0,98 B	1,66 A	6,66 A	1,36 A	0,9 B	2,94 A	0,88 C	2,73 A	C	TOC
		2022	0,99 B	2,03 A	8,06 A	0,67 C	1,44 A	2,85 A	0,78 C	2,5 A	C	NH ₄ ⁺ , TOC
104490	LEMESANY-CHABZANY	2021	0,98 B	2,72 A	4,43 A	2,04 A	100 A	1,85 A	1,53 A	1,39 A	B	vodivosť
		2022	0,96 B	5,21 A	4,63 A	1,66 A	100 A	1,6 A	1,53 A	1,19 A	B	vodivosť
126290	PRESOV-HANISKA	2021	1,45 A	7,05 A	5,27 A	14,28 A	2,35 A	1,81 A	2 A	19,04 A	A	
		2022	1,36 A	12 A	4,81 A	25 A	3,47 A	1,67 A	2,5 A	40 A	A	
227399	KOSICKE OLSANY	2021	1,69 A	12 A	9,8 A	25 A	1,61 A	4,35 A	5 A	7,69 A	A	
		2022	1,68 A	12 A	10,37 A	25 A	2,21 A	4,85 A	6 A	11,11 A	A	
304390	VAJKOVCE	2022	1,82 A	12 A	4,49 A	14,28 A	12,5 A	5,09 A	5,45 A	10,52 A	A	
311890	PRESOV	2021	1,18 A	7,05 A	4,08 A	1,16 A	1,15 A	3,23 A	2,85 A	40 A	A	
		2022	1,21 A	12 A	5,05 A	1,69 A	1,49 A	3,33 A	3,52 A	40 A	A	
322190	DURKOV	2022	1,34 A	2,85 A	2 A	2,5 A	5,55 A	4,75 A	1,57 A	9,09 A	A	

MG – 124 Mezozoikum a kryštalinikum Čiernej hory

plocha: 264.0 km²

č. objektu	lokality	rok	vodivosť	CHSK _{Mn}	Cl ⁻	NH ₄ ⁺	NO ₃ ⁻	SO ₄ ²⁻	TOC	As	bil.stav	ukazovateľ
122790	DRUZSTEVNA - P.H. - M. VIESKA	2021	1,73 A	12 A	34,38 A	25 A	7,77 A	4,97 A	5 A	40 A	A	
		2022	1,71 A	6 A	37,31 A	25 A	5,2 A	5,72 A	4,28 A	40 A	A	
222399	KAVECANY	2022	1,47 A			12,5 A	2,03 A				A	
223199	MIKLUSOVCE - POD OBISIANKOU	2021	3,52 A	3,38 A	130,2 A	28,57 A	17,98 A	7,62 A	1,84 A	20,51 A	A	
		2022	4,04 A	3,75 A	131,57 A	100 A	26,31 A	8,01 A	2,3 A	40 A	A	
322490	VELKA LODINA	2021	2,3 A	4,44 A	224,21 A	25 A	6,29 A	8,66 A	4 A	40 A	A	
		2022	2,39 A	12 A	227,27 A	16,66 A	6,57 A	8,92 A	15 A	40 A	A	

Q – 125 Kvartér Hornádu v Košickej kotline

plocha: 201.5 km²

č. objektu	lokality	rok	vodivosť	CHSK _{Mn}	Cl ⁻	NH ₄ ⁺	NO ₃ ⁻	SO ₄ ²⁻	TOC	As	bil.stav	ukazovateľ
102590	SENA	2022	1,34 A	8 A	10,14 A	18,18 A	1,04 B	2,21 A	2,14 A	8,33 A	B	NO ₃ ⁻
107690	NIZNA MYSLA-SAJKOV	2022	1,08 B	12 A	16,5 A	4,34 A	100 A	0,91 B	4,13 A	2,66 A	B	vodivosť, SO ₄ ²⁻
107890	CANA	2022	1,39 A	5,45 A	4,49 A	15,38 A	2,1 A	4,21 A	2,14 A	9,52 A	A	
107990	TRSTENE PRI HORNADE	2021	1,78 A	5 A	13,77 A	4,34 A	61,72 A	4,44 A	2,3 A	3,57 A	A	
		2022	1,84 A	12 A	14,32 A	3,33 A	100 A	5,21 A	3,15 A	1,81 A	A	
112290	KOSICE-KRASNA	2021	1,42 A	8 A	4,79 A	40 A	1,19 A	3,7 A	3,52 A	15,38 A	A	
		2022	1,5 A	12 A	5,48 A	20 A	1,58 A	4,11 A	4,28 A	26,66 A	A	
302290	KOSICE-KRASNA	2022	1,14 A	5,71 A	2,59 A	7,69 A	1,62 A	3,03 A	2,85 A	11,11 A	A	
302890	KOSICE pod /KRASNA/	2021	1,9 A	12 A	15,15 A	25 A	1,26 A	4,28 A	4,28 A	12,5 A	A	
308090	SENA	2021	2,03 A	2,6 A	14,16 A	0,59 C	66,22 A	5,03 A	2,3 A	1,88 A	C	NH ₄ ⁺
		2022	2,02 A	7,05 A	15,24 A	0,84 C	100 A	5,12 A	2 A	3,12 A	C	NH ₄ ⁺

M – 126 Mezozoikum Muránskej planiny a V časti Heľpianskeho podolia a príhlé kryštalinikum

plocha: 310.9 km²

č. objektu	lokality	rok	vodivosť	CHSK _{Mn}	Cl ⁻	NH ₄ ⁺	NO ₃ ⁻	SO ₄ ²⁻	TOC	As	bil.stav	ukazovateľ
120499	SUMIAC	2021	4,88 A	8,88 A	500 A	14,28 A	15,79 A	6,82 A	6,31 A	13,79 A	A	
		2022	5 A	12 A	500 A	25 A	17,85 A	7,18 A	6 A	16,66 A	A	
122299	ZAVADKA N.H.	2022	4,11 A			7,14 A	12,04 A				A	
123599	ZLATNO-HAVRANIK PRAMEN	2022	3,53 A	2,14 A	21,64 A	16,66 A	8,47 A	29,23 A	1,53 A	40 A	A	
190799	MURAN - POD HRADOM	2021	3,41 A	2,18 A	500 A	28,57 A	6,6 A	42,15 A	1,69 A	40 A	A	
		2022	3,36 A	5 A	500 A	6,25 A	7,04 A	23,36 A	3,33 A	40 A	A	
191399	MURAN	2022	3,05 A	7,05 A	54,94 A	6,66 A	11,23 A	13,12 A	2,72 A	40 A	A	
192899	MURAN-BRUSIK	2022	2,81 A	12 A	500 A	25 A	11,11 A	4,07 A	3,75 A	40 A	A	
195299	TISOVEC	2021	2,73 A	8,88 A	500 A	12,12 A	5,9 A	17,54 A	5 A	40 A	A	
		2022	2,7 A	12 A	500 A	100 A	6,25 A	18,24 A	4,28 A	40 A	A	
195399	TISOVEC-POD DIELOM	2022	5,2 A	12 A	500 A	100 A	12,5 A	18,38 A	4,28 A	40 A	A	

G – 127 Kryštalinikum Stolických vrchov a Revúckej vrchoviny v povodí Slanej

plocha: 780.9 km²

č. objektu	lokality	rok	vodivosť	CHSK _{Mn}	Cl ⁻	NH ₄ ⁺	NO ₃ ⁻	SO ₄ ²⁻	TOC	As	bil.stav	ukazovateľ
93790	REVUCA	2021	2,55 A	1,87 A	107,99 A	11,11 A	5,31 A	9,19 A	2,85 A	40 A	A	
		2022	2,39 A	12 A	56,81 A	7,14 A	2,13 A	9,15 A	5 A	40 A	A	
93890	REVUCA	2022	1,98 A	12 A	15,33 A	8,33 A	1,7 A	13,15 A	7,5 A	40 A	A	
94090	JELSAVA	2021	1,11 A	1,3 A	13,77 A	15,38 A	11,45 A	7,49 A	1,33 A	4,08 A	A	
		2022	0,76 C	4,28 A	22,32 A	16,66 A	100 A	8,56 A	2 A	4,65 A	C	vodivosť
197399	KLENOVEC	2021	17,05 A	12 A	242,71 A	50 A	23,92 A	14,7 A	2,72 A	10 A	A	
		2022	13,79 A	12 A	500 A	16,66 A	26,31 A	17 A	60 A	11,11 A	A	

G – 128 Paleozoikum Revúckej vrchoviny a Volovských vrchov v povodí Slanej

plocha: 531.7 km²

č. objektu	lokalita	rok	vodivosť	CHSK _{Mn}	Cl ⁻	NH ₄ ⁺	NO ₃ ⁻	SO ₄ ²⁻	TOC	As	bil.stav	ukazovateľ
90390	BETLIAR	2021	4,17 A	1,62 A	11,7 A	1,78 A	100 A	11,73 A	1,33 A	0,18 C	C	As
		2022	4,08 A	2,02 A	11,69 A	1,42 A	66,66 A	12,2 A	2,62 A	0,21 C	C	As
93090	ROCHOVCE	2022	3,36 A	2,72 A	12,95 A	8,33 A	2,18 A	9,61 A	1,87 A	12,5 A	A	
93990	LUBENIK	2022	2,65 A	1,76 A	12,75 A	1,66 A	2,09 A	10,28 A	1,42 A	40 A	A	
185299	DOBSINA	2022	3,32 A			6,66 A	8,92 A				A	

MQ – 129 Mezozoikum centrálnej a východnej časti Slovenského krasu

plocha: 648.6 km²

č. objektu	lokalita	rok	vodivosť	CHSK _{Mn}	Cl ⁻	NH ₄ ⁺	NO ₃ ⁻	SO ₄ ²⁻	TOC	As	bil.stav	ukazovateľ
90490	ROZNAVA	2021	2,73 A	4,44 A	58,68	8,33 A	4,2 A	16,83	2,4 A	15,38	A	
		2022	3 A	8 A	52,63	12,65	7,29 A	13,91	3,33 A	17,14	A	
92390	SLAVEC	2021	1,67 A	8 A	5,26 A	16,66	4,73 A	10,63	4,28 A	40 A	A	
		2022	1,63 A	12 A	5,74 A	20 A	4,11 A	9,6 A	6,66 A	40 A	A	
93590	PASKOVA	2021	1,96 A	1,53 A	6,06 A	14,28	16,72 A	5,12 A	0,9 B	13,33	B	TOC
		2022	2,14 A	2,3 A	6,41 A	16,66	47,61 A	6,18 A	1,09 B	12,24	B	TOC
94390	SIVETICE	2021	1,81 A	2,06 A	17,66	6,25 A	66,66 A	2,85 A	2,4 A	2,19 A	A	
		2022	1,8 A	4,28 A	17,12	6,25 A	100 A	3,08 A	2,72 A	2,32 A	A	
97590	PLESIVEC	2022	2,33 A	12 A	86,2 A	50 A	5,43 A	7,34 A	5 A	18,6 A	A	
125890	JABLONOV NAD TURNOU/HRUSOV/	2021	1,54 A	2,85 A	31,96	4,34 A	28,81 A	8,15 A	1,36 A	40 A	A	
		2022	1,5 A	3,75 A	37,87	6,25 A	100 A	6,15 A	1,42 A	40 A	A	
130590	TURNA NAD BODVOU	2021	2,53 A	12 A	81,3 A	15,38	5,23 A	5,01 A	6 A	19,04	A	
		2022	2,49 A	12 A	79,36	4 A	4,78 A	4,5 A	5,45 A	18,18	A	
185999	KOVACOVA-PRI KRIZI	2022	3,1 A	12 A	500 A	16,66	15,15 A	4,6 A	3,75 A	40 A	A	
186499	SLAVEC	2021	2,32 A	6,48 A	313,4	15,38	15,02 A	17,21	3,75 A	40 A	A	
		2022	2,28 A	12 A	500 A	100 A	18,51 A	20,66	7,5 A	40 A	A	
188299	KUNOVA TEP.-HUCIACA VVV.	2022	2,65 A	12 A	500 A	10 A	18,51 A	13,62	10 A	21,05	A	
200899	JASOV-TEPLICA	2022	2,2 A	12 A	500 A	25 A	13,51 A	16,44	3,75 A	40 A	A	
201799	DRIENOVEC-HLAVNY	2021	2,47 A	9,6 A	27,3 A	28,57	2,85 A	8,81 A	6,66 A	21,62	A	
		2022	2,44 A	12 A	27,41	7,14 A	3,03 A	8,99 A	30 A	20 A	A	
202299	TUR.N.BOD.-SKALITY	2022	2,11 A	4,28 A	138,8	10 A	7,14 A	16,33	1,42 A	40 A	A	
202499	SILICKA JABLON.	2022	1,97 A			11,11	16,66 A				A	
203899	HRHOV-VELKA HLAVA	2021	2,28 A	12 A	168,9	10 A	12,62 A	7,78 A	6 A	40 A	A	
		2022	2,36 A	12 A	208,3	12,5 A	13,51 A	9,36 A	6 A	40 A	A	
205899	TURNIANSKE PODHRADIE	2021	1,76 A	12 A	32,04	33,33	4,46 A	1,62 A	5,21 A	5,33 A	A	
		2022	1,64 A	12 A	35,71	8,33 A	5,68 A	1,28 A	10 A	5 A	A	
290690	BRZOTIN	2021	4,66 A	12 A	17,42	25 A	1,78 A	6,23 A	3,75 A	40 A	A	
		2022	3,81 A	12 A	12,55	12,5 A	2,19 A	7,04 A	4,09 A	32,43	A	
290990	PLESIVEC - JUH	2021	1,34 A	8 A	9,57 A	20 A	0,79 C	2,29 A	2,5 A	13,33	C	NO ₃ ⁻
		2022	1,48 A	12 A	12,1 A	14,28	0,89 C	2,28 A	6 A	14,28	C	NO ₃ ⁻
308590	HRHOV	2021	1,26 A	12 A	9,86 A	7,14 A	2,68 A	1,92 A	3,33 A	40 A	A	
		2022	1,3 A	12 A	9,32 A	7,69 A	3,12 A	2,07 A	2,22 A	40 A	A	

M – 130 Mezozoikum západnej časti Slovenského krasu, Železnického predhoria a časti Licinskej pahorkatiny

plocha: 215.0 km²

NM – 131 Neogén Gemerskej pahorkatiny

plocha: 121.0 km²

č. objektu	lokalita	rok	vodivosť	CHSK _{Mn}	Cl ⁻	NH ₄ ⁺	NO ₃ ⁻	SO ₄ ²⁻	TOC	As	bil.stav	ukazovateľ
539190	COLTOVO	2021	4,16 A	4,28 A	152,43 A	25 A	21,18 A	12,31 A	2,72 A	40 A	A	
		2022	4,11 A	3,75 A	178,57 A	50 A	27,77 A	12,43 A	4,28 A	40 A	A	

Q – 132 Kvartér Rimavskej kotliny

plocha: 173.5 km²

č. objektu	lokalita	rok	vodivosť	CHSK _{Mn}	Cl ⁻	NH ₄ ⁺	NO ₃ ⁻	SO ₄ ²⁻	TOC	As	bil.stav	ukazovateľ
91090	COLTOVO	2021	1,01 B	1,93 A	2,51 A	2,85 A	59,88 A	2,51 A	0,98 B	7,69 A	B	vodivosť, TOC
		2022	0,96 B	1,57 A	2,26 A	2,04 A	31,25 A	2,59 A	1,15 A	6,31 A	B	vodivosť
91490	VCELINCE	2021	1,1 A	2,5 A	5,68 A	16,66 A	0,61 C	1,9 A	1,36 A	8,33 A	C	NO ₃ ⁻
		2022	1,1 A	4,61 A	5,26 A	50 A	0,63 C	2,13 A	1,39 A	10 A	C	NO ₃ ⁻
92590	TORNALA	2022	1,4 A	5 A	4,27 A	12,5 A	1,31 A	2,78 A	4,28 A	40 A	A	
94690	RIMAVSKA SOBOTA	2021	1,34 A	2,5 A	6,28 A	20 A	2,03 A	1,66 A	1,2 A	11,76 A	A	
		2022	1,65 A	2,72 A	7,87 A	5,88 A	6,66 A	2,04 A	1,57 A	21,05 A	A	
94890	ORAVKA	2022	1,02 B	4 A	3,35 A	12,5 A	0,45 C	1,41 A	1,57 A	18,18 A	C	NO ₃ ⁻
95590	JESENSKE	2022	0,75 C	2,06 A	0,93 B	14,28 A	2,74 A	1,47 A	0,89 C	26,66 A	C	vodivosť, TOC
95990	JANICE	2021	1,1 A	1,87 A	14,2 A	1,63 A	3,19 A	1,89 A	0,89 C	40 A	C	TOC
		2022	1,06 B	2,06 A	7,54 A	1,49 A	100 A	2,04 A	0,88 C	40 A	C	TOC
96590	RIMAVSKA SEC	2021	1,58 A	3,52 A	7,38 A	7,14 A	15,33 A	1,29 A	1,62 A	17,39 A	A	
		2022	1,5 A	3,33 A	7,11 A	8,33 A	40 A	1,18 A	1,66 A	18,18 A	A	
97290	ZIAR	2021	1,02 B	1,71 A	3,78 A	1,2 A	46,08 A	0,84 C	1,11 A	6,25 A	C	SO ₄ ²⁻
		2022	1,03 B	2,85 A	3,89 A	0,99 B	100 A	0,93 B	1,17 A	6,52 A	B	vodivosť, NH ₄ ⁺ , SO ₄ ²⁻
196799	VLKYNA	2021	0,99 B	5 A	5,78 A	50 A	0,59 C	1,82 A	1,66 A	40 A	C	NO ₃ ⁻
		2022	0,78 C	4,28 A	2,99 A	50 A	0,41 C	1,28 A	1,2 A	16,66 A	C	vodivosť, NO ₃ ⁻
291390	GEMERSKA PANICA	2021	1,53 A	2,6 A	3,89 A	16,66 A	3,69 A	2,22 A	2,14 A	26,66 A	A	
		2022	1,78 A	12 A	5,17 A	25 A	13,15 A	1,79 A	2,72 A	40 A	A	
291590	RUMINCE	2022	1,26 A	4,28 A	5,76 A	3,7 A	4,27 A	2,33 A	1,53 A	10 A	A	
292090	CIZ	2021	1,22 A	3,15 A	9,15 A	1,29 A	1,72 A	1,34 A	1,22 A	8,69 A	A	
		2022	1,26 A	3,15 A	4,88 A	1,53 A	100 A	1,33 A	1,36 A	11,11 A	A	
292190	LENARTOVCE	2021	1,95 A	0,68 C	10,5 A	4 A	100 A	2,27 A	1,42 A	8,33 A	C	CHSK _{Mn}
		2022	2,09 A	3,15 A	10,75 A	9,09 A	100 A	2,79 A	1,66 A	7,4 A	A	
295290	NIZNY SKALNIK	2022	2,14 A	12 A	4,03 A	0,76 C	100 A	49,01 A	1,66 A	1,36 A	C	NH ₄ ⁺
296190	VELKY BLH	2021	0,76 C	1,76 A	1,08 B	0,8 C	100 A	2,89 A	0,89 C	4,34 A	C	vodivosť, NH ₄ ⁺ , TOC
		2022	0,9 B	1,76 A	1,56 A	0,5 C	22,72 A	2,95 A	1,01 B	8,69 A	C	NH ₄ ⁺
297090	HRKAC	2022	1,63 A	4,61 A	2,79 A	0,29 C	100 A	7,42 A	2 A	40 A	C	NH ₄ ⁺

NV – 133 Neogén východnej časti Rimavskej kotliny a Blžská tabuľa

plocha: 228.9 km²

č. objektu	lokalita	rok	vodivosť	CHSK _{Mn}	Cl ⁻	NH ₄ ⁺	NO ₃ ⁻	SO ₄ ²⁻	TOC	As	bil.stav	ukazovateľ
514690	VYSNE VALICE	2021	0,63 C	0,6 C	0,68 C	0,06 C	27,47 A	2,67 A	0,24 C	0,87 C	C	vodivosť, CHSK _{Mn} , Cl ⁻ , NH ₄ ⁺ , TOC, As
		2022	0,55 C	0,54 C	0,61 C	0,04 C	100 A	9,76 A	0,21 C	0,72 C	C	vodivosť, CHSK _{Mn} , Cl ⁻ , NH ₄ ⁺ , TOC, As

NV – 134 Neogén západnej časti Rimavskej kotliny a Pokoradzka tabuľa

plocha: 225.0 km²

č. objektu	lokalita	rok	vodivosť	CHSK _{Mn}	Cl ⁻	NH ₄ ⁺	NO ₃ ⁻	SO ₄ ²⁻	TOC	As	bil.stav	ukazovateľ
195799	VYS.SKALNIK	2021	4,88 A	12 A	123,76 A	16,66 A	6,09 A	19,53 A	3,75 A	40 A	A	
		2022	4,75 A	5 A	119,04 A	100 A	6,66 A	18,93 A	15 A	40 A	A	
503990	HORNE ZAHORANY	2021	4,59 A	12 A	12,07 A	50 A	1,22 A	40,45 A	7,5 A	40 A	A	
		2022	4,35 A	12 A	11,79 A	50 A	1,38 A	53,19 A	60 A	40 A	A	
514290	BOTTOVO	2021	0,28 C	0,28 C	0,24 C	0,05 C	100 A	5,15 A	0,1 C	1,58 A	C	vodivosť, CHSK _{Mn} , Cl ⁻ , NH ₄ ⁺ , TOC
		2022	0,25 C	0,26 C	0,2 C	0,05 C	100 A	4,4 A	0,1 C	16,66 A	C	vodivosť, CHSK _{Mn} , Cl ⁻ , NH ₄ ⁺ , TOC
514790	KRASKOVO	2021	8,38 A	12 A	500 A	100 A	9,92 A	164,47 A	30 A	40 A	A	
		2022	7,75 A	12 A	500 A	7,14 A	10,86 A	250 A	7,5 A	40 A	A	

NV – 135 Neogén východnej časti Cerovej vrchoviny

plocha: 265.9 km²

č. objektu	lokalita	rok	vodivosť	CHSK _{Mn}	Cl ⁻	NH ₄ ⁺	NO ₃ ⁻	SO ₄ ²⁻	TOC	As	bil.stav	ukazovateľ
543590	GEMERSKY JABLONEC	2021	1,06 B	1,66 A	7,04 A	1,92 A	100 A	11,46 A	0,65 C	1,61 A	C	TOC
		2022	1,07 B	1,42 A	7,44 A	1,38 A	100 A	20,83 A	0,73 C	1,51 A	C	TOC

N – 136 Neogén východnej časti Oždianskej pahorkatinyplocha: 124.7 km²**G – 137 Paleozoikum Volovských vrchov v povodí Bodvy**plocha: 253.8 km²

č. objektu	lokality	rok	vodivosť	CHSK _{Mn}	Cl ⁻	NH ₄ ⁺	NO ₃ ⁻	SO ₄ ²⁻	TOC	As	bil.stav	ukazovateľ
109090	MEDZEV /NIZNY MEDZEV/	2021	3,81 A	5 A	20,4 A	18,18 A	2,34 A	10,35 A	2,4 A	26,66 A	A	
		2022	3,09 A	12 A	18,11 A	25 A	2,16 A	11,79 A	2,72 A	40 A	A	
200499	HACAVA-SUGOV C.2	2022	3,15 A	12 A	500 A	16,66 A	9,09 A	11,79 A	6 A	40 A	A	

NQ – 138 Neogén a kvartér Košickej kotliny a Abovskej pahorkatiny v povodí Bodvyplocha: 351.1 km²

č. objektu	lokality	rok	vodivosť	CHSK _{Mn}	Cl ⁻	NH ₄ ⁺	NO ₃ ⁻	SO ₄ ²⁻	TOC	As	bil.stav	ukazovateľ
100590	BUDULOV	2021	2,29 A	8 A	8,19 A	7,69 A	1,7 A	5,3 A	4,28 A	40 A	A	
		2022	2,41 A	12 A	5,97 A	20 A	1,52 A	5,8 A	3,75 A	40 A	A	
101090	VELKA IDA-GOMBOS-PERIN	2022	0,97 B	2,3 A	0,96 B	16,66 A	2,82 A	0,81 C	2,22 A	40 A	C	SO ₄ ²⁻
101190	POD HALDOU - SENA	2021	1,74 A	3 A	3,87 A	14,28 A	1,46 A	1,48 A	2,3 A	21,05 A	A	
		2022	1,69 A	12 A	3,99 A	22,22 A	1,64 A	1,52 A	3 A	40 A	A	
108890	RESICA	2022	1,67 A	4,61 A	3,68 A	6,25 A	100 A	2,21 A	2 A	3,17 A	A	
109490	RUDNIK	2021	2,71 A	12 A	5,31 A	12,5 A	5,24 A	5,11 A	4,28 A	40 A	A	
		2022	2,42 A	12 A	4,38 A	10 A	2,32 A	7,44 A	4,28 A	40 A	A	
301890	KOSICE-SACA	2022	0,87 C	3,75 A	0,97 B	1,51 A	3,18 A	5,09 A	1,76 A	8,33 A	C	vodivosť
308790	TUR.N.BOD.-ZARNOV	2022	1,44 A	2,14 A	3,86 A	12,5 A	1,12 A	2,18 A	1,11 A	26,66 A	A	
309390	MOLDAVA NAD BODVOU	2021	0,94 B	12 A	1,09 B	10 A	0,52 C	2,99 A	7,5 A	40 A	C	NO ₃ ⁻
		2022	0,96 B	7,05 A	1,17 A	11,11 A	0,56 C	2,87 A	4,61 A	40 A	C	NO ₃ ⁻
513990	BUZICA	2021	2,15 A	12 A	5,02 A	10 A	0,71 C	2,86 A	3,33 A	9,09 A	C	NO ₃ ⁻
		2022	22,81 A	12 A	5,55 A	5 A	0,73 C	2,68 A	3 A	11,11 A	C	NO ₃ ⁻

QG – 139 Kryštalínium časti Vysokých Tatier a kvartér ich predpočiaplocha: 446.6 km²

č. objektu	lokality	rok	vodivosť	CHSK _{Mn}	Cl ⁻	NH ₄ ⁺	NO ₃ ⁻	SO ₄ ²⁻	TOC	As	bil.stav	ukazovateľ
97890	BUSOVCE	2021	1,64 A	5,45 A	11,31 A	14,28 A	1,46 A	6,11 A	3,15 A	16,66 A	A	
		2022	1,77 A	12 A	15,87 A	14,28 A	2,13 A	5,93 A	3,33 A	21,05 A	A	
98490	SVIT	2021	0,69 C	3,52 A	0,7 C	20 A	20,79 A	4,35 A	1,3 A	40 A	C	vodivosť, Cl ⁻
		2022	0,82 C	2,4 A	0,94 B	8,33 A	100 A	3,16 A	1,42 A	40 A	C	vodivosť
98890	STRBSKE PLESO	2021	23,58 A	4,28 A	235,84 A	16,66 A	16,18 A	58,96 A	3,33 A	40 A	A	
		2022	18,42 A	6,31 A	128,2 A	6,25 A	12,82 A	19,08 A	3,33 A	23,52 A	A	
137390	STARY SMOKOVEC	2022	17,13 A			5,26 A	33,33 A				A	
239799	TATR.MATLIARE	2021	28,08 A	12 A	500 A	25 A	12,34 A	31,52 A	5 A	40 A	A	
		2022	29,69 A	12 A	500 A	16,66 A	18,51 A	43,1 A	4,28 A	40 A	A	
298290	GERLACHOV	2022	1,98 A			9,09 A	55,55 A				A	
299390	KEZMAROK	2021	1,6 A	3,75 A	35,73 A	13,33 A	3,23 A	3,18 A	2 A	40 A	A	
		2022	1,66 A	4,61 A	33,11 A	2,12 A	5,88 A	3,41 A	2,5 A	40 A	A	
890190	NOVA POLIANKA NPH-1	2021	27,17 A	7,05 A	500 A	10 A	25,77 A	46,33 A	12 A	40 A	A	
		2022	28,15 A	12 A	500 A	9,09 A	28,57 A	41,66 A	5,45 A	40 A	A	
890590	HORNY SMOKOVEC	2022	4,96 A			2,43 A	100 A				A	
890690	STARA LESNA LH-6	2021	13,96 A	2,26 A	200 A	20 A	9,52 A	23,14 A	2,5 A	40 A	A	
		2022	13,73 A	1,93 A	294,11 A	5,88 A	9,8 A	24,75 A	1,81 A	40 A	A	

M – 140 Mezozoikum časti Kozích chrbtovplocha: 72.4 km²

č. objektu	lokalita	rok	vodivost'	CHSK _{Mn}	Cl ⁻	NH ₄ ⁺	NO ₃ ⁻	SO ₄ ²⁻	TOC	As	bil.stav	ukazovateľ
239999	VYSNA SUNAVA	2021	2,76 A	8,88 A	500 A	14,28 A	6,4 A	14,53 A	3,63 A	40 A	A	
		2022	2,76 A	12 A	500 A	5,55 A	7,24 A	16,12 A	3,75 A	40 A	A	
514090	SVIT - LUCIVNA	2021	2,41 A	8,27 A	100,1 A	25 A	8,68 A	12,93 A	3,33 A	18,6 A	A	
		2022	2,38 A	12 A	500 A	16,66 A	17,85 A	56,81 A	3 A	40 A	A	

PQ – 141 Paleogén Spišskej Magury, Ľubovnianskej vrchoviny, SZ časti Spiško-šarišského medzihoria a Pienin

plocha: 798.3 km²

č. objektu	lokalita	rok	vodivost'	CHSK _{Mn}	Cl ⁻	NH ₄ ⁺	NO ₃ ⁻	SO ₄ ²⁻	TOC	As	bil.stav	ukazovateľ
97790	PLAVNICA	2021	1,47 A	4,61 A	12,88 A	14,28 A	1,43 A	7,68 A	2,4 A	40 A	A	
		2022	1,37 A	5,21 A	16,5 A	9,09 A	2,82 A	6,25 A	2,4 A	40 A	A	
137690	HNEZDNE	2021	1,08 B	4 A	1,43 A	5,88 A	60,97 A	12,46 A	2,6 A	16,66 A	B	vodivost'
		2022	0,87 C	6,31 A	1,11 A	2,56 A	100 A	7,81 A	2,6 A	40 A	C	vodivost'
235399	JEZERSKO	2021	3,67 A	12 A	500 A	25 A	16,77 A	8,86 A	6 A	40 A	A	
		2022	3,69 A	12 A	500 A	100 A	25 A	10,12 A	3,75 A	40 A	A	
297690	PLAVEC	2021	2,14 A	12 A	43,32 A	11,11 A	16,83 A	13,55 A	3,75 A	40 A	A	
		2022	1,99 A	12 A	43,47 A	10 A	15,38 A	13,44 A	3 A	40 A	A	
521690	JARABINA	2021	1,98 A	12 A	45,04 A	0,84 C	42,37 A	250 A	5 A	9,09 A	C	NH ₄ ⁺
		2022	1,97 A	5 A	53,19 A	0,81 C	100 A	250 A	3 A	6,66 A	C	NH ₄ ⁺

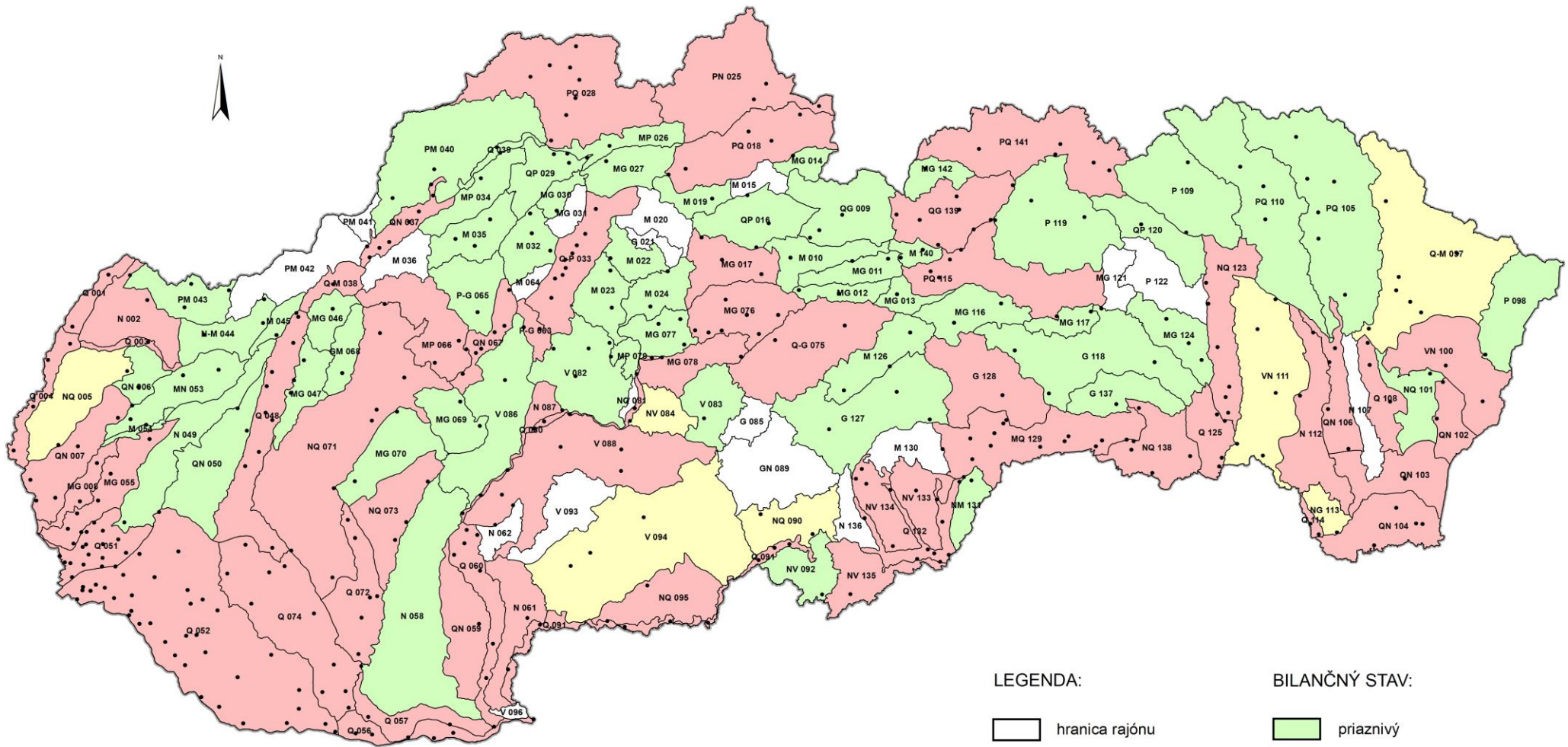
MG – 142 Mezozoikum a príľahlé kryštalinikum Vysokých a Belianskych Tatier

plocha: 140.2 km²

č. objektu	lokalita	rok	vodivost'	CHSK _{Mn}	Cl ⁻	NH ₄ ⁺	NO ₃ ⁻	SO ₄ ²⁻	TOC	As	bil.stav	ukazovateľ
235799	JAVORINA	2021	5,18 A	4,21 A	500 A	25 A	15,24 A	41,68 A	3,52 A	40 A	A	
		2022	5,12 A	4,28 A	500 A	10 A	16,12 A	43,85 A	3,33 A	40 A	A	

7. MAPOVÁ PRÍLOHA

BILANČNÝ STAV KVALITY PODZEMNÝCH VÔD NA SLOVENSKU V ROKU 2021

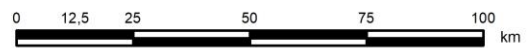


LEGENDA:

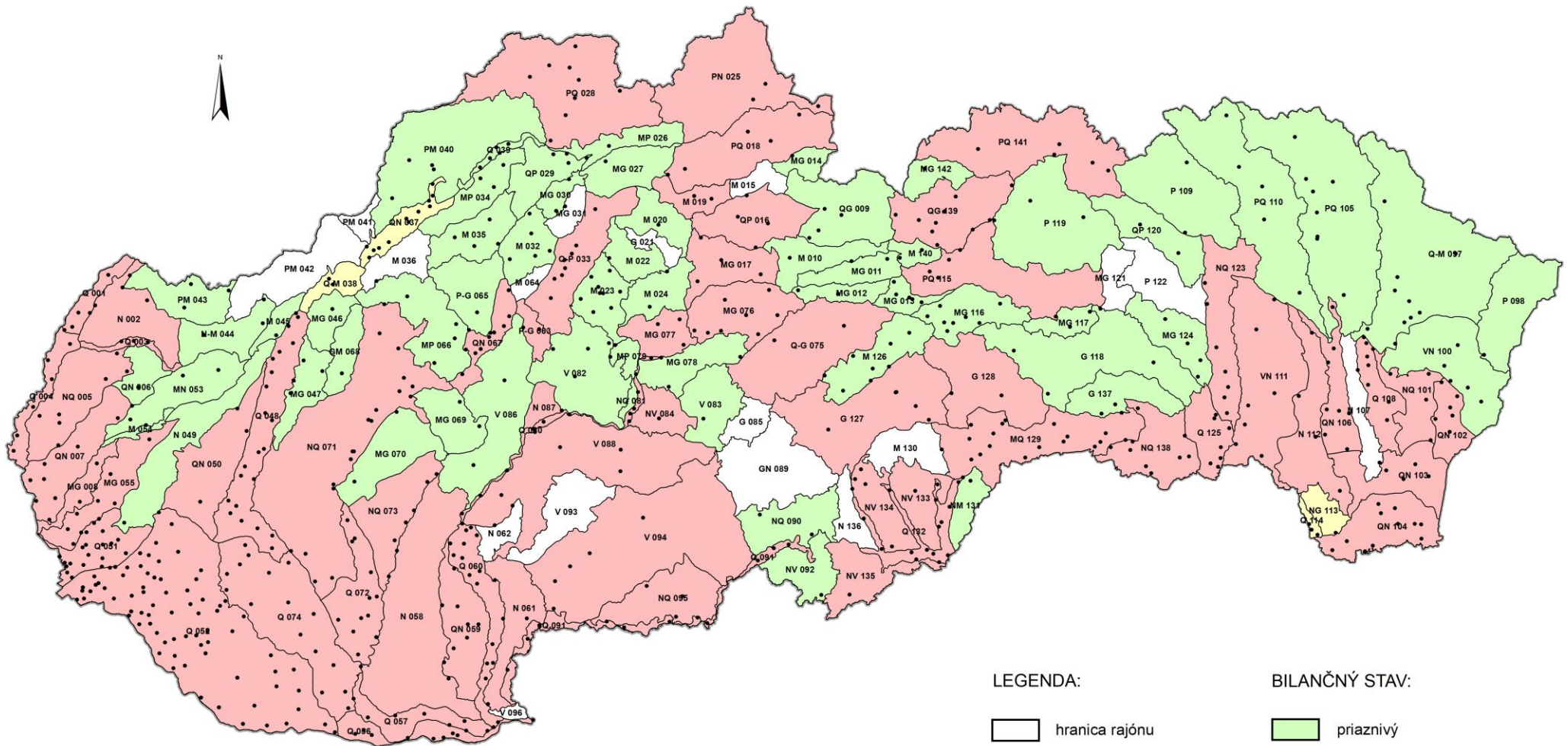
- hranica rajónu
- 078 poradové číslo rajónu
- QN charakteristika rajónu
- pozorovací objekt

BILANČNÝ STAV:

- priaznivý
- napätý
- pasívny
- nehodnotený



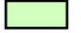



BILANČNÝ STAV KVALITY PODZEMNÝCH VÔD NA SLOVENSKU V ROKU 2022



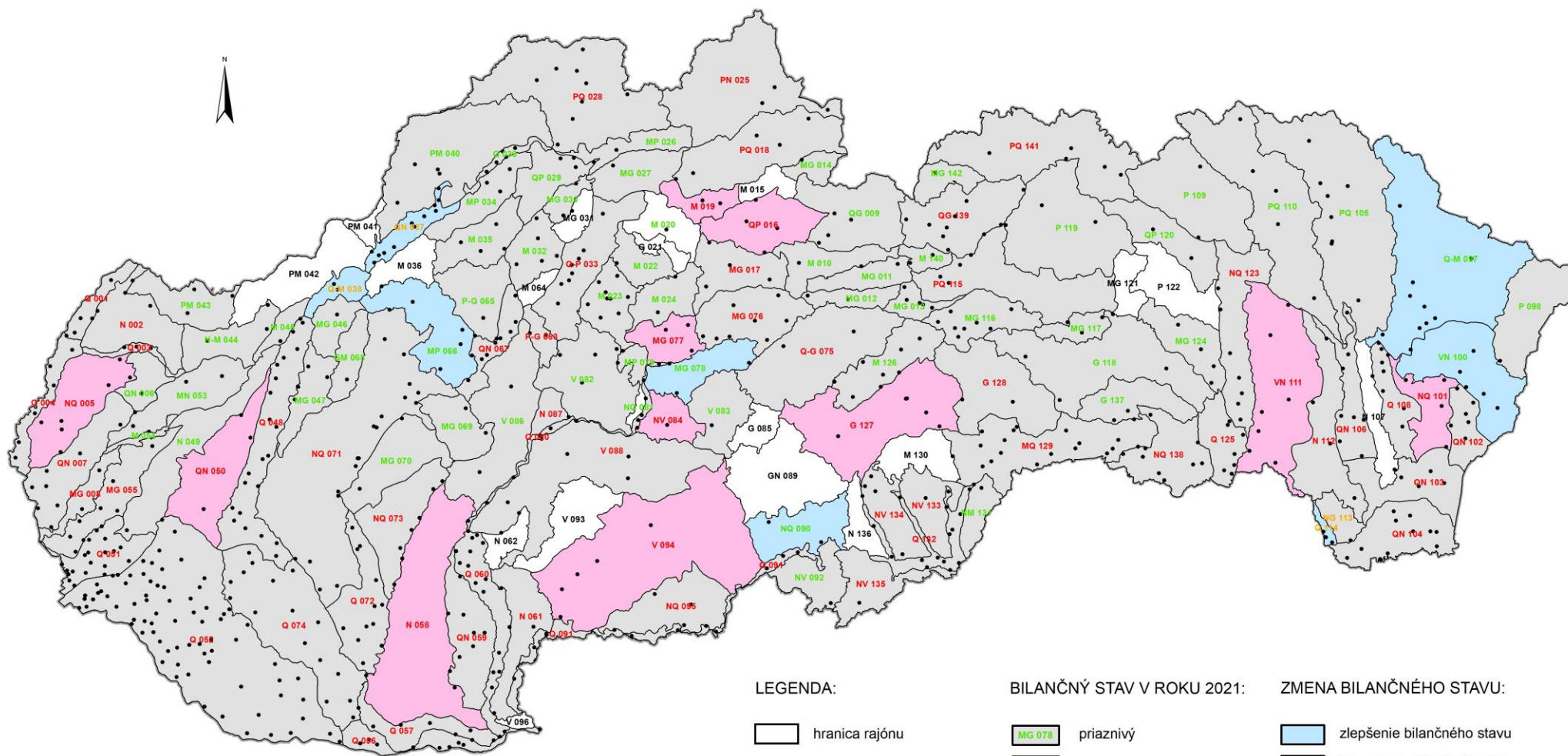
LEGENDA:

-  hranica rajónu
- 078 poradové číslo rajónu
- QN charakteristika rajónu
- pozorovací objekt


BILANČNÝ STAV:

-  priaznivý
-  napätý
-  pasívny
-  nehodnotený

ZMENA BILANČNÉHO STAVU KVALITY PODZEMNÝCH VÔD NA SLOVENSKU V ROKU 2022 V POROVNANÍ S ROKOM 2021




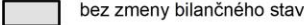


LEGENDA:

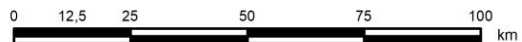
-  hranica rajónu
- 078** poradové číslo rajónu
- QN** charakteristika rajónu
- pozorovací objekt

BILANČNÝ STAV V ROKU 2021:

-  priaznivý
-  napätý
-  pasívny
-  nehodnotený

ZMENA BILANČNÉHO STAVU:

-  zlepšenie bilančného stavu
-  bez zmeny bilančného stavu
-  zhoršenie bilančného stavu
-  nehodnotený bilančný stav



8. AKTUALIZÁCIA HODNOTENIA VHB KVALITY PODZEMNEJ VODY

8.1 Návrh aktualizácie hodnotenia VHB kvality PzV

V súčasnosti sa v zmysle Vyhlášky MPŽPaRR č. 418/2010 Z.z., §19 ods. 9 hodnotenie bilančného stavu vykonáva v súlade s kvantitatívnym hodnotením v hydrogeologických rajónoch. V nadväznosti na Smernicu 2000/60/ Európskeho parlamentu (ďalej RSV) sa pripravuje aktualizácia hodnotenia bilančných stavov v útvaroch podzemných vôd. Zoznam pozorovacích objektov v hydrogeologických rajónoch so zaradením do útvarov PzV je uvedený v Tabuľke č. 8.1 a znázornený na mapách, ktoré zobrazujú prekrytie hydrogeologických rajónov útvarmi podzemných vôd.

Tabuľka č. 8.1: Zoznam pozorovacích objektov v hydrogeologických rajónoch so zaradením do útvarov PzV

HG rajón	Názov HG rajónu	Číslo objektu	Lokalita	Typ objektu	Útvar PzV	Názov útvaru PzV
Q 001	Kvartér Moravy po Brodské	690	GBELY-ADAMOV	sonda	SK1000100P	Medzizrnové podzemné vody kvartérnych náplavov Viedenskej panvy
		1090	KUTY-BRODSKE	sonda	SK1000100P	
		200290	HOLIC	sonda	SK1000100P	
		200790	GBELY	sonda	SK1000100P	
		700590	BRODSKE	sonda	SK1000100P	
N 002	Neogén Chvojnickej pahorkatiny	399	RADOSOVCE	prameň	SK2000200P	Medzizrnové podzemné vody západnej časti Viedenskej panvy
		599	SKALICA	prameň	SK2000200P	
		8390	GBELY	sonda	SK2000200P	
		200490	TRNOVEC - PRIETRZKA	sonda	SK2000200P	
Q 003	Kvartér Myjavy	8090	DOJC	sonda	SK1000100P	Medzizrnové podzemné vody kvartérnych náplavov Viedenskej panvy
		8190	SENICA N/MYJAVOU	sonda	SK1000100P	
		201290	STEFANOV	sonda	SK1000100P	
Q 004	Kvartér Moravy od Brodského po Vysokú pri Morave	2490	SUCHOHRAD	sonda	SK1000100P	Medzizrnové podzemné vody kvartérnych náplavov Viedenskej panvy
		8990	MORAVSKY SVATY JAN	sonda	SK1000100P	
		201690	MORAVSKY SVATY JAN - SEKULE	sonda	SK1000100P	
		209090	ZAHORSKA VES	sonda	SK1000100P	
		209590	GAJARY	sonda	SK1000100P	
		500190	KUTY	sonda	SK2000200P	
NQ 005	Neogén centrálnej časti Borskej nížiny	1390	BORSKY MIKULAS	sonda	SK2000200P	Medzizrnové podzemné vody západnej časti Viedenskej panvy
		2290	MALACKY	sonda	SK2000200P	
		2690	MALACKY-KOSTOLISTE	sonda	SK2000200P	
		2790	MALACKY KOZANEK	sonda	SK2000200P	
		7490	BILKOVE HUMENCE	sonda	SK2000200P	
		10899	LAKSARSKA NOVA VES - ZELENACEK	prameň	SK2000200P	
		202190	GAJARY	sonda	SK2000200P	
QN 006	Kvartér a neogén SV časti Borskej nížiny	7099	PLAVECKY PETER	prameň	SK2000400P	Medzizrnové podzemné vody východnej časti Viedenskej panvy
		207390	PLAVECKY MIKULAS	sonda	SK1000100P	Medzizrnové podzemné vody kvartérnych náplavov Viedenskej panvy
QN 007	Kvartér a neogén J a JV časti Borskej nížiny	3090	ZOHOR	sonda	SK1000100P	
		3190	DEVINSKE JAZERO	sonda	SK1000100P	
		3290	STUPAVA	sonda	SK1000100P	
		6890	DEVINSKA NOVA VES	sonda	SK1000100P	
		6990	SOLOSINICA	sonda	SK1000100P	
		206790	PERNEK	sonda	SK1000100P	
		209390	LAB	sonda	SK1000100P	
		209490	VYSOKA PRI MORAVE	sonda	SK1000100P	

HG rajón	Názov HG rajónu	Číslo objektu	Lokalita	Typ objektu	Útvar PzV	Názov útvaru PzV
MG 008	Kryštalínikum a mezozoikum JZ časti Malých Karpát	14399	BORINKA-PROPADLE	prameň	SK200010FK	Puklinové a krasovo - puklinové podzemné vody Pezinských a Devínskych Karpát čiastkového povodia Moravy a Dunaja
		554199	PERNEK	prameň	SK200010FK	
Q-G 009	Kryštalínikum Západných Tatier a kvartér východnej časti Liptovskej kotliny	34690	VAVRISOVO	sonda	SK1000500P	Medzizrnové podzemné vody kvartérnych náplavov horného toku Váhu a jeho prítokov
		554290	PRIBYLINA K-42	sonda	SK2003300F	Puklinové podzemné vody podtatranskej skupiny a Liptovskej kotliny
		611199	HRDOVO	prameň	SK2003300F	
		611990	VAVRISOVO	sonda	SK1000500P	Medzizrnové podzemné vody kvartérnych náplavov horného toku Váhu a jeho prítokov
M 010	Mezozoikum chočského príkrovu SV svahov Nízkyh Tatier a Kozích chrbtov	31099	SVARIN	prameň	SK200340KF	Dominantné krasovo - puklinové podzemné vody severu Nízkyh Tatier
		35299	LIPT. JAN - PRI STANIS. JAS. 1	prameň	SK200340KF	
MG 011	Paleozoikum a mezozoikum-melafýrová séria SV svahov N. Tatier a kozích chrbtov	32999	VYSNA SUNAVA, ZEMSKA C. 1	prameň	SK200360FK	Puklinové a krasovo - puklinové podzemné vody severovýchodu Nízkyh Tatier
MG 012	Mezozoikum série Veľkého Boku – západná a stredná časť a príahlé kryštalínikum SV svahov Nízkyh Tatier	31499	MALUZINA	prameň	SK200360FK	
MG 013	Mezozoikum série Veľkého Boku – V časť a príahlé kryštalínikum SV svahov Nízkyh Tatier	32899	VYSNA BOCA	prameň	SK200360FK	
		30199	LIPT.TEPLICKA	prameň	SK200410KF	Dominantné krasovo - puklinové podzemné vody východu Nízkyh Tatier
		30299	LIPT.TEPLICKA	prameň	SK200410KF	
		30399	LIPT.TEPLICKA	prameň	SK200410KF	
		30699	LIPT. TEPLICKA-TEPLICA	prameň	SK200410KF	
212399	VIKARTOVCE	prameň	SK200460KF	Dominantné krasovo - puklinové podzemné vody Slovenského raja a Galmusu		
MG 014	Mezozoikum a príahlé kryštalínikum Západných Tatier v povodí Oravy	523190	ZUBEREC	sonda	SK200270KF	Dominantné krasovo - puklinové podzemné vody Veľkej Fatry, Chočských vrchov a Západných Tatier
QP 016	Paleogén a kvartér západnej a strednej časti Liptovskej kotliny	37499	PROSIEK - PROSIEC. DOL.	prameň	SK2003300F	Puklinové podzemné vody podtatranskej skupiny a Liptovskej kotliny
		40999	LAZISKO	prameň	SK2003300F	
		248690	LIPT.MIKULAS-PALUDZKA	sonda	SK1000500P	Medzizrnové podzemné vody kvartérnych náplavov horného toku Váhu a jeho prítokov
		760690	VLACHY-VLASKY	sonda	SK2003300F	Puklinové podzemné vody podtatranskej skupiny a Liptovskej kotliny
MG 017	Mezozoikum a kryštalínikum SZ svahov Nízkyh Tatier	40299	DEMANOVSKA DOLINA - ZADNA VODA	prameň	SK200300FK	Puklinové a krasovo - puklinové podzemné vody severozápadu Nízkyh Tatier
		40699	LIPT. LUZNA-U TISTANOV	prameň	SK200300FK	
		41499	PART. LUPCA	prameň	SK200300FK	
		43599	LUDROVA - MOCIDLA	prameň	SK200300FK	
		213599	PORAC	prameň	SK200460KF	Dominantné krasovo - puklinové podzemné vody Slovenského raja a Galmusu
PQ 018	Paleogén Oravskej vrchoviny, Skorušiny a časti Oravskej Magury	43190	LIESEK	sonda	SK2001800F	Puklinové podzemné vody západnej časti flyšového pásma a podtatranskej skupiny
		43490	PODBIEL	sonda	SK1000500P	Medzizrnové podzemné vody kvartérnych náplavov horného toku Váhu a jeho prítokov
		242990	VELICNA	sonda	SK1000500P	
		243590	PARNICA	sonda	SK1000500P	
		521190	ORAV.BIELY POTOK P-11	sonda	SK2001800F	Puklinové podzemné vody západnej časti flyšového pásma a podtatranskej skupiny
M 019	Mezozoikum západnej časti Chočských vrchov	41799	LUCKY	prameň	SK200270KF	Dominantné krasovo - puklinové podzemné vody Veľkej Fatry, Chočských vrchov a Západných Tatier
		42999	VALAS.DUBOVA	prameň	SK200270KF	
M 020	Mezozoikum S časti Veľkej Fatry	39599	LUBOCHNA-SALATIN C.4	prameň	SK200270KF	
M 022	Mezozoikum Veľkej Fatry v oblasti medzi Smrekovicou	67599	NECPALY - LASCE	prameň	SK200270KF	

HG rajón	Názov HG rajónu	Číslo objektu	Lokalita	Typ objektu	Útvar PzV	Názov útvaru PzV
	a Ploskou					
MV023	Mezozoikum chočského príkrovu JZ časti Veľkej Fatry	61399	CREMOSNE-VYVER Z TUNELA	prameň	SK200270KF	Dominantné krasovo - puklinové podzemné vody Veľkej Fatry, Chočských vrchov a Západných Tatier
		61899	RAKSA-CIBULOVA	prameň	SK200270KF	
		65499	BLATNICA	prameň	SK200270KF	
		65699	BLATNICA	prameň	SK200270KF	
		66299	BLATNICA	prameň	SK200270KF	
		66399	BLATNICA	prameň	SK200270KF	
		66699	BLATNICA-DOLNE VETERNE	prameň	SK200270KF	
		67499	BLATNICA	prameň	SK200270KF	
		132599	HARMANEC - ZALAMANA 1	prameň	SK200250KF	Dominantné krasovo - puklinové podzemné vody Veľkej Fatry
M 024	Mezozoikum Veľkej Fatry a Nízkych Tatier medzi Ploskou a v okolí Donovalov	38299	L.REVUCE	prameň	SK200270KF	Dominantné krasovo - puklinové podzemné vody Veľkej Fatry, Chočských vrchov a Západných Tatier
		127999	MOTYCKY,pr.GEN.CUNDERLIKA	prameň	SK200250KF	Dominantné krasovo - puklinové podzemné vody Veľkej Fatry
PN 025	Paleogén povodia Bielej Oravy a neogén Oravskej kotliny	45299	NAMESTOVO-pr.JEDLICNIK	prameň	SK2001800F	Puklinové podzemné vody západnej časti flyšového pásma a podtatranskej skupiny
		45799	HLADOVKA	prameň	SK2003200P	Medzizrnové podzemné vody Oravskej kotliny
		514490	BOBROV	sonda	SK2003200P	
MP 026	Mezozoikum bradlového pásma a paleogén v povodí Varínky	34790	ZLIEN	sonda	SK2001800F	Puklinové podzemné vody západnej časti flyšového pásma a podtatranskej skupiny
MG 027	Mezozoikum a kryštalinikum Krivánskej Fatry	68099	BELA - PRI VARINE	prameň	SK200240FK	Puklinové a krasovo - puklinové podzemné vody Malej Fatry
PQ 028	Paleogén a kvartér povodia Kysuce	41190	BRODNO	sonda	SK1000500P	Medzizrnové podzemné vody kvartérnych náplavov horného toku Váhu a jeho prítokov
		41690	DUNAJOV	sonda	SK1000500P	
		42090	KRASNO NAD KYSUCOU	sonda	SK1000500P	
		42190	CADCA	sonda	SK1000500P	
		42390	CIERNE	sonda	SK1000500P	
		42690	RAKOVA - ZAPAD	sonda	SK1000500P	
		73599	N.BYSTRICA-ZA MEDVEDIM	prameň	SK2001800F	Puklinové podzemné vody západnej časti flyšového pásma a podtatranskej skupiny
		241490	KYSUCKE NOVE MESTO	sonda	SK1000500P	Medzizrnové podzemné vody kvartérnych náplavov horného toku Váhu a jeho prítokov
QP 029	Paleogén a kvartér časti Žilinskej kotliny a V okraja Súľovských vrchov	31690	ZILINA	sonda	SK1000500P	Medzizrnové podzemné vody kvartérnych náplavov horného toku Váhu a jeho prítokov
		32190	MOJS	sonda	SK1000500P	
		32990	KRASNANY	sonda	SK1000500P	
		231990	TEPLICKA NAD VAHOM	sonda	SK1000500P	
MG 030	Kryštalinikum a mezozoikum SZ svahov Lúčanskej Fatry	75199	STRANAVY	prameň	SK200240FK	Puklinové a krasovo - puklinové podzemné vody Malej Fatry
		79599	KUNERAD	prameň	SK200240FK	
		551590	MARTIN-MART.HOLE K-15	sonda	SK200240FK	
M 032	Mezozoikum J časti Lúčanskej Fatry	63099	VRICKO	prameň	SK200140KF	Dominantné krasovo - puklinové podzemné vody severnej časti Strážovských vrchov a Lúčanskej Malej Fatry
		64299	KLASTOR POD ZNIEVOM	prameň	SK1001400P	Medzizrnové podzemné vody kvartérnych náplavov horného toku Ondavy a jej prítokov
		77799	RAJECKA LESNA	prameň	SK200140KF	Dominantné krasovo - puklinové podzemné vody severnej časti Strážovských vrchov

HG rajón	Názov HG rajónu	Číslo objektu	Lokalita	Typ objektu	Útvar PzV	Názov útvaru PzV
		77999	KAMENNA PORUBA - HORNY	prameň	SK200140KF	a Lúčanskej Malej Fatry
		105299	KLACNO	prameň	SK200140KF	
Q-P 033	Paleogén, neogén a kvartér Turčianskej kotliny	45890	KOSTANY	sonda	SK1000500P	Medzirezňové podzemné vody kvartérnych náplavov horného toku Váhu a jeho prítokov
		46390	KLASTOR POD ZNIEVOM	sonda	SK1000500P	
		46690	IVANCINA	sonda	SK1000500P	
		46790	BLAZOVCE	sonda	SK1000500P	
		61499	JAZERNICA	prameň	SK2002100P	Medzirezňové podzemné vody Turčianskej kotliny
		245590	MARTIN - PRIEKOPA	sonda	SK1000500P	Medzirezňové podzemné vody kvartérnych náplavov horného toku Váhu a jeho prítokov
		246090	PRIBOVCE- BENICE	sonda	SK1000500P	
		246290	LEZIACHOV	sonda	SK1000500P	
		610690	DUBOVE	sonda	SK1000500P	
MP 034	Paleogén a mezozoikum bradlového pásma Súfovských vrchov a Podmanínskej pahorkatiny	80999	POVAZSKA TEPLA	prameň	SK2001800F	Puklinové podzemné vody západnej časti flyšového pásma a podtatranskej skupiny
		81199	KOSTOLEC-OSTRENEC 2	prameň	SK2001800F	
		84099	JABLONOVE	prameň	SK2001800F	
M 035	Mezozoikum S časti Strážovských vrchov	77299	FACKOV-RAZTOKY C.1	prameň	SK200140KF	Dominantné krasovo - puklinové podzemné vody severnej časti Strážovských vrchov a Lúčanskej Malej Fatry
		81899	DOM.LEHOTA-MLYN NA BARIN.	prameň	SK200140KF	
		88199	PRUZINA-BYKY	prameň	SK200140KF	
		89099	MOJTIN-UHLISKA C.1	prameň	SK200140KF	
QN 037	Kvartér a neogén Iľavskej kotliny	16590	KLUCOVE	sonda	SK1000500P	Medzirezňové podzemné vody kvartérnych náplavov horného toku Váhu a jeho prítokov
		16690	DUBNICA NAD VAHOM	sonda	SK1000500P	
		16790	TRENCIANSKA TEPLA	sonda	SK1000500P	
		17090	PRILES	sonda	SK1000500P	
		18890	TUCHYNA	sonda	SK1000500P	
		18990	SAVCINA	sonda	SK1000500P	
		19490	DOBRA PRAMEN-JAZERO	sonda	SK1000500P	
		19590	PUCHOV	sonda	SK1000500P	
		217190	HOROVCE	sonda	SK1000500P	
		217590	BELUSA	sonda	SK1001500P	
		217790	HORENICKA HORKA	sonda	SK1000500P	
		217890	DOLNE KOCKOVCE	sonda	SK1000500P	
Q-M 038	Kvartér Trenčianskej kotliny a príľahlé mezozoikum Trenčianskej vrchoviny	15890	CHOCHOLNA-VELCICE	sonda	SK1001500P	Dominantné krasovo - puklinové podzemné vody severnej časti Strážovských vrchov a Lúčanskej Malej Fatry
		16090	VELKE BIEROVCE	sonda	SK1000500P	
		91699	KUBRICA-KALINKY C.1	prameň	SK200140KF	
Q 039	Kvartér Bytčianskej kotliny	19190	PLEVNIK-DRIENOVE	sonda	SK1000500P	Medzirezňové podzemné vody kvartérnych náplavov horného toku Váhu a jeho prítokov
		19290	PREDMIER	sonda	SK1000500P	
		217990	HRABOVE	sonda	SK1000500P	
		218090	BYTCA	sonda	SK1000500P	
		218490	KOTESOVA	sonda	SK1000500P	

HG rajón	Názov HG rajónu	Číslo objektu	Lokalita	Typ objektu	Útvar PzV	Názov útvaru PzV
PM 040	Paleogén a mezozoikum bradlového pásma Javorníkov a SV časti Bielych Karpát	83499	ZARIECIE-C.1	prameň	SK2001800F	Puklinové podzemné vody západnej časti flyšového pásma a podtatranskej skupiny
		83799	IHRISTE	prameň	SK2001800F	
		84299	MOSTISTE	prameň	SK2001800F	
		86599	C.KAMEN	prameň	SK2001800F	
PM 043	Paleogén a mezozoikum bradlového pásma Z časti Bielych Karpát	2399	STARA MYJAVA	prameň	SK2000700F	Puklinové podzemné vody západnej časti flyšového pásma
		5099	VRBOVCE	prameň	SK2000700F	
		5299	SOBOTISTE	prameň	SK2000700F	
N-M 044	Neogén až krieda Myjavskej pahorkatiny JZ od bradlového pásma	3399	BREZ.P.BRADLOM	prameň	SK2000400P	Medzizrnové podzemné vody východnej časti Viedenskej panvy
		95699	LUBINA	prameň	SK2000900F	Puklinové podzemné vody Myjavskej pahorkatiny
		99899	VADOVCE	prameň	SK2000900F	
M 045	Mezozoikum Čachtických Karpát a časti Bielokarpatského podhoria	13290	CACHTICE	prameň	SK200080KF	Dominantné krasovo - puklinové podzemné vody Pezinských, Brezovských a Čachtických Karpát čiastkového povodia Váhu
MG 046	Mezozoikum a paleozoikum SZ časti Považského Inovca	514890	SELEC	sonda	SK200120FK	Puklinové a krasovo - puklinové podzemné vody severnej časti Považského Inovca
MG 047	Mezozoikum strednej a južnej časti Považského Inovca	98099	LUKA N/VAHOM	prameň	SK200110KF	Dominantné krasovo - puklinové podzemné vody južnej časti Považského Inovca
		98999	BANKA - VAPENISTE	prameň	SK200110KF	
Q 048	Kvartér Váhu v Podunajskej nížine S od čiar Šaľa - Galanta	5690	VLCKOVCE	sonda	SK1000400P	Medzizrnové podzemné vody kvartérnych náplav dolného toku Váhu, Nitry a ich prítokov
		13390	KOCURICE	sonda	SK1000400P	
		14090	DOLNE VODERADY	sonda	SK1000400P	
		14290	DRAHOVCE	sonda	SK1000400P	
		14390	MALY OSTROV - ORVISTE	sonda	SK1000400P	
		14890	PODOLIE - KORYTNE	sonda	SK1000400P	
		14990	NOVE MESTO NAD VAHOM	sonda	SK1000400P	
		18590	POVAZANY	sonda	SK1000400P	
		19390	CASTKOVCE	sonda	SK1000400P	
		20290	LEOPOLDOV	sonda	SK1000400P	
		20690	LOVCICE	sonda	SK1000400P	
		20790	BRESTOVANY	sonda	SK1000400P	
		21390	SERED-MALY HAJ	sonda	SK1000400P	
		21590	SERED-DOLNA STREDA	sonda	SK1000400P	
		21790	SOPORNA-JUH	sonda	SK1000400P	
		21990	SILADICE	sonda	SK1000400P	
		22190	SOPORNA-STRKOVEC	sonda	SK1000400P	
		23390	VAHOVCE	sonda	SK1000400P	
		205790	SERED	sonda	SK1000400P	
		214490	MORAVANY	sonda	SK1000400P	
215290	NOVE MESTO NAD VAHOM	sonda	SK1000400P			
220890	SULEKOVO	sonda	SK1000400P			
222590	SALA-VECA	sonda	SK1000400P			
		531490	NOVE MESTO N/VAH. M-14	sonda	SK2001000P	Medzizrnové podzemné vody centrálnej časti Podunajskej panvy a jej výbežkov

HG rajón	Názov HG rajónu	Číslo objektu	Lokalita	Typ objektu	Útvar PzV	Názov útvaru PzV
N 049	Neogén Trnavskej pahorkatiny	6290	NIZNA - HUC-10/1	sonda	SK2001000P	Medzizrnové podzemné vody centrálnej časti Podunajskej panvy a jej výbežkov
		501090	CHORVATSKY GROB - HUC-1/1	sonda	SK2001000P	
QN 050	Kvartér Trnavskej pahorkatiny	4590	ZLKOVCE RATKOVCE	sonda	SK2001000P	Medzizrnové podzemné vody centrálnej časti Podunajskej panvy a jej výbežkov
		5390	VODERADY	sonda	SK2001000P	
Q 051	Kvartér západného okraja Podunajskej roviny	71390	VAJNORY-STRKOVISKO	sonda	SK1000300P	Medzizrnové podzemné vody kvartérnych náplavov centrálnej časti Podunajskej panvy
		71690	BA - RUZINOVSKA ULICA	sonda	SK1000300P	
		210890	ZALESIE	sonda	SK1000300P	
		270390	SPRINCLOV MAJER	sonda	SK1000300P	
		270790	BA - ZA DYNAMITKOU	sonda	SK1000300P	
		272690	BA - PALENISKO	sonda	SK1000300P	
		273190	BA - VRAKUNA	sonda	SK1000300P	Medzizrnové podzemné vody kvartérnych náplavov západnej časti Podunajskej panvy
		279490	BA - PETRZALKA - COLNICA	sonda	SK1000200P	
		279590	BA - JANIČOV DVOR	sonda	SK1000200P	Medzizrnové podzemné vody kvartérnych náplavov centrálnej časti Podunajskej panvy
		344990	BA - RUZINOV	sonda	SK1000300P	
		601691	ROVINKA	sonda	SK1000300P	Medzizrnové podzemné vody kvartérnych náplavov západnej časti Podunajskej panvy
		601692	ROVINKA	sonda	SK1000300P	
		603491	JAROVCE	sonda	SK1000200P	Medzizrnové podzemné vody kvartérnych náplavov západnej časti Podunajskej panvy
		603492	JAROVCE	sonda	SK1000200P	
		712590	BA - PETRZALKA	sonda	SK1000200P	
		716690	PETRZALKA	sonda	SK1000200P	
		716890	PETRZALKA	sonda	SK1000200P	Medzizrnové podzemné vody kvartérnych náplavov centrálnej časti Podunajskej panvy
		720090	PODUNAJSKÉ BISKUPIČE	sonda	SK1000300P	
		720190	BRATISLAVA - VĽČIE HRDLO	sonda	SK1000200P	Medzizrnové podzemné vody kvartérnych náplavov západnej časti Podunajskej panvy
		721591	MALINOVO	sonda	SK1000300P	Medzizrnové podzemné vody kvartérnych náplavov centrálnej časti Podunajskej panvy
721592	MALINOVO	sonda	SK1000300P			
721593	MALINOVO	sonda	SK1000300P			
890	RECA	sonda	SK1000300P			
Q 052	Kvartér JZ časti Podunajskej roviny	10190	HRUBY SUR	sonda	SK1000300P	Medzizrnové podzemné vody kvartérnych náplavov centrálnej časti Podunajskej panvy
		12190	NOVE OSADY-SEDIN	sonda	SK1000300P	
		61790	ZEMIANSKA OLČA	sonda	SK1000300P	
		61990	TON	sonda	SK1000300P	
		64690	VELKÉ KOŠIHY	sonda	SK1000200P	
		66290	VRAKUN	sonda	SK1000300P	Medzizrnové podzemné vody kvartérnych náplavov centrálnej časti Podunajskej panvy
		66390	KUTNIKY-POVODA-PODAFA	sonda	SK1000300P	
		66590	DVORNIKY N.O.-KELE MJ.	sonda	SK1000300P	
		66690	JAHODNA	sonda	SK1000300P	
		66790	BAKA	sonda	SK1000300P	

HG rajón	Názov HG rajónu	Číslo objektu	Lokalita	Typ objektu	Útvar PzV	Názov útvaru PzV
		67090	VYDRANY	sonda	SK1000300P	Medzizrnové podzemné vody kvartérnych náplavov centrálnej časti Podunajskej panvy
		67990	HORNY BAR-SULANY	sonda	SK1000300P	
		68190	LEHNICE-VELKY LEG	sonda	SK1000300P	
		68290	MASLOVCE	sonda	SK1000300P	
		68490	ROHOVCE	sonda	SK1000300P	
		68890	MIEROVO	sonda	SK1000300P	
		69290	ČAKANY	sonda	SK1000300P	
		69390	JANIKY-BUSTELEK	sonda	SK1000300P	
		69490	KALINKOVO	sonda	SK1000200P	Medzizrnové podzemné vody kvartérnych náplavov západnej časti Podunajskej panvy
		69590	MILOSLAVOV - ALZBETIN DVOR	sonda	SK1000300P	Medzizrnové podzemné vody kvartérnych náplavov centrálnej časti Podunajskej panvy
		69790	BA-P.BISKUPICE-TOPOLOVE	sonda	SK1000200P	Medzizrnové podzemné vody kvartérnych náplavov západnej časti Podunajskej panvy
		72990	CUNOVO	sonda	SK1000200P	
		79890	BA-CUNOVO HRANICA	sonda	SK1000200P	
		204790	BLATNE	sonda	SK1000300P	Medzizrnové podzemné vody kvartérnych náplavov centrálnej časti Podunajskej panvy
		260290	KOMARNO	sonda	SK1000200P	Medzizrnové podzemné vody kvartérnych náplavov západnej časti Podunajskej panvy
		260490	KOMARNO	sonda	SK1000300P	Medzizrnové podzemné vody kvartérnych náplavov centrálnej časti Podunajskej panvy
		261190	KAMENICNA - PIESKY	sonda	SK1000300P	
		263190	HORNY STAL-ZEL.STANICA	sonda	SK1000300P	
		264290	OKOC - ASZOD	sonda	SK1000300P	
		264791	KLIZSKA NEMA	sonda	SK1000200P	
		264792	KLIZSKA NEMA	sonda	SK1000200P	Medzizrnové podzemné vody kvartérnych náplavov západnej časti Podunajskej panvy
		265990	TRHOVE MYTO	sonda	SK1000300P	Medzizrnové podzemné vody kvartérnych náplavov centrálnej časti Podunajskej panvy
		267490	LUC N.O.-ANTONIA DVOR	sonda	SK1000300P	
		267790	BLAHOVA SEVER	sonda	SK1000300P	
		268790	MACOV	sonda	SK1000300P	
		600491	VELKY MEDER	sonda	SK1000200P	
		600492	VELKY MEDER	sonda	SK1000200P	Medzizrnové podzemné vody kvartérnych náplavov západnej časti Podunajskej panvy
		600493	VELKY MEDER	sonda	SK1000200P	Medzizrnové podzemné vody kvartérnych náplavov centrálnej časti Podunajskej panvy
		600691	DVORNIKY NA OSTROVE	sonda	SK1000300P	
		600692	DVORNIKY NA OSTROVE	sonda	SK1000300P	
		600693	DVORNIKY NA OSTROVE	sonda	SK1000300P	
		601092	DOBROHOST	sonda	SK1000200P	Medzizrnové podzemné vody kvartérnych náplavov západnej časti Podunajskej panvy
		601095	DOBROHOST	sonda	SK1000200P	
		601096	DOBROHOST	sonda	SK1000200P	
		601191	OLDZA	sonda	SK1000300P	Medzizrnové podzemné vody kvartérnych náplavov centrálnej časti Podunajskej panvy
		601192	OLDZA	sonda	SK1000300P	

HG rajón	Názov HG rajónu	Číslo objektu	Lokalita	Typ objektu	Útvar PzV	Názov útvaru PzV
		601195	OLDZA	sonda	SK1000300P	Medzirezňové podzemné vody kvartérnych náplavov centrálnej časti Podunajskej panvy
		601291	VLKY	sonda	SK1000300P	
		601292	VLKY	sonda	SK1000300P	
		601293	VLKY	sonda	SK1000300P	
		601391	KALINKOVO	sonda	SK1000200P	Medzirezňové podzemné vody kvartérnych náplavov západnej časti Podunajskej panvy
		601392	KALINKOVO	sonda	SK1000200P	
		601393	KALINKOVO	sonda	SK1000200P	
		601591	DUNAJSKA LUZNA - KOSARISKA	sonda	SK1000300P	Medzirezňové podzemné vody kvartérnych náplavov centrálnej časti Podunajskej panvy
		601592	DUNAJSKA LUZNA - KOSARISKA	sonda	SK1000300P	
		601593	DUNAJSKA LUZNA - KOSARISKA	sonda	SK1000300P	
		602891	RUSOVCE - MOKRAD	sonda	SK1000200P	Medzirezňové podzemné vody kvartérnych náplavov západnej časti Podunajskej panvy
		602892	RUSOVCE - MOKRAD	sonda	SK1000200P	
		602893	RUSOVCE - MOKRAD	sonda	SK1000200P	
		602991	RUSOVCE	sonda	SK1000200P	
		602992	RUSOVCE	sonda	SK1000200P	
		602993	RUSOVCE	sonda	SK1000200P	
		603091	CUNOVO	sonda	SK1000200P	
		603092	CUNOVO	sonda	SK1000200P	
		603093	CUNOVO	sonda	SK1000200P	
		603191	JELKA	sonda	SK1000300P	
		603192	JELKA	sonda	SK1000300P	Medzirezňové podzemné vody kvartérnych náplavov centrálnej časti Podunajskej panvy
		603291	GABCIKOVO	sonda	SK1000300P	
		603292	GABCIKOVO	sonda	SK1000300P	
		603391	MLIECANY	sonda	SK1000300P	
		603392	MLIECANY	sonda	SK1000300P	
		605990	CALOVEC - KAMENICNA	sonda	SK1000300P	
		721390	ROVINKA	sonda	SK1000300P	
		721890	MILOSLAVOV	sonda	SK1000300P	
		722790	KALINKOVO	sonda	SK1000200P	Medzirezňové podzemné vody kvartérnych náplavov západnej časti Podunajskej panvy
		723490	ZLATE KLASY-RASTICE	sonda	SK1000300P	Medzirezňové podzemné vody kvartérnych náplavov centrálnej časti Podunajskej panvy
		723690	HUBICE	sonda	SK1000300P	
		724191	KVETOSLAVOV	sonda	SK1000300P	
		724192	KVETOSLAVOV	sonda	SK1000300P	
		724590	SAMORIN	sonda	SK1000200P	Medzirezňové podzemné vody kvartérnych náplavov západnej časti Podunajskej panvy
		724990	MALA PAKA	sonda	SK1000300P	Medzirezňové podzemné vody kvartérnych náplavov centrálnej časti Podunajskej panvy
		725491	HORNA POTON	sonda	SK1000300P	
		725492	HORNA POTON	sonda	SK1000300P	
		725493	HORNA POTON	sonda	SK1000300P	

HG rajón	Názov HG rajónu	Číslo objektu	Lokalita	Typ objektu	Útvar PzV	Názov útvaru PzV
		726290	BAC-TRNAVKA	sonda	SK1000300P	Medzizrnové podzemné vody kvartérnych náplavov centrálnej časti Podunajskej panvy
		726591	SAMORIN - MLIECNO	sonda	SK1000200P	Medzizrnové podzemné vody kvartérnych náplavov západnej časti Podunajskej panvy
		726592	SAMORIN - MLIECNO	sonda	SK1000200P	
		726593	SAMORIN - MLIECNO	sonda	SK1000200P	
		727492	VOJKA	sonda	SK1000200P	
		727493	VOJKA	sonda	SK1000200P	
		727791	ROHOVCE - STRKOVEC	sonda	SK1000300P	
		727793	ROHOVCE - STRKOVEC	sonda	SK1000300P	Medzizrnové podzemné vody kvartérnych náplavov centrálnej časti Podunajskej panvy
		727794	ROHOVCE - STRKOVEC	sonda	SK1000300P	
		728590	HOLICE	sonda	SK1000300P	
		729391	VELKE BLAHOVO	sonda	SK1000300P	
		729394	VELKE BLAHOVO	sonda	SK1000300P	
		729492	ORECHOVA POTON	sonda	SK1000300P	
		729493	ORECHOVA POTON	sonda	SK1000300P	
		731291	KOSTOLNE - KRACANY	sonda	SK1000300P	
		731292	KOSTOLNE - KRACANY	sonda	SK1000300P	
		731890	HORNY BAR	sonda	SK1000300P	
		732590	BODIKY	sonda	SK1000200P	Medzizrnové podzemné vody kvartérnych náplavov západnej časti Podunajskej panvy
		733290	VRAKUN-MAD	sonda	SK1000300P	Medzizrnové podzemné vody kvartérnych náplavov centrálnej časti Podunajskej panvy
		733691	VRAKUN	sonda	SK1000300P	
		733693	VRAKUN	sonda	SK1000300P	
		733695	VRAKUN	sonda	SK1000300P	
		734290	GABCIKOVO-BAKA	sonda	SK1000200P	
		736591	PALKOVICOVO - SAP	sonda	SK1000200P	Medzizrnové podzemné vody kvartérnych náplavov západnej časti Podunajskej panvy
		736592	PALKOVICOVO - SAP	sonda	SK1000200P	
		736593	PALKOVICOVO - SAP	sonda	SK1000200P	
		736691	KLUCOVEC	sonda	SK1000200P	
736692	KLUCOVEC	sonda	SK1000200P			
736693	KLUCOVEC	sonda	SK1000200P			
737490	TON	sonda	SK1000200P			
738191	ZLATNA NA OSTROVE	sonda	SK1000200P			
752590	IVANKA PRI DUNAJI P-4	sonda	SK1000300P	Medzizrnové podzemné vody kvartérnych náplavov centrálnej časti Podunajskej panvy		
MN 053	Mezozoikum S časti Pezinských Karpát a Brezovských Karpát	4399	JABLONICA	prameň	SK200060KF	
		8199	PLAV.PODHRADIE	prameň	SK200060KF	
		23199	CHTELNICA	prameň	SK200080KF	Dominantné krasovo - puklinové podzemné vody Pezinských, Brezovských a Čachtických Karpát čiastkového povodia Váhu
M 054	Mezozoikum krížňanského príkrovu Malých Karpát	24399	HORNE ORESANY	prameň	SK200080KF	
MG 055	Kryštalínium a mezozoikum JV časti Pezinských Karpát	10990	PEZINOK-GRINAVA	sonda	SK1000300P	Medzizrnové podzemné vody kvartérnych náplavov centrálnej časti Podunajskej

HG rajón	Názov HG rajónu	Číslo objektu	Lokalita	Typ objektu	Útvar PzV	Názov útvaru PzV
						panvy
		20799	JUR PRI BRAT	prameň	SK200030FK	Puklinové a krasovo - puklinové podzemné vody Pezinských Karpát čiastkového povodia Váhu
		21599	ZELEZNA STUDNICKA	prameň	SK200010FK	Puklinové a krasovo - puklinové podzemné vody Pezinských a Devinských Karpát čiastkového povodia Moravy a Dunaja
		21699	RACA-ZBOJNICKA	prameň	SK200010FK	
		23099	PEZINOK - KNAZOVE DIERY	prameň	SK200030FK	Puklinové a krasovo - puklinové podzemné vody Pezinských Karpát čiastkového povodia Váhu
		24499	DOLANY	prameň	SK200030FK	
		71090	BA-KUJOVICOVO HRADLO	sonda	SK1000300P	Medzizrnové podzemné vody kvartérnych náplav centrálnej časti Podunajskej panvy
		144590	BA - GASTANOVY HAJIK	sonda	SK1000300P	
		402290	BRATISLAVA	sonda	SK2000500P	Medzizrnové podzemné vody južnej časti Podunajskej panvy
Q 056	Kvartér Dunaja v úseku Komárno - Chľaba	50890	IZA	sonda	SK1000600P	Medzizrnové podzemné vody kvartérnych náplav východnej časti Podunajskej panvy
		52990	IZA - BOKROS	sonda	SK1000600P	
		61290	ZLATNA N.O.-NOVINA	sonda	SK1000200P	Medzizrnové podzemné vody kvartérnych náplav západnej časti Podunajskej panvy
		251490	MUZLA - KENDELES	sonda	SK1000600P	Medzizrnové podzemné vody kvartérnych náplav východnej časti Podunajskej panvy
		286990	CHLABA - USTIE	sonda	SK1000600P	
		602390	IZA	sonda	SK1000600P	
		602690	KRAVANY	sonda	SK1000600P	
		742690	MUZLA	sonda	SK1000600P	
743290	MUZLA	sonda	SK1000600P			
Q 057	Kvartér dunajských terás na úpätí Hronskej pahorkatiny	28199	MUZLA	prameň	SK2000500P	Medzizrnové podzemné vody južnej časti Podunajskej panvy
		38490	HURBANOVO-VELKY KONKOL	sonda	SK1000600P	Medzizrnové podzemné vody kvartérnych náplav východnej časti Podunajskej panvy
		50190	MUZLA	sonda	SK1000600P	
		50290	MUZLA	sonda	SK1000600P	Medzizrnové podzemné vody východnej časti Podunajskej panvy a Ipeľskej kotliny
		50590	STUROVO	sonda	SK2002300P	
		51890	BUC	sonda	SK1000600P	
		53190	CHOTIN	sonda	SK1000600P	
		252290	MOCSKA PUSTA	sonda	SK1000600P	
252390	MODRANY	sonda	SK1000600P			
602490	MOCA	sonda	SK1000600P			
N 058	Neogén Hronskej pahorkatiny	22690	BAJC	sonda	SK2001000P	Medzizrnové podzemné vody centrálnej časti Podunajskej panvy a jej výbežkov
		54390	SVODIN	sonda	SK2002300P	Medzizrnové podzemné vody východnej časti Podunajskej panvy a Ipeľskej kotliny
QN 059	Kvartér hronských terás v Podunajskej nížine	54490	VELKE LUDINCE	sonda	SK1000700P	Medzizrnové podzemné vody kvartérnych náplav Hrona a jeho prítokov
		54690	KURALANY	sonda	SK1000700P	
		54890	MEDVECKE	sonda	SK1000700P	
		54990	TEKOVSKÉ LUZANY	sonda	SK1000700P	
		57190	ZELIEZOVCE	sonda	SK1000700P	
		58090	ZEMLIARE	sonda	SK1000700P	
		146499	VELKY DVOR - BAZANTNICA	prameň	SK2002300P	Medzizrnové podzemné vody východnej časti Podunajskej panvy a Ipeľskej kotliny
146599	NYROVCE	prameň	SK2002300P			

HG rajón	Názov HG rajónu	Číslo objektu	Lokalita	Typ objektu	Útvar PzV	Názov útvaru PzV
Q 060	Kvartér nivy Hrona v Podunajskej nížine	257890	KALNA NAD HRONOM	sonda	SK1000700P	Medzizrnové podzemné vody kvartérnych náplavov Hrona a jeho prítokov
		50690	STUROVO	sonda	SK1000700P	
		56090	BINA	sonda	SK1000700P	
		56490	CATA-VYCHOD	sonda	SK1000700P	
		56590	ZALABA	sonda	SK1000700P	
		56990	SALOV - DOMASA	sonda	SK1000700P	
		57590	SIKENICA-TRHYNA-V.PESEK	sonda	SK1000700P	
		58390	MYTNE LUDANY - VYCHOD	sonda	SK1000700P	
		58490	VYSNE NAD HRONOM	sonda	SK1000700P	
		58590	LEVICE - MAJER GENA	sonda	SK1000700P	
		58790	KALNICA	sonda	SK1000700P	
		58990	NOVY TEKOV	sonda	SK1000700P	
		59490	HRONSKE KOSIHY	sonda	SK1000700P	
		59790	VELKE KOZMALOVCE - STANICA	sonda	SK1000700P	
		59890	RYBNIK	sonda	SK1000700P	
		59990	TLMACE	sonda	SK1000700P	
258890	HORNA SEC	sonda	SK1000700P			
259190	STARY TEKOV	sonda	SK1000700P			
744590	STUROVO	sonda	SK1000700P			
N 061	Neogén strednej a J časti Ipeľskej pahorkatiny	147199	MALA N/HRONOM	prameň	SK2002300P	Medzizrnové podzemné vody východnej časti Podunajskej panvy a Ipeľskej kotliny
		503890	KUBANOVO	sonda	SK2002300P	
P-G 063	Kryštalinikum, mezozoikum a paleogén JZ časti pohoria Žiar a Handlovskej kotliny	114599	RAZTOCNO	prameň	SK200190FK	Puklinové a krasovo - puklinové podzemné vody pohoria Žiar
		514390	MALA CAUSA	sonda	SK200190FK	
P-G 065	Mezozoikum, kryštalinikum a paleogén V časti Strážovských vrchov	113199	NITRIAN.RUDNO	prameň	SK200140KF	Dominantné krasovo - puklinové podzemné vody severnej časti Strážovských vrchov a Lúčanskej Malej Fatry
		113699	DLZIN	prameň	SK200160FK	Puklinové a krasovo - puklinové podzemné vody južnej časti Strážovských vrchov
MP 066	Mezozoikum a paleogén J časti Strážovských vrchov	26690	HRADISTE -SEVER	sonda	SK200140KF	Dominantné krasovo - puklinové podzemné vody severnej časti Strážovských vrchov a Lúčanskej Malej Fatry
		108199	NITR.SUCANY-PODV RATNA DOL.	prameň	SK200140KF	
		109499	SLATINA N/BEBR - PRI MLYNE	prameň	SK200140KF	
		110199	DOLNE MOTESICE - JAZERO	prameň	SK200140KF	
QN 067	Neogén a kvartér Hornonitrianskej kotliny	25190	NEDOZERY	sonda	SK1000400P	Medzizrnové podzemné vody kvartérnych náplavov dolného toku Váhu, Nitry a ich prítokov
		25490	OPATOVCE NAD NITROU	sonda	SK1000400P	
		25690	NOVAKY - SEVER	sonda	SK1000400P	
		25890	BYSTRICANY	sonda	SK1000400P	
		225290	PRIEVIDZA - NECPALY	sonda	SK1000400P	
		225390	PRIEVIDZA - LETISKO	sonda	SK1000400P	
		225590	OPATOVCE NAD NITROU	sonda	SK1000400P	
		225790	NOVAKY	sonda	SK1000400P	
226290	DIVIAKY NAD NITRICOU	sonda	SK200160FK	Puklinové a krasovo - puklinové podzemné vody južnej časti Strážovských vrchov		

HG rajón	Názov HG rajónu	Číslo objektu	Lokalita	Typ objektu	Útvar PzV	Názov útvaru PzV
		226490	NITRIANSKE SUCANY	sonda	SK200170FP	Puklinové a medzizrnové podzemné vody neovulkanitov a terciérnych náplavov Hornonitrianskej kotliny
		514590	NITRIANSKE PRAVNO	sonda	SK200170FP	
GM 068	Kryštalínikum a mezozoikum V časti Považského Inovca	115399	STARA LEHOTA	prameň	SK200110KF	Dominantné krasovo - puklinové podzemné vody južnej časti Považského Inovca
		115999	ZAVADA	prameň	SK200120FK	Puklinové a krasovo - puklinové podzemné vody severnej časti Považského Inovca
MG 069	Mezozoikum a paleozoikum SV časti Tribča	113499	BRODZANY	prameň	SK200150FK	Puklinové a krasovo - puklinové podzemné vody Tribeča
		140899	VELKE POLE - STUDNA	prameň	SK200150FK	
MG 070	Kryštalínikum a mezozoikum J a strednej časti Tribča	108999	TOPOLCANY - SADOK	prameň	SK200150FK	
		116299	PODHORANY	prameň	SK200150FK	
NQ 071	Neogén Nitrianskej pahorkatiny	27090	ZABOKREKY NAD NITROU	sonda	SK1000400P	Medzizrnové podzemné vody kvartérnych náplavov dolného toku Váhu, Nitry a ich prítokov
		27290	BANOVCE N.BEB.-BISKUPICE	sonda	SK2001300P	Medzizrnové podzemné vody Bánovskej kotliny
		27590	OSTRATICE	sonda	SK1000400P	Medzizrnové podzemné vody kvartérnych náplavov dolného toku Váhu, Nitry a ich prítokov
		27790	CHYNORANY	sonda	SK1000400P	
		27890	NEDANOVCE	sonda	SK1000400P	
		28290	TOPOLCANY	sonda	SK1000400P	
		28590	NITRIANSKA STREDA	sonda	SK1000400P	
		28790	PRESELANY	sonda	SK1000400P	
		29090	KONIAROVCE	sonda	SK1000400P	Medzizrnové podzemné vody centrálnej časti Podunajskej panvy a jej výbežkov
		29490	CAKAJOVCE	sonda	SK1000400P	
		30690	SLADECKOVCE-GORAZDOV	sonda	SK2001000P	
		30990	RASTISLAVICE	sonda	SK2001000P	
		31090	JATOV	sonda	SK2001000P	Medzizrnové podzemné vody Bánovskej kotliny
		114099	VELKE DRZKOVCE	prameň	SK2001300P	Medzizrnové podzemné vody centrálnej časti Podunajskej panvy a jej výbežkov
		222090	SALA-MOCENOK	sonda	SK2001000P	Medzizrnové podzemné vody kvartérnych náplavov dolného toku Váhu, Nitry a ich prítokov
		228490	CHRABRANY	sonda	SK1000400P	
228890	PRESELANY	sonda	SK1000400P			
229690	DRAZOVCE	sonda	SK1000400P			
Q 072	Kvartér Nitry od mesta Nitra po Nové Zámky	30290	DOLNE KRISKANY	sonda	SK1000400P	Medzizrnové podzemné vody kvartérnych náplavov dolného toku Váhu, Nitry a ich prítokov
		30490	IVANKA PRI NITRE	sonda	SK1000400P	
		30590	IVANKA PRI NITRE	sonda	SK1000400P	
		30790	CERNIK	sonda	SK1000400P	
		36490	ULANY NAD ZITAVOU	sonda	SK1000400P	
		37590	DVORY NAD ZITAVOU	sonda	SK1000400P	Medzizrnové podzemné vody centrálnej časti Podunajskej panvy a jej výbežkov
		37790	NOVE ZAMKY-SEVER	sonda	SK2001000P	Medzizrnové podzemné vody kvartérnych náplavov dolného toku Váhu, Nitry a ich prítokov
		37990	NOVE ZAMKY-JUH	sonda	SK1000400P	
		237190	BANOV	sonda	SK1000400P	Medzizrnové podzemné vody centrálnej časti Podunajskej panvy a jej výbežkov
		237390	PALARIKOVO-LUDOVITOV	sonda	SK2001000P	Medzizrnové podzemné vody kvartérnych náplavov dolného toku Váhu, Nitry a ich prítokov
		602190	BANOV	sonda	SK1000400P	
602290	SURANY	sonda	SK1000400P			

HG rajón	Názov HG rajónu	Číslo objektu	Lokalita	Typ objektu	Útvar PzV	Názov útvaru PzV
NQ 073	Neogén Žitavskej pahorkatiny	35290	MACHULINCE	sonda	SK1000400P	Medzizrnové podzemné vody kvartérnych náplav dolného toku Váhu, Nitry a ich prítokov
		35390	ZLATE MORAVCE	sonda	SK1000400P	
		35590	VIESKA NAD ZITAVOU	sonda	SK1000400P	
		35790	DYCKA	sonda	SK1000400P	
		35990	MELEK	sonda	SK1000400P	
		36190	VELKA MANA	sonda	SK1000400P	
		235690	NOVA VES NAD ZITAVOU	sonda	SK1000400P	
Q 074	Kvartér medziriečia Podunajskej roviny	12390	TOMASIKOVO	sonda	SK1000400P	
		12790	MOSTOVA	sonda	SK1000400P	
		12890	KRALOV BROD	sonda	SK1000400P	
		12990	DIAKOVCE	sonda	SK1000400P	
		22290	TOPOLNICA	sonda	SK1000400P	
		22890	KOMOCA	sonda	SK1000400P	
		23690	ZIHAREC	sonda	SK1000400P	
		23890	NEDED	sonda	SK1000400P	
		25090	NESVADY	sonda	SK1000400P	
		38690	HURBANOVO-MALY VEK	sonda	SK1000600P	Medzizrnové podzemné vody kvartérnych náplav východnej časti Podunajskej panvy
		61690	BODZA-LUKY	sonda	SK1000300P	Medzizrnové podzemné vody kvartérnych náplav centrálnej časti Podunajskej panvy
		211990	GALANTA	sonda	SK1000400P	Medzizrnové podzemné vody kvartérnych náplav dolného toku Váhu, Nitry a ich prítokov
		224490	VRBOVA N/V - VELKY KINDES	sonda	SK1000400P	
		237490	PALARIKOVO	sonda	SK1000400P	
Q-G 075	Paleozoikum a mladšie útvary časti povodia horného Hrona po Piesok	253890	KOMARNO - KOMOCIN	sonda	SK1000600P	Medzizrnové podzemné vody kvartérnych náplav východnej časti Podunajskej panvy
		262890	KOLAROVO	sonda	SK1000300P	Medzizrnové podzemné vody kvartérnych náplav centrálnej časti Podunajskej panvy
		732890	TRHOVA HRADSKA	sonda	SK1000300P	
		737090	KOLAROVO	sonda	SK1000300P	
		911090	HORNE SALIBY-DOLNA LUKA	sonda	SK1000400P	Medzizrnové podzemné vody kvartérnych náplav dolného toku Váhu, Nitry a ich prítokov
		89690	BREZNO	sonda	SK200280FK	Puklinové a krasovo - puklinové podzemné vody Nízkych Tatier a Slovenského rudohoria
		89890	POLOMKA-HAMOR	sonda	SK200280FK	
MG 076	Kryštalínikum a mezozoikum JZ svahov Nízkych Tatier	122699	VALASKA - VYVIERACKA	prameň	SK200280FK	Puklinové a krasovo - puklinové podzemné vody južných svahov Nízkych Tatier
		125199	H.LEHOTA-ST. TRANGOSKA	prameň	SK200280FK	
		126199	MEDZIBROD - TRSTIE	prameň	SK200290FK	
		130699	MYTO POD DUMBIEROM	prameň	SK200280FK	Puklinové a krasovo - puklinové podzemné vody Nízkych Tatier a Slovenského rudohoria
		130799	JASENIE	prameň	SK200290FK	Puklinové a krasovo - puklinové podzemné vody južných svahov Nízkych Tatier
		131199	DOLNA LEHOTA-UHLISTE	prameň	SK200280FK	Puklinové a krasovo - puklinové podzemné vody Nízkych Tatier a Slovenského rudohoria
		132899	BRUSNO	prameň	SK200290FK	Puklinové a krasovo - puklinové podzemné vody južných svahov Nízkych Tatier

HG rajón	Názov HG rajónu	Číslo objektu	Lokalita	Typ objektu	Útvar PzV	Názov útvaru PzV
		450190	DUBOVA - ZAMOSTIE - NEMECKA	sonda	SK200290FK	Puklinové a krasovo - puklinové podzemné vody južných svahov Nízkych Tatier
MG 077	Mezozoikum a paleozoikum Starohorských vrchov a S časti Zvolenskej kotliny	130999	MOSTENICA - KYSLA	prameň	SK200280FK	Puklinové a krasovo - puklinové podzemné vody Nízkych Tatier a Slovenského rudohoria
		132199	BALAZE, pr. PODKALISTE	prameň	SK200280FK	
		538290	LUCATIN	sonda	SK200280FK	
MG 078	Mezozoikum a predmezozoické útvary SV časti Zvolenskej kotliny a SZ časti Veporských vrchov	122199	OSRBLIE - TEPLICA	prameň	SK200280FK	
		135899	CACIN	prameň	SK200280FK	
		620490	BANSKA BYSTRICA-SALKOVA	sonda	SK200280FK	
MP 079	Mezozoikum Kremnických vrchov a západnej časti Zvolenskej kotliny	128799	KRALIKY	prameň	SK200250KF	Dominantné krasovo - puklinové podzemné vody Veľkej Fatry
Q 080	Kvartér nivy Hrona a Slatiny od Slovenskej Ľupče po Tlmače	76290	LOVCA	sonda	SK1000700P	Medzizrnové podzemné vody kvartérnych náplavov Hrona a jeho prítokov
		76590	HLINIK NAD HRONOM	sonda	SK200220FP	Puklinové a medzizrnové podzemné vody severnej časti stredoslovenských neovulkanitov
		76790	DOLNA ZDANA - HLINIK N.H.	sonda	SK1000700P	Medzizrnové podzemné vody kvartérnych náplavov Hrona a jeho prítokov
		77990	RUDNO NAD HRONOM	sonda	SK1000700P	
		78590	TEKOVSKA BREZNICA	sonda	SK1000700P	
		78990	KOZAROVCE - ZA MLYNOM	sonda	SK1000700P	
		88390	HRONSEK	sonda	SK1000700P	
		88890	BANSKA BYSTRICA-MAJER	sonda	SK1000700P	
		90090	KREMnickA	sonda	SK1000700P	
		286190	SASOVSKÉ PODHRADIE	sonda	SK1000700P	
286690	SLIAC	sonda	SK1000700P			
NQ 081	Neogén Zvolenskej kotliny - západná časť	286490	ZVOLEN	sonda	SK1000700P	
V 082	Neovulkanity Kremnických vrchov	46990	TURCEK - KV-15A	sonda	SK200200FP	Puklinové a medzizrnové podzemné vody neovulkanitov pohoria Vtáčnik a Kremnických vrchov
		106399	HANDLOVA REMATA	prameň	SK200200FP	
		129299	KORDIKY	prameň	SK200220FP	
		138699	HORNA VES	prameň	SK200220FP	
V 083	Neovulkanity pohoria Poľany a časti Zvolenskej kotliny	129099	KORDIKY	prameň	SK200250KF	Dominantné krasovo - puklinové podzemné vody Veľkej Fatry
		511690	DETVA - KOSTOLNA VN-16	sonda	SK200220FP	
NV 084	Neogén Zvolenskej kotliny - východná časť	75390	ZVOLEN	sonda	SK200220FP	Puklinové a medzizrnové podzemné vody severnej časti stredoslovenských neovulkanitov
		87790	ZOLNA	sonda	SK200220FP	
V 086	Neovulkanity pohorí Vtáčnik a Pohronský Inovec	142099	VELKA LEHOTA	prameň	SK200220FP	
		513890	LEHOTA POD VTACNIK.VN-38	sonda	SK200170FP	Puklinové a medzizrnové podzemné vody neovulkanitov a terciérnych náplavov Hornonitrianskej kotliny
N 087	Neogén Žiarskej kotliny	554490	ZIAR NAD HRONOM	sonda	SK200220FP	
V 088	Neovulkanity S svahov Štiavnických vrchov a Javoria	87290	DOBRA NIVA	sonda	SK200220FP	Puklinové a medzizrnové podzemné vody severnej časti stredoslovenských neovulkanitov
		87390	PODZAMCOK	sonda	SK200220FP	
		139499	PODHORIE	prameň	SK200220FP	
		142399	BREHY	prameň	SK200220FP	
		145899	PUKANEC. pr. ERGI STOLNA	prameň	SK200220FP	
		539290	NOVA DEDINA-GONDOVO	sonda	SK200220FP	

HG rajón	Názov HG rajónu	Číslo objektu	Lokalita	Typ objektu	Útvar PzV	Názov útvaru PzV
NQ 090	Neogén Lučenskej kotliny	85590	VELKE DRAVCE - FIL.PUSTA	sonda	SK2003100P	Medzirezrnové podzemné vody Lučeneckej kotliny a západnej časti Cerovej vrchoviny
		284990	TOMASOVCE	sonda	SK2003100P	
Q 091	Kvartér Ipľa	80190	MALE KOSIHY	sonda	SK1000800P	Medzirezrnové podzemné vody kvartérnych náplavov Ipľa a jeho prítokov
		80590	VYSKOVCE NAD IPLOM	sonda	SK1000800P	
		80690	VYSKOVCE NAD IPLOM	sonda	SK1000800P	
		81490	SELESTANY - SLOVENSKE DARMOTY	sonda	SK1000800P	
		81790	IPELSKY SOKOLEC	sonda	SK1000800P	
		83390	KIAROV	sonda	SK1000800P	
		83490	KOVACOVCE	sonda	SK1000800P	
		84390	VELKA NAD IPLOM	sonda	SK1000800P	
		85090	HOLISA	sonda	SK1000800P	
		158499	VELKA VES N IPLOM,pr.CURGO	prameň	SK2002300P	Medzirezrnové podzemné vody východnej časti Podunajskej panvy a Ipeľskej kotliny
		281190	KOSIHY NAD IPLOM	sonda	SK1000800P	Medzirezrnové podzemné vody kvartérnych náplavov Ipľa a jeho prítokov
284590	MIKUSOVCE	sonda	SK1000800P			
NV 092	Neogén západnej časti Cerovej vrchoviny	150899	RADZOVCE	prameň	SK2003100P	Medzirezrnové podzemné vody Lučeneckej kotliny a západnej časti Cerovej vrchoviny
V 094	Neovulkanity Krupinskej planiny, Ostrôžok a Pôtorskej pahorkatiny	80990	DUDINCE	sonda	SK200260FP	Puklinové a medzirezrnové podzemné vody južnej časti stredoslovenských neovulkanitov
		157799	SENOHRAD	prameň	SK200260FP	
		280890	TUPA	sonda	SK200260FP	
		512290	MEDOVARCE VN-22	sonda	SK200260FP	
		620690	HONTIANSKE TESARE	sonda	SK200260FP	
NQ 095	Neogén Ipeľskej kotliny	82690	ZAHORCE	sonda	SK2002300P	Medzirezrnové podzemné vody východnej časti Podunajskej panvy a Ipeľskej kotliny
		82890	SKLABINA	sonda	SK2002300P	
		157599	CEBOVCE	prameň	SK2002300P	
Q-M 097	Paleogén a kvartér povodia Laborca po Brekov a mezozoikum Humenských vrchov	113890	VYSNE CABINY - KRASNY BROD	sonda	SK1001600P	Medzirezrnové podzemné vody kvartérnych náplavov horného toku Laborca a jeho prítokov
		114990	KAMENICA NAD CIROCHOU	sonda	SK1001500P	Medzirezrnové podzemné vody kvartérnych náplavov Bodrogu, Latorice, dolného toku Ondavy, dolného toku Laborca a ich prítokov
		133690	ROVNE	sonda	SK1001600P	Medzirezrnové podzemné vody kvartérnych náplavov horného toku Laborca a jeho prítokov
		135090	KOSKOVCE	sonda	SK1001600P	
		160699	KAM.N.CIR.	prameň	SK2005700F	Puklinové podzemné vody podtatranskej skupiny a flyšového pásma čiastkového povodia Bodrogu
		160799	CUKALOVCE	prameň	SK2005700F	
		314190	LUBISA	sonda	SK1001600P	Medzirezrnové podzemné vody kvartérnych náplavov horného toku Laborca a jeho prítokov
		314390	BREKOV	sonda	SK1001500P	Medzirezrnové podzemné vody kvartérnych náplavov Bodrogu, Latorice, dolného toku Ondavy, dolného toku Laborca a ich prítokov
		314890	DLHE N/ CIROCHOU	sonda	SK1001500P	
		163399	CHLMEC	prameň	SK2005700F	Puklinové podzemné vody podtatranskej skupiny a flyšového pásma čiastkového povodia Bodrogu
P 098	Paleogén povodia Uhu	165599	RUSKA BYSTRA - POD DIELOM	prameň	SK2005700F	
VN 100	Neovulkanity Vihorlatských vrchov	124390	JASENOV	sonda	SK2005800P	Medzirezrnové podzemné vody Východoslovenskej panvy
		124490	CHONKOVCE	sonda	SK2005800P	

HG rajón	Názov HG rajónu	Číslo objektu	Lokalita	Typ objektu	Útvar PzV	Názov útvaru PzV
		169499	REM.HAMRE-POD LYSAKOM	prameň	SK200590FP	Puklinové a medzizrnové podzemné vody neovulkanitov Vihorlatu
		169599	PORUBKA - MOCIDLA	prameň	SK200590FP	
		522790	PORUBA POD VIHORLATOM	sonda	SK200590FP	
NQ 101	Neogén Východoslovenskej nížiny medzi Laborcom a Čiernou vodou	122990	VINNE	sonda	SK2005800P	Medzizrnové podzemné vody Východoslovenskej panvy
		124090	JOVSA	sonda	SK2005800P	
		124790	BLATNE REVISTIA	sonda	SK2005800P	
		125590	VYSOKA N.UHOM-VYS.DVOR	sonda	SK2005800P	
QN102	Kvartér SV časti Východoslovenskej nížiny pod Vihorlatom a Popričným	124990	OSTROV	sonda	SK1001500P	Medzizrnové podzemné vody kvartérnych náplavov Bodrogu, Latorice, dolného toku Ondavy, dolného toku Laborca a ich prítokov
		125090	POROSTOV	sonda	SK1001500P	
		125190	BLATNA POLIANKA	sonda	SK1001500P	
		125290	TASULA	sonda	SK1001500P	
		136590	HORNA-SOBRANCE	sonda	SK1001500P	
		324290	UBREZ	sonda	SK1001500P	
QN 103	Kvartér dolnej časti tokov Uh. Laborec. Ondava a pravej strany Latorice	115190	VELKE KAPUSANY	sonda	SK1001500P	Medzizrnové podzemné vody kvartérnych náplavov Bodrogu, Latorice, dolného toku Ondavy, dolného toku Laborca a ich prítokov
		133090	KRISOVSKA LIESKOVA	sonda	SK1001500P	
		133290	IZKOVCE	sonda	SK1001500P	
		133990	CICAROVCE	sonda	SK1001500P	
		328690	MALE RASKOVCE	sonda	SK1001500P	
QN 104	Kvartér JV časti Východoslovenskej nížiny	120290	VELKY HORES	sonda	SK1001500P	Medzizrnové podzemné vody kvartérnych náplavov Bodrogu, Latorice, dolného toku Ondavy, dolného toku Laborca a ich prítokov
		120390	ZATIN	sonda	SK1001500P	
		120490	POLANY	sonda	SK1001500P	
		120590	KRALOVSKY CHLMEC	sonda	SK1001500P	
		120990	BOTANY-KOLONIA	sonda	SK1001500P	
		121190	VELKE TRAKANY-KOLONIA	sonda	SK1001500P	
		129690	STREDA NAD BODROGOM	sonda	SK1001500P	
		135290	STRAZNE	sonda	SK1001500P	
		135390	VOJKA	sonda	SK1001500P	
		329890	SOMOTOR	sonda	SK1001500P	
		503290	BACKA N-32	sonda	SK2005800P	Medzizrnové podzemné vody Východoslovenskej panvy
PQ 105	Paleogén povodia Ondavy po Kučín	134790	MINOVCE	sonda	SK1001400P	Medzizrnové podzemné vody kvartérnych náplavov horného toku Ondavy a jej prítokov
		136090	DUPLIN	sonda	SK1001400P	
		137990	MINOVCE	sonda	SK1001400P	
		172999	BUKOVCE	prameň	SK2005700F	Puklinové podzemné vody podtatranskej skupiny a flyšového pásma čiastkového povodia Bodrogu
		173599	BELEJOVCE - PASTIVNIK	prameň	SK2005700F	
		173999	JASENOVCE	prameň	SK2005700F	
		334590	STROCIN	sonda	SK1001400P	Medzizrnové podzemné vody kvartérnych náplavov horného toku Ondavy a jej prítokov
		334690	STROPKOV-SITNIK	sonda	SK1001400P	
QN 106	Kvartér Ondavy a Tople od Slovenskej Kajne po Trebišov	115690	VRANOV NAD TOPLOU - HENCOVCE	sonda	SK1001500P	Medzizrnové podzemné vody kvartérnych náplavov Bodrogu, Latorice, dolného toku Ondavy, dolného toku Laborca a ich prítokov
		116390	HRIADKY	sonda	SK1001500P	

HG rajón	Názov HG rajónu	Číslo objektu	Lokalita	Typ objektu	Útvar PzV	Názov útvaru PzV
		116490	HOROVCE	sonda	SK1001500P	Medzizrnové podzemné vody kvartérnych náplavov Bodrogu, Latorice, dolného toku Ondavy, dolného toku Laborca a ich prítokov
		116590	TRHOVISTE	sonda	SK1001500P	
		127090	TREBISOV-CUKROVAR	sonda	SK1001500P	
		134890	BENKOVCE	sonda	SK1001500P	
		327790	TREBISOV-OLSINA	sonda	SK1001500P	
		630490	SACUROV	sonda	SK1001500P	
Q 108	Kvartér Laborca od Strážskeho po Stretavu	117090	STRAZSKE	sonda	SK1001500P	
		117390	LESNE	sonda	SK1001500P	
		118390	VOLA-STANKOVCE	sonda	SK1001500P	
		123190	MICHALOVCE - MEDOV	sonda	SK1001500P	
		132090	MICHALOVCE-TOPOLANY	sonda	SK1001500P	
		314490	STRAZSKE	sonda	SK1001500P	
		318290	NACINA VES	sonda	SK1001500P	
		318490	STARE	sonda	SK1001500P	
P 109	Paleogén Čergova	184699	KRIVE	prameň	SK2005700F	Puklinové podzemné vody podtatranskej skupiny a flyšového pásma čiastkového povodia Bodrogu
		226999	JAKUBOVANY	prameň	SK2004900F	Puklinové podzemné vody podtatranskej skupiny a flyšového pásma čiastkového povodia Hornádu
PQ 110	Paleogén Nízkych Beskýd v povodí Tople	131190	KOMAROV	sonda	SK2005700F	Puklinové podzemné vody podtatranskej skupiny a flyšového pásma čiastkového povodia Bodrogu
		131390	DUBINNE	sonda	SK1001300P	Medzizrnové podzemné vody kvartérnych náplavov Tople a jej prítokov
		131890	VYSNY ZIPOV	sonda	SK2005700F	Puklinové podzemné vody podtatranskej skupiny a flyšového pásma čiastkového povodia Bodrogu
		135990	MARHAN	sonda	SK1001300P	Medzizrnové podzemné vody kvartérnych náplavov Tople a jej prítokov
		175499	CHMELOVA	prameň	SK2005700F	Puklinové podzemné vody podtatranskej skupiny a flyšového pásma čiastkového povodia Bodrogu
VN 111	Neovulkanity Slanských vrchov	112090	BOHDANOVCE	sonda	SK1001200P	Medzizrnové podzemné vody kvartérnych náplavov Hornádu, Bodvy a ich prítokov
		177799	HERMANOVCE N/T	prameň	SK200550FP	Puklinové a medzizrnové podzemné vody neovulkanitov Slanských vrchov čiastkového povodia Bodrogu
		182199	SLANSKA HUTA	prameň	SK200550FP	
		228799	KOS.KLECENOV	prameň	SK200540FP	Puklinové a medzizrnové podzemné vody neovulkanitov Slanských vrchov čiastkového povodia Hornádu
		229199	NIZNA MYSLA - KOSCELEK	prameň	SK2005300P	Medzizrnové podzemné vody Košickej kotliny
		229299	LUCINA	prameň	SK200540FP	Puklinové a medzizrnové podzemné vody neovulkanitov Slanských vrchov čiastkového povodia Hornádu
N 112	Neogén západnej časti Východoslovenskej nížiny	126990	NOVY RUSKOV-MALY RUSKOV	sonda	SK2005800P	Medzizrnové podzemné vody Východoslovenskej panvy
		129390	ZEMPLINSKE JASTRABIE	sonda	SK2005800P	
		184899	CAKLOV	prameň	SK2005800P	
		513190	BACKOV	sonda	SK2005800P	
N-G 113	Paleozoikum a mladšie horniny Zemplínskych vrchov	522690	LADMOVCE	sonda	SK200560FK	Puklinové a krasovo - puklinové podzemné vody zemlinika
Q 114	Kvartér dolného toku Roňavy	121690	SLOVENSKE NOVE MESTO	sonda	SK1001500P	Medzizrnové podzemné vody kvartérnych náplavov Bodrogu, Latorice, dolného

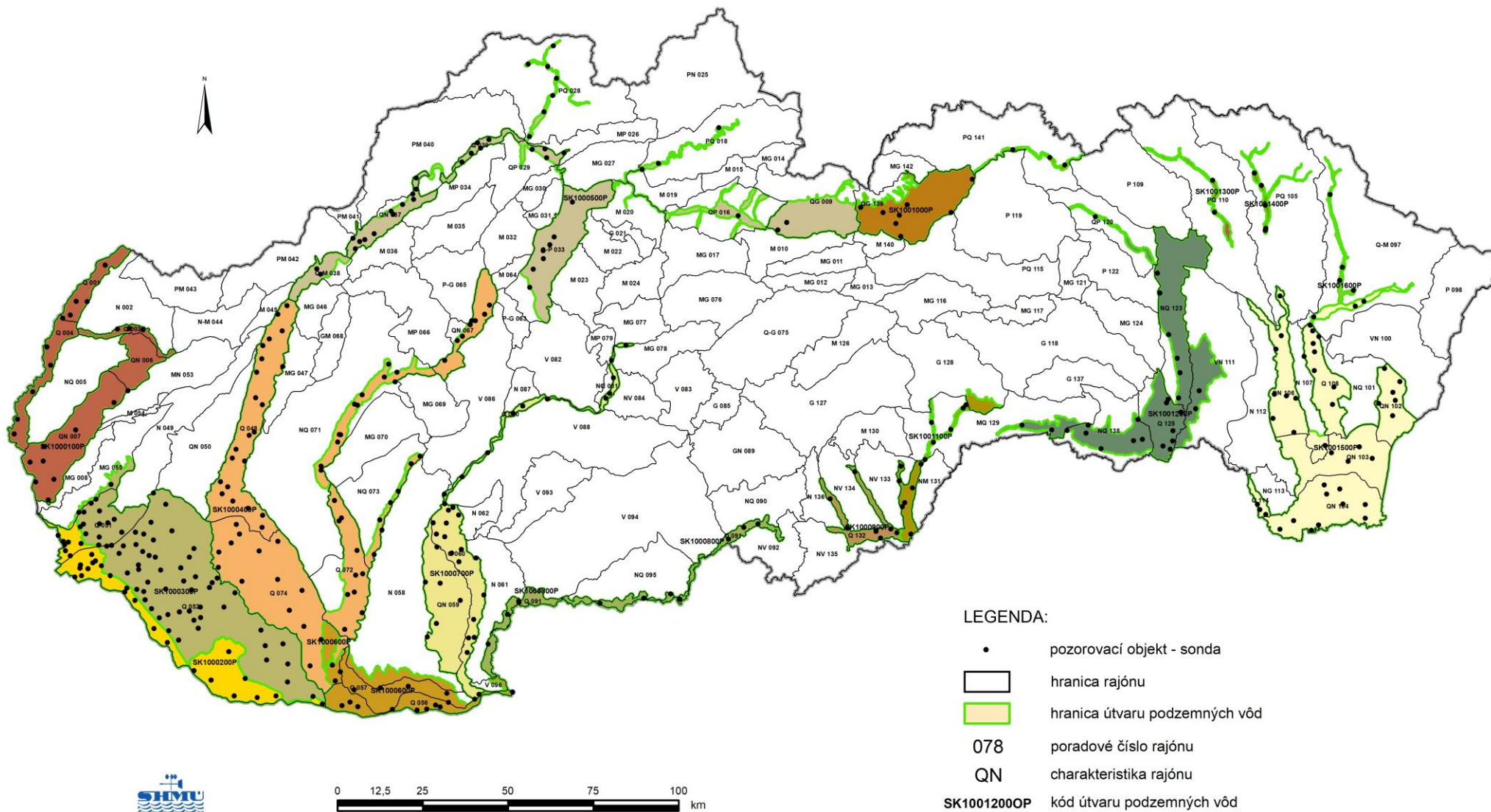
HG rajón	Názov HG rajónu	Číslo objektu	Lokalita	Typ objektu	Útvar PzV	Názov útvaru PzV
		122290	SLOVENSKE NOVE MESTO	sonda	SK1001500P	toku Ondavy, dolného toku Laborca a ich prítokov
		337090	BORSA	sonda	SK1001500P	
PQ 115	Paleogén Hornádskej a časti Popradskej kotliny	137590	VELKA LOMNICA	sonda	SK2004700F	Puklinové podzemné vody podtatranskej skupiny a flyšového pásma čiastkového povodia Dunajca a Popradu
		210499	MATEJOVCE N/H	prameň	SK2004900F	Puklinové podzemné vody podtatranskej skupiny a flyšového pásma čiastkového povodia Hornádu
		212999	KRAVANY	prameň	SK2004900F	
		299990	POPRAD	sonda	SK2004700F	Puklinové podzemné vody podtatranskej skupiny a flyšového pásma čiastkového povodia Dunajca a Popradu
		514190	SPISSKE BYSTRE	sonda	SK2004300F	Puklinové podzemné vody Nízkych Tatier a Kozích chrbtov
		554090	KVETNICA K-40	sonda	SK2004300F	
MG 116	Mezozoikum Slovenského raja a Havraních vrchov s príľahlým paleozoikom	185499	DOBSINA	prameň	SK200390KF	Dominantné krasovo - puklinové podzemné vody Muránskej planiny
		211599	VERNAR	prameň	SK200460KF	Dominantné krasovo - puklinové podzemné vody Slovenského raja a Galmusu
		211799	SMIZANY	prameň	SK200460KF	
		215499	D.LAD.JASK.	prameň	SK200460KF	
		215699	DEDINKY-ZEJMARSKA STUDNA	prameň	SK200460KF	
		217199	TELGART-V ZADNEJ DOL. 1	prameň	SK200460KF	
		217399	D.LAD.JASK.-POD TRATOU	prameň	SK200460KF	
217799	STRATENA	prameň	SK200460KF			
MG 117	Mezozoikum Galmusa s príľahlým paleozoikom	210799	SPISSKE VLACHY - U JANA	prameň	SK200460KF	
G 118	Paleozoikum Slovenského rudohoria v povodí Hornádu	216399	UHORNA - POD JAVOROM	prameň	SK200500FK	Puklinové a krasovo - puklinové podzemné vody Slovenského rudohoria
		223099	OPATKA	prameň	SK200500FK	
		322390	KOLINOVCE	sonda	SK200500FK	
		553690	NALEPKOVO K-36	sonda	SK200500FK	
P 119	Paleogén Levočských vrchov	99490	KEZMAROK	sonda	SK2004700F	Puklinové podzemné vody podtatranskej skupiny a flyšového pásma čiastkového povodia Dunajca a Popradu
		234799	TICHY POTOK - BUJACIAREN	prameň	SK2004900F	Puklinové podzemné vody podtatranskej skupiny a flyšového pásma čiastkového povodia Hornádu
		243099	IHLANY - ZIMNA STUDNA	prameň	SK2004700F	Puklinové podzemné vody podtatranskej skupiny a flyšového pásma čiastkového povodia Dunajca a Popradu
QP 120	Paleogén Spišsko-šarišského medzihoria, Bachurne a Šarišskej vrchoviny v povodí Torusy	105690	SARISSKE MICHALANY	sonda	SK2004900F	Puklinové podzemné vody podtatranskej skupiny a flyšového pásma čiastkového povodia Hornádu
		306390	ROZKOVANY	sonda	SK1001200P	
NQ 123	Neogén východnej časti Košickej kotliny	103090	KOSICKA POLIANKA	sonda	SK1001200P	Medzizrnové podzemné vody kvartérnych náplavov Hornádu, Bodvy a ich prítokov
		103490	ROZHANOVCE	sonda	SK1001200P	
		104490	LEMESANY-CHABZANY	sonda	SK1001200P	
		126290	PRESOV-HANISKA	sonda	SK1001200P	
		227399	KOSICKE OLSANY	prameň	SK2005300P	Medzizrnové podzemné vody Košickej kotliny
		304390	VAJKOVCE	sonda	SK1001200P	Medzizrnové podzemné vody kvartérnych náplavov Hornádu, Bodvy a ich prítokov
		311890	PRESOV	sonda	SK1001200P	
322190	DURKOV	sonda	SK1001200P			
MG 124	Mezozoikum a kryštalinikum Čiernej hory	122790	DRUZSTEVNA - P.H. - M. VIESKA	sonda	SK200510KF	Dominantné krasovo - puklinové podzemné vody Braniska a Čiernej hory

HG rajón	Názov HG rajónu	Číslo objektu	Lokalita	Typ objektu	Útvar PzV	Názov útvaru PzV
		222399	KAVECANY	prameň	SK200510KF	Dominantné krasovo - puklinové podzemné vody Braniska a Čiernej hory
		223199	MIKLUSOVCE - POD OBISIANKOU	prameň	SK200510KF	
		322490	VELKA LODINA	sonda	SK200510KF	
Q 125	Kvartér Hornádu v Košickej kotline	102590	SENA	sonda	SK1001200P	Medzizrnové podzemné vody kvartérnych náplavov Hornádu, Bodvy a ich prítokov
		107690	NIZNA MYSLA-SAJKOV	sonda	SK1001200P	
		107890	CANA	sonda	SK1001200P	
		107990	TRSTENE PRI HORNADE	sonda	SK1001200P	
		112290	KOSICE-KRASNA	sonda	SK1001200P	
		302290	KOSICE-KRASNA	sonda	SK1001200P	
		308090	SENA	sonda	SK1001200P	
M 126	Mezozoikum Muránskej planiny a V časti Helpianskeho podolia a priľahlé kryštalinikum	120499	SUMIAC	prameň	SK200390KF	Dominantné krasovo - puklinové podzemné vody Muránskej planiny
		122299	ZAVADKA N.H.	prameň	SK200390KF	
		123599	ZLATNO-HAVRANIK PRAMEN	prameň	SK200390KF	
		190799	MURAN - POD HRADOM	prameň	SK200390KF	
		191399	MURAN	prameň	SK200390KF	
		192899	MURAN-BRUSIK	prameň	SK200390KF	
		195299	TISOVEC	prameň	SK200390KF	
195399	TISOVEC-POD DIELOM	prameň	SK200390KF			
G 127	Kryštalinikum Stolických vrchov a Revúckej vrchoviny v povodí Slanej	93790	REVUCA	sonda	SK200280FK	Puklinové a krasovo - puklinové podzemné vody Nízkych Tatier a Slovenského rudohoria
		93890	REVUCA	sonda	SK200280FK	
		94090	JELSAVA	sonda	SK200280FK	
		197399	KLENOVEC	prameň	SK200280FK	
G 128	Paleozoikum Revúckej vrchoviny a Volovských vrchov v povodí Slanej	90390	BETLIAR	sonda	SK200280FK	Dominantné krasovo - puklinové podzemné vody Muránskej planiny
		93090	ROCHOVCE	sonda	SK200280FK	
		93990	LUBENIK	sonda	SK200280FK	
		185299	DOBSINA	prameň	SK200390KF	
MQ 129	Mezozoikum centrálnej a východnej časti Slovenského krasu	90490	ROZNAVA	sonda	SK1001100P	Medzizrnové podzemné vody kvartérnych náplavov Slanej a jej prítokov
		92390	SLAVEC	sonda	SK1001100P	
		93590	PASKOVA	sonda	SK1001100P	
		94390	SIVETICE	sonda	SK200480KF	Dominantné krasovo - puklinové podzemné vody Slovenského krasu
		97590	PLESIVEC	sonda	SK200480KF	
		125890	JABLONOV NAD TURNOU/HRUSOV/	sonda	SK200480KF	Medzizrnové podzemné vody kvartérnych náplavov Hornádu, Bodvy a ich prítokov
		130590	TURNA NAD BODVOU	sonda	SK1001200P	
		185999	KOVACOVA-PRI KRIZI	prameň	SK200480KF	
		186499	SLAVEC	prameň	SK200480KF	
		188299	KUNOVA TEP.-HUCIACA VYV.	prameň	SK200480KF	
		200899	JASOV-TEPLICA	prameň	SK200480KF	
		201799	DRIENOVEC-HLAVNY	prameň	SK200480KF	
		202299	TUR.N.BOD.-SKALITY	prameň	SK200480KF	Dominantné krasovo - puklinové podzemné vody Slovenského krasu

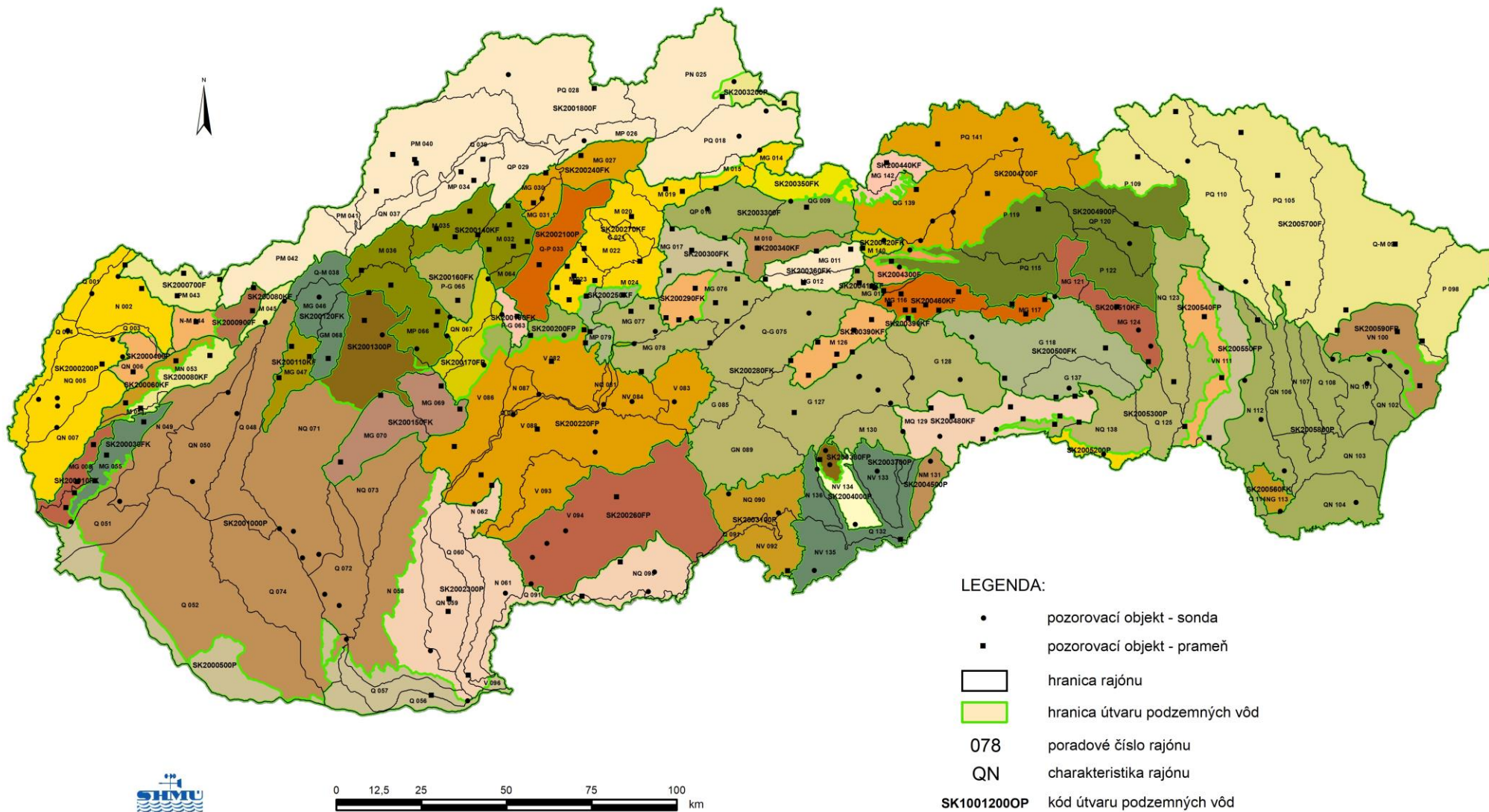
HG rajón	Názov HG rajónu	Číslo objektu	Lokalita	Typ objektu	Útvar PzV	Názov útvaru PzV		
		202499	SILICKA JABLON.	prameň	SK200480KF	Dominantné krasovo - puklinové podzemné vody Slovenského krasu		
		203899	HRHOV-VELKA HLAVA	prameň	SK200480KF			
		205899	TURNIANSKE PODHRADIE	prameň	SK200480KF			
				290690	BRZOTIN	sonda	SK1001100P	Medzizrnové podzemné vody kvartérnych náplavov Slanej a jej prítokov
				290990	PLESIVEC - JUH	sonda	SK1001100P	
				308590	HRHOV	sonda	SK1001200P	Medzizrnové podzemné vody kvartérnych náplavov Hornádu, Bodvy a ich prítokov
NM 131	Neogén Gemerskej pahorkatiny	539190	COLTOVO	sonda	SK2004500P	Medzizrnové podzemné vody Gemerskej pahorkatiny		
Q 132	Kvartér Rimavskej kotliny	91090	COLTOVO	sonda	SK1001100P	Medzizrnové podzemné vody kvartérnych náplavov Slanej a jej prítokov		
		91490	VCELINCE	sonda	SK1001100P			
		92590	TORNALA	sonda	SK1001100P			
				94690	RIMAVSKA SOBOTA	sonda	SK1000900P	Medzizrnové podzemné vody kvartérnych náplavov Rimavy a jej prítokov
				94890	ORAVKA	sonda	SK1000900P	
				95590	JESENSKE	sonda	SK1000900P	
				95990	JANICE	sonda	SK1000900P	
				96590	RIMAVSKA SEC	sonda	SK1000900P	
		97290	ZIAR	sonda	SK1001100P	Medzizrnové podzemné vody kvartérnych náplavov Slanej a jej prítokov		
		196799	VLKYNA	prameň	SK2003700P	Medzizrnové podzemné vody Rimavskej kotliny, Oždianskej pahorkatiny a východnej časti Cerovej vrchoviny		
		291390	GEMERSKA PANICA	sonda	SK1001100P	Medzizrnové podzemné vody kvartérnych náplavov Slanej a jej prítokov		
		291590	RUMINCE	sonda	SK1001100P			
		292090	CIZ	sonda	SK1000900P	Medzizrnové podzemné vody kvartérnych náplavov Rimavy a jej prítokov		
		292190	LENARTOVCE	sonda	SK1001100P	Medzizrnové podzemné vody kvartérnych náplavov Slanej a jej prítokov		
		295290	NIZNY SKALNIK	sonda	SK2000400P	Medzizrnové podzemné vody východnej časti Viedenskej panvy		
296190	VELKY BLH	sonda	SK1000900P	Medzizrnové podzemné vody kvartérnych náplavov Rimavy a jej prítokov				
297090	HRKAC	sonda	SK1001100P	Medzizrnové podzemné vody kvartérnych náplavov Slanej a jej prítokov				
NV 133	Neogén východnej časti Rimavskej kotliny a Blžská tabuľa	514690	VYSNE VALICE	sonda	SK2003700P	Medzizrnové podzemné vody Rimavskej kotliny, Oždianskej pahorkatiny a východnej časti Cerovej vrchoviny		
NV 134	Neogén západnej časti Rimavskej kotliny a Pokoradzská tabuľa	195799	VYS.SKALNIK	prameň	SK2004000P	Medzizrnové podzemné vody Valickej pahorkatiny		
		503990	HORNE ZAHORANY	sonda	SK200380FP	Puklinové a medzizrnové podzemné vody neovulkanitov Pokoradzskej tabule		
		514290	BOTTOVO	sonda	SK2004000P	Medzizrnové podzemné vody Valickej pahorkatiny		
		514790	KRASKOVO	sonda	SK200380FP	Puklinové a medzizrnové podzemné vody neovulkanitov Pokoradzskej tabule		
NV 135	Neogén východnej časti Cerovej vrchoviny	543590	GEMERSKY JABLONEC	sonda	SK2003700P	Medzizrnové podzemné vody Rimavskej kotliny, Oždianskej pahorkatiny a východnej časti Cerovej vrchoviny		
G 137	Paleozoikum Volovských vrchov v povodí Bodvy	109090	MEDZEV /NIZNY MEDZEV/	sonda	SK200500FK	Puklinové a krasovo - puklinové podzemné vody Slovenského rudohoria		
		200499	HACAVA-SUGOV C.2	prameň	SK200500FK			
NQ 138	Neogén a kvartér Košickej kotliny a Abovskej pahorkatiny v povodí Bodvy	100590	BUDULOV	sonda	SK1001200P	Medzizrnové podzemné vody kvartérnych náplavov Hornádu, Bodvy a ich prítokov		
		101090	VELKA IDA-GOMBOS-PERIN	sonda	SK1001200P			
		101190	POD HALDOU - SENA	sonda	SK1001200P			
		108890	RESICA	sonda	SK1001200P			
		109490	RUDNIK	sonda	SK2005300P	Medzizrnové podzemné vody Košickej kotliny		

HG rajón	Názov HG rajónu	Číslo objektu	Lokalita	Typ objektu	Útvar PzV	Názov útvaru PzV
		301890	KOSICE-SACA	sonda	SK1001200P	Medzizrnové podzemné vody kvartérnych náplavov Hornádu, Bodvy a ich prítokov
		308790	TUR.N.BOD.-ZARNOV	sonda	SK1001200P	
		309390	MOLDAVA NAD BODVOU	sonda	SK1001200P	
		513990	BUZICA	sonda	SK2005200P	Medzizrnové podzemné vody Abovskej pahorkatiny
QG 139	Kryštalínikum časti Vysokých Tatier a kvartér ich predpolia	97890	BUSOVCE	sonda	SK1001000P	Medzizrnové podzemné vody kvartérnych náplavov Dunajca a Popradu a ich prítokov
		98490	SVIT	sonda	SK1001000P	
		98890	STRBSKE PLESO	sonda	SK1001000P	
		137390	STARÝ SMOKOVEC	sonda	SK1001000P	
		239799	TATR.MATLIARE	prameň	SK2004700F	Puklinové podzemné vody podtatranskej skupiny a flyšového pásma čiastkového povodia Dunajca a Popradu
		298290	GERLACHOV	sonda	SK1001000P	Medzizrnové podzemné vody kvartérnych náplavov Dunajca a Popradu a ich prítokov
		299390	KEZMAROK	sonda	SK1001000P	
		890190	NOVA POLIANKA NPH-1	sonda	SK1001000P	
		890590	HORNÝ SMOKOVEC SH-7	sonda	SK1001000P	
890690	STARÁ LESNA LH-6	sonda	SK1001000P			
M 140	Mezozoikum časti Kozích chrbtov	239999	VYSNA SUNAVA	prameň	SK200420FK	Puklinové a krasovo - puklinové podzemné vody severnej časti Kozích chrbtov
		514090	SVIT - LUCIVNA	sonda	SK200420FK	
PQ 141	Paleogén Spišskej Magury, Ľubovnianskej vrchoviny, SZ časti Spišsko-šarišského medzihoria a Pienin	97790	PLAVNICA	sonda	SK1001000P	Medzizrnové podzemné vody kvartérnych náplavov Dunajca a Popradu a ich prítokov
		137690	HNIEZDNE	sonda	SK1001000P	Puklinové podzemné vody podtatranskej skupiny a flyšového pásma čiastkového povodia Dunajca a Popradu
		235399	JEZERSKO	prameň	SK2004700F	
		297690	PLAVEC	sonda	SK1001000P	Medzizrnové podzemné vody kvartérnych náplavov Dunajca a Popradu a ich prítokov
		521690	JARABINA	sonda	SK2004700F	Puklinové podzemné vody podtatranskej skupiny a flyšového pásma čiastkového povodia Dunajca a Popradu
MG 142	Mezozoikum a príahlé kryštalínikum Vysokých a Belianskych Tatier	235799	JAVORINA	prameň	SK200440KF	Dominantné krasovo - puklinové podzemné vody Tatier čiastkového povodia Dunajca a Popradu

POZOROVACIE OBJEKTY KVALITY PODZEMNÝCH VÔD V HYDROGEOLOGICKÝCH RAJÓNOCH A KVARTÉRNÝCH ÚTVAROCH NA SLOVENSKU V ROKU 2022



POZOROVACIE OBJEKTY KVALITY PODZEMNÝCH VÔD V HYDROGEOLOGICKÝCH RAJÓNOCH A PREDKVARTÉRNÝCH ÚTVAROCH NA SLOVENSKU V ROKU 2022





**MINISTERSTVO ŽIVOTNÉHO PROSTREDIA SR
SLOVENSKÝ HYDROMETEOROLOGICKÝ ÚSTAV**



VODOHOSPODÁRSKA BILANCIA KVALITY PODZEMNEJ VODY SR V ROKU 2022

Vydal Slovenský hydrometeorologický ústav
Jeséniova 17, 833 15 Bratislava

Poverený výkonom funkcie generálneho riaditeľa: RNDr. Martin Benko, PhD.
Riaditeľ Úseku hydrologická služba: Ing. Jana Poórová, PhD.
Vedúci Odboru podzemné vody: RNDr. Valéria Slivová, PhD.
Zodpovedný riešiteľ: Ing. Jaroslava Urbancová
Spolupracovali: Mgr. A. Molnárová, Mgr. A. Ľuptáková, Mgr. Ľ. Molnár, Ing. J. Urbancová

Text neprešiel jazykovou úpravou
Vytlačilo reprografické pracovisko SHMÚ v roku 2023

ISBN 978-80-99929-66-2

Účelová publikácia, 92 strán
náklad 3 výtlačkov, 5 ks CD